

# Física I

Dr. Guillermo Sánchez Burillo

Escuela Universitaria de La Almunia



# Contenidos

<b>1</b>	<b>Cinemática</b>	<b>7</b>
1.1	Objetivos . . . . .	7
1.2	Introducción . . . . .	8
1.3	Movimiento de una partícula . . . . .	8
1.4	Concepto de velocidad . . . . .	9
1.5	Concepto de aceleración . . . . .	10
1.6	De la posición a la aceleración, y viceversa . . . . .	11
1.7	Algunas relaciones útiles . . . . .	12
1.7.1	Si conocemos $\vec{a}(\vec{r})$ . . . . .	12
1.7.2	Si conocemos $a(v)$ . . . . .	12
1.7.3	Si conocemos $v(r)$ . . . . .	13
1.8	Casos sencillos . . . . .	13
1.8.1	Movimiento Rectilíneo Uniforme (MRU) . . . . .	13
1.8.2	Movimiento Uniformemente Acelerado (MUA) . . . . .	13
1.9	Cinemática del Movimiento Vibratorio Armónico . . . . .	14
1.9.1	Características del movimiento . . . . .	14
1.10	Movimiento en Coordenadas Polares . . . . .	15
1.11	Movimiento Circular: Descripción en polares . . . . .	19
1.12	Casos sencillos de Movimiento Circular . . . . .	19
1.12.1	Movimiento circular uniforme . . . . .	19
1.12.2	Movimiento circular uniformemente acelerado . . . . .	20
1.13	Ejercicios de Cinemática . . . . .	20
1.14	Cuestiones de Cinemática . . . . .	21
<b>2</b>	<b>Dinámica</b>	<b>23</b>
2.1	Objetivos . . . . .	23
2.2	Introducción . . . . .	24
2.3	Vectores y productos . . . . .	24
2.3.1	Producto por un escalar . . . . .	24
2.3.2	Producto escalar . . . . .	24
2.3.3	Producto vectorial . . . . .	25
2.4	Las leyes de Newton . . . . .	25
2.5	Sistemas de referencia Inerciales y No Inerciales . . . . .	27
2.6	Dinámica de una partícula . . . . .	28
2.6.1	Momento lineal . . . . .	29
2.6.2	Momento angular . . . . .	29
2.6.3	Momento de una fuerza . . . . .	30
2.6.4	Impulso de una fuerza . . . . .	30

2.6.5	Trabajo . . . . .	31
2.6.6	Potencia . . . . .	31
2.6.7	Energía cinética . . . . .	32
2.6.8	Fuerzas Conservativas . . . . .	33
2.6.9	Energía Potencial . . . . .	33
2.6.10	Energía Mecánica . . . . .	34
2.7	Ejemplos de Fuerzas Conservativas . . . . .	35
2.7.1	El caso Gravitatorio . . . . .	35
2.7.2	Energía potencial gravitatoria . . . . .	35
2.7.3	El caso elástico . . . . .	37
2.8	Dinámica de Sistemas de Partículas . . . . .	37
2.9	Colisiones entre partículas . . . . .	40
2.9.1	Partículas indeformables y libres . . . . .	40
2.9.2	Colisión no rígida . . . . .	41
2.9.3	Colisión no aislada . . . . .	41
2.10	Estática . . . . .	41
2.10.1	Condiciones de equilibrio . . . . .	41
2.10.2	Sistemas de fuerzas paralelas . . . . .	42
2.10.3	Fuerzas de Ligadura . . . . .	43
2.10.4	Ejemplo . . . . .	45
2.11	Problemas de Dinámica . . . . .	46
2.12	Cuestiones de Dinámica . . . . .	51
<b>3</b>	<b>Oscilaciones</b>	<b>53</b>
3.1	Objetivos . . . . .	53
3.2	Introducción . . . . .	53
3.3	Cinemática de la oscilación armónica . . . . .	54
3.4	Dinámica de la oscilación armónica . . . . .	55
3.5	Péndulo simple . . . . .	56
3.6	Oscilaciones amortiguadas . . . . .	58
3.7	Oscilaciones forzadas y amortiguadas . . . . .	59
3.7.1	Resonancia . . . . .	62
3.8	Oscilaciones Anarmónicas . . . . .	64
3.9	Superposición de armónicos . . . . .	67
3.9.1	Superposición de armónicos de igual frecuencia . . . . .	67
3.9.2	Superposición de armónicos de igual amplitud y fase, pero distinta $\omega$ . . . . .	68
3.10	Ejercicios de Oscilaciones . . . . .	69
3.11	Cuestiones de oscilaciones . . . . .	71
<b>4</b>	<b>Sólido Rígido</b>	<b>75</b>
4.1	Objetivos . . . . .	75
4.2	Introducción . . . . .	75
4.3	Rotación en torno a un eje fijo y momento de inercia . . . . .	76
4.3.1	Convenio de sentido de rotación . . . . .	76
4.3.2	Momento angular de un sólido rígido en rotación . . . . .	76
4.3.3	Momento de Inercia . . . . .	78
4.3.4	Momento de inercia de una varilla . . . . .	79
4.3.5	Momento de inercia de un disco . . . . .	79
4.3.6	Momento de inercia de un paralelepípedo . . . . .	80
4.3.7	Teorema de Steiner . . . . .	81

4.3.8	Ecuación del movimiento . . . . .	82
4.4	Energía Cinética de rotación . . . . .	83
4.5	Fuerzas de Ligadura . . . . .	83
4.5.1	Caso I: Centro de masas no contenido en el eje de rotación	84
4.5.2	Caso II: El eje de rotación no es un eje principal de inercia	84
4.6	Ejemplos . . . . .	85
4.6.1	El péndulo físico . . . . .	85
4.6.2	Rodaduras sin deslizamiento . . . . .	87
4.6.3	La máquina de Atwood . . . . .	89
4.7	Ejercicios de Sólido Rígido . . . . .	90
4.8	Cuestiones de Sólido Rígido . . . . .	93
<b>5</b>	<b>Sólidos deformables y fluidos</b>	<b>97</b>
5.0.1	Deformación por tracción o compresión . . . . .	97
5.0.2	Deformación por esfuerzo de corte o cizalla . . . . .	99
5.0.3	Deformación por compresión . . . . .	99
5.1	Fluidos . . . . .	99
5.1.1	Ecuación de Continuidad . . . . .	100
5.1.2	Ecuación de Bernoulli . . . . .	101
5.1.3	Aplicaciones de la Ecuación de Bernoulli . . . . .	103
5.1.4	Viscosidad . . . . .	107
5.2	Ejercicios . . . . .	107
<b>6</b>	<b>Termodinámica</b>	<b>109</b>
6.1	Objetivos . . . . .	109
6.2	Introducción . . . . .	109
6.3	Equilibrio térmico y temperatura . . . . .	110
6.4	Leyes de los gases ideales . . . . .	111
6.4.1	Ley de Boyle/Mariotte . . . . .	111
6.4.2	Ley de Gay-Lussac/Charles . . . . .	111
6.4.3	Avogadro y el mol . . . . .	111
6.4.4	Ley de Avogadro . . . . .	111
6.4.5	Ecuación de Estado . . . . .	111
6.4.6	Ley de Dalton . . . . .	112
6.5	Teoría cinética . . . . .	112
6.5.1	Energía cinética . . . . .	112
6.5.2	Presión . . . . .	113
6.5.3	Energía Interna . . . . .	115
6.6	Energía Interna, Calor y Trabajo: Primer Principio de la Termodinámica	115
6.6.1	Calor . . . . .	115
6.6.2	Cambios de temperatura . . . . .	115
6.6.3	Cambios de Fase . . . . .	116
6.6.4	Trabajo . . . . .	116
6.6.5	Primer Principio de la Termodinámica . . . . .	117
6.6.6	Experimento de Joule . . . . .	117
6.7	Procesos Termodinámicos . . . . .	118
6.7.1	Procesos Isócoros . . . . .	118
6.7.2	Procesos Isobaros . . . . .	119
6.7.3	Procesos Isotermos . . . . .	121
6.7.4	Procesos Adiabáticos . . . . .	122

---

6.8	Máquinas Térmicas y Segundo Principio de la Termodinámica . .	123
6.8.1	Procesos espontáneos . . . . .	123
6.8.2	Máquinas Térmicas . . . . .	124
6.8.3	Rendimiento en máquinas térmicas . . . . .	125
6.8.4	El ciclo de Carnot . . . . .	126
6.9	Ejercicios . . . . .	128
6.10	Cuestiones . . . . .	129

# Capítulo 1

## Cinemática

### 1.1 Objetivos

En física, la cinemática describe el movimiento de cuerpos. En esta unidad didáctica aprenderemos a caracterizar las trayectorias de objetos (que trataremos como partículas puntuales) en movimiento. Para ello, es necesario que nos familiaricemos con dos elementos básicos: el tiempo y el espacio. Para poder determinarlos necesitamos seleccionar un origen de tiempos -el momento en que el cronómetro empieza a funcionar- y un sistema de referencia -el punto desde donde medimos la posición, y un sistema de coordenadas. Una trayectoria de un objeto móvil está bien caracterizada, y por tanto el objetivo de la cinemática cumplido, cuando podemos decir dónde está en cualquier instante de tiempo.

Para poder acometer la descripción cinemática, es importante conocer las magnitudes fundamentales de la cinemática: posición, velocidad y aceleración, así como la relación existente entre ellas.

Por tanto, los objetivos de este capítulo son los siguientes:

- Conocer las magnitudes de la cinemática:
  - posición,
  - velocidad
  - y aceleración.
- Conocer la relación entre posición, velocidad y aceleración.
- Entender la importancia de la selección, en función del tipo de movimiento, del sistema de coordenadas adecuado:
  - cartesiano
  - o radial.
- Dominar las situaciones más sencillas:
  - Movimiento rectilíneo uniforme
  - Movimiento uniformemente acelerado
  - Movimiento circular uniforme

– Movimiento circular uniformemente acelerado.

La evaluación de este capítulo se realizará principalmente mediante la resolución de problemas y ejercicios.

## 1.2 Introducción

La **cinemática** es la parte de la física que se encarga de la descripción del movimiento. Esta descripción se realiza sin indagar en las causas que lo provocan (eso sería la dinámica).

La primera pregunta es: ¿Qué necesitamos para poder describir el movimiento?

- Un sistema de referencia, desde el que el observador toma sus medidas. Dos observadores en distintos sistemas de referencias dan descripciones del movimiento diferentes.

Utilizamos dos conceptos fundamentales en cinemática: El tiempo y el espacio. Si tenemos, por ejemplo, un objeto viajando en el espacio, la descripción del movimiento es poder decir el cuándo y el dónde, o lo que es lo mismo, su posición como una función del tiempo. Para ello utilizamos patrones que nos permitan cuantificar estas magnitudes en unidades del Sistema Internacional (SI).

- Tiempo<sup>1</sup>: La unidad en SI es el segundo. El patrón se obtiene a partir de una determinada frecuencia atómica:  $1 \text{ s} \leftrightarrow \nu_{\text{Cs}} = 9192631779 \text{ Hz}$
- Espacio (o distancia): La unidad en SI es el metro. El patrón se obtiene a partir de la velocidad de la luz en el vacío ( $c$ , que es constante) y el patrón de segundo:  $1 \text{ m} \leftrightarrow c = 299792458 \text{ m/s}$

Entonces, con una cinta métrica y un reloj sabemos el dónde y el cuándo → A partir de ahí podemos describir el movimiento desde un Sistema de Referencia dado, es decir, un punto desde el que medir distancias y un sistema de coordenadas.

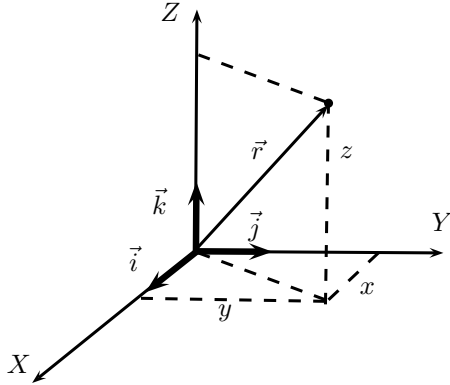
## 1.3 Movimiento de una partícula

La posición de una partícula, que en general es una función del tiempo, la denotamos con el vector  $\vec{r}(t)$ . En un sistema de ejes cartesianos, podemos descomponer el vector posición en 3 dimensiones en las direcciones X, Y, Z.

---

<sup>1</sup>El tiempo es absoluto. En física clásica el tiempo transcurre igual para todos los observadores independientemente de su movimiento relativo





$$\vec{r}(t) = \begin{cases} (x(t), y(t), z(t)) = x(t)\vec{i} + y(t)\vec{j} + z(t)\vec{k} & \text{si el movimiento es 3D} \\ (x(t), y(t)) = x(t)\vec{i} + y(t)\vec{j} & \text{si el movimiento es 2D} \\ x(t) & \text{si el movimiento es 1D} \end{cases}$$

Observar que mientras  $\vec{r}(t)$  es un vector, sus componentes  $x(t)$ ,  $y(t)$ ,  $z(t)$  son magnitudes escalares. Se relacionan con el vector  $\vec{r}(t)$  mediante los vectores unitarios  $\vec{i} = (1, 0, 0)$ ,  $\vec{j} = (0, 1, 0)$  y  $\vec{k} = (0, 0, 1)$ . Estos vectores están definidos de modo que el producto escalar entre ellos es:

$$\vec{i} \cdot \vec{j} = \vec{i} \cdot \vec{k} = \vec{j} \cdot \vec{k} = 0$$

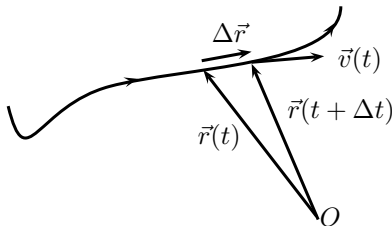
$$\vec{i} \cdot \vec{i} = \vec{j} \cdot \vec{j} = \vec{k} \cdot \vec{k} = 1$$

además  $|\vec{i}| = |\vec{j}| = |\vec{k}| = 1$ , y son invariantes. Conocida la posición de la partícula, podemos deducir la velocidad ( $\vec{v}$ ) y aceleración ( $\vec{a}$ ).

## 1.4 Concepto de velocidad

¿Cómo cambia la posición  $\vec{r}$  con el tiempo? Si después de un intervalo de tiempo  $\Delta t$  la partícula pasa de estar en la posición  $\vec{r}(t)$  a situarse en  $\vec{r}(t + \Delta t) = \vec{r}(t) + \Delta \vec{r}$ , es decir, ha experimentado un avance  $\Delta \vec{r}$ , entonces su velocidad media ha sido de  $\langle \vec{v} \rangle = \Delta \vec{r} / \Delta t$  (La notación  $\langle \vec{v} \rangle$  quiere decir promedio de  $\vec{v}$ ). Esta cantidad nos da información de cómo cambia la posición de la partícula en un intervalo de tiempo  $\Delta t$ . Pero aquí lo que nos interesa no es la velocidad media sino la instantánea, es decir, cómo cambia el vector  $\vec{r}$  en cada instante de tiempo. Para ello tenemos que utilizar incrementos de tiempo infinitesimales; nos encontramos con lo que en matemáticas llamamos derivada:

$$\vec{v}(t) = \lim_{\Delta t \rightarrow 0} \frac{\vec{r}(t + \Delta t) - \vec{r}(t)}{\Delta t} = \frac{d\vec{r}(t)}{dt}$$



El vector  $\vec{v}(t)$  nos proporciona información sobre el movimiento inmediato:

- **Dirección y sentido** del movimiento: Hacia donde se desplaza la partícula. Lo indica un vector unitario  $\vec{u}_v = \frac{\vec{v}}{|\vec{v}|}$ , con  $|\vec{u}_v| = 1$ .
- **Módulo** de la velocidad  $|\vec{v}|$ : Cómo de rápido es el desplazamiento.

Ojo! Tanto el módulo  $|\vec{v}|$  como la orientación  $\vec{u}_v$  cambian durante la trayectoria: En general dependen del tiempo  $t$ . Por lo tanto,  $\vec{v}(t)$  nos dice cómo cambia la posición en cada instante de tiempo. Si conocemos  $\vec{r}(t)$  podemos calcular la velocidad  $\vec{v}(t)$ .

Por 'conocer  $\vec{r}(t)$ ' se quiere decir que se conocen (i) sus *componentes cartesianas* o bien (ii) su *módulo y orientación*

(i) Componentes Cartesianas:

$$\begin{aligned}\vec{r}(t) &= x(t)\vec{i} + y(t)\vec{j} + z(t)\vec{k} \implies \\ \boxed{\vec{v}(t) = \frac{d\vec{r}(t)}{dt} = \frac{dx(t)}{dt}\vec{i} + \frac{dy(t)}{dt}\vec{j} + \frac{dz(t)}{dt}\vec{k}} &= \\ \vec{v}(t) &= v_x(t)\vec{i} + v_y(t)\vec{j} + v_z(t)\vec{k}\end{aligned}$$

donde se ha tenido en cuenta que los vectores unitarios son fijos, y por lo tanto:

$$\frac{d\vec{i}}{dt} = \frac{d\vec{j}}{dt} = \frac{d\vec{k}}{dt} = 0$$

(ii) Módulo y orientación:

$$\vec{r}(t) = r(t) \vec{u}_r(t)$$

Es decir, nuestra partícula está a una distancia del origen  $r(t) = |\vec{r}(t)|$ , en la dirección y sentido que indica el vector unitario  $\vec{u}_r(t) = \frac{\vec{r}(t)}{r(t)}$ .

Entonces la velocidad la calculamos derivando con respecto al tiempo:

$$\boxed{\vec{v}(t) = \frac{dr(t)}{dt}\vec{u}_r(t) + r(t)\frac{d\vec{u}_r(t)}{dt}}$$

Ahora el vector unitario NO es constante, depende del tiempo y por lo tanto su derivada debe aparecer en la expresión de  $v$ .

## 1.5 Concepto de aceleración

¿Cómo cambia la velocidad con el tiempo?  $\rightarrow$  Es lo que la aceleración nos dice. Análogamente al caso de la velocidad (que es la derivada temporal de la posición), la aceleración la definimos como la derivada de la velocidad con respecto al tiempo:

$$\boxed{\vec{a}(t) = \frac{d\vec{v}(t)}{dt} = \frac{d^2\vec{r}(t)}{dt^2}}$$

La aceleración nos informa de cómo está cambiando la velocidad: tanto cambios en su módulo  $|\vec{v}(t)|$  (más rápido o más lento) como cambios en su dirección y sentido, es decir, en  $\vec{u}_v(t)$ .

En componentes cartesianas:

$$\boxed{\vec{a}(t) = \frac{d^2x(t)}{dt^2}\vec{i} + \frac{d^2y(t)}{dt^2}\vec{j} + \frac{d^2z(t)}{dt^2}\vec{k}} = a_x(t)\vec{i} + a_y(t)\vec{j} + a_z(t)\vec{k}$$

## 1.6 De la posición a la aceleración, y viceversa

Ahora ya sabemos cómo, partiendo de una expresión general de la posición en función del tiempo  $\vec{r}(t)$ , podemos deducir tanto la velocidad como la aceleración en un instante de tiempo cualquiera, mediante derivación.

$$\vec{r}(t) \xrightarrow{\frac{d}{dt}} \vec{v}(t) \xrightarrow{\frac{d}{dt}} \vec{a}(t)$$

El proceso inverso es el de integración en el tiempo: así podemos, a partir de la aceleración obtener la velocidad, y a partir de ésta, la posición.

Si la función que conocemos es la velocidad, entonces la posición se obtiene:

$$\begin{aligned} \frac{d\vec{r}(t)}{dt} = \vec{v}(t) &\implies d\vec{r}(t) = \vec{v}(t)dt \\ \int_{\vec{r}(t_0)=\vec{r}_0}^{\vec{r}(t)} d\vec{r}' &= \int_{t_0}^t \vec{v}(t')dt' \implies \vec{r}(t) = \vec{r}_0 + \int_{t_0}^t \vec{v}(t')dt' \end{aligned} \quad (1.1)$$

Observar que, a la hora de integrar, aparecen constantes de integración que matemáticamente son libres. Sin embargo, para obtener una expresión que físicamente tenga sentido, hemos de utilizar las condiciones iniciales del movimiento: en la ecuación en la que obtenemos  $\vec{r}(t)$  integrando la velocidad, hemos puesto como límites inferiores de las respectivas integrales el tiempo  $t_0$  y la posición en dicho instante de tiempo  $\vec{r}(t = t_0)$  que denotamos como  $\vec{r}_0$ . En los límites superiores de integración ponemos la expresión a obtener  $\vec{r}(t)$  y el tiempo  $t$ .

Si el dato conocido es la aceleración, entonces la velocidad se calcula así:

$$\begin{aligned} \frac{d\vec{v}(t)}{dt} = \vec{a}(t) &\implies d\vec{v}(t) = \vec{a}(t)dt \\ \int_{\vec{v}(t_0)=\vec{v}_0}^{\vec{v}(t)} d\vec{v}' &= \int_{t_0}^t \vec{a}(t')dt' \implies \vec{v}(t) = \vec{v}_0 + \int_{t_0}^t \vec{a}(t')dt' \end{aligned} \quad (1.2)$$

Para establecer los límites de integración procedemos análogamente a como se hizo previamente. Para obtener la velocidad, integramos con límites inferiores el tiempo  $t_0$  y la velocidad justo entonces  $\vec{v}_0$ , etc. . .

Para deducir la posición a partir de la aceleración hemos de integrar dos veces. O, dicho de otro modo, introducimos el resultado que acabamos de obtener para  $\vec{v}(t)$  (ecuación (1.2)) en la ecuación (1.1), donde se saca la  $\vec{r}(t)$ :

$$\left. \begin{aligned} \vec{r}(t) &= \vec{r}_0 + \int_{t_0}^t \vec{v}(t')dt' \\ \vec{v}(t') &= \vec{v}_0 + \int_{t_0}^{t'} \vec{a}(t'')dt'' \end{aligned} \right\} \implies \vec{r}(t) = \vec{r}_0 + \vec{v}_0(t - t_0) + \int_{t_0}^t \left[ \int_{t_0}^{t'} \vec{a}(t'')dt'' \right] dt'$$

## 1.7 Algunas relaciones útiles

Hemos visto como a partir de una expresión de posición, velocidad, o aceleración en función del tiempo se pueden deducir las otras dos. Sin embargo en algunas ocasiones es posible que nos enfrentemos a problemas en los que, por ejemplo, la aceleración no nos es dada como función de  $t$  sino de la posición  $\vec{r}$ . En tales casos no se puede hacer directamente una integral en el tiempo, porque no tenemos una expresión que dependa explícitamente del tiempo sino que lo que tenemos es  $\vec{a}(\vec{r})$  ¿cómo se obtiene la velocidad o la posición? Recurrimos a las definiciones de aceleración y velocidad que ya hemos visto:

### 1.7.1 Si conocemos $\vec{a}(\vec{r})$

$$\left. \begin{aligned} \frac{d\vec{v}}{dt} = \vec{a} \\ \vec{v} = \frac{d\vec{r}}{dt} \end{aligned} \right\} \vec{v} \cdot d\vec{v} = \vec{a} \cdot dt \frac{d\vec{r}}{dt} = \vec{a} \cdot d\vec{r} \implies$$

$$\int_{\vec{v}_0}^{\vec{v}(\vec{r})} \vec{v} \cdot d\vec{v} = \int_{\vec{r}_0}^{\vec{r}} \vec{a}(\vec{r}) d\vec{r}.$$

El término  $\vec{v} \cdot d\vec{v}$  es un producto escalar entre dos vectores. Si las componentes de ambos son  $\vec{v} = (v_x, v_y, v_z)$  y  $d\vec{v} = (dv_x, dv_y, dv_z)$ , entonces el producto escalar es:

$$\vec{v} \cdot d\vec{v} = v_x dv_x + v_y dv_y + v_z dv_z$$

entonces su integral la calculamos como la suma de tres integrales separadas:

$$\int_{\vec{v}_0}^{\vec{v}(\vec{r})} \vec{v} \cdot d\vec{v} = \int_{\vec{v}_0}^{\vec{v}(\vec{r})} (v_x dv_x + v_y dv_y + v_z dv_z) = \frac{1}{2} (v_x^2 + v_y^2 + v_z^2)_{\vec{v}_0}^{\vec{v}(\vec{r})} = \frac{1}{2} (|\vec{v}(\vec{r})|^2 - |\vec{v}_0|^2)$$

volviendo a la expresión anterior:

$$\frac{1}{2} (|\vec{v}(\vec{r})|^2 - |\vec{v}_0|^2) = \int_{\vec{r}_0}^{\vec{r}} \vec{a}(\vec{r}) d\vec{r} \implies$$

$$|\vec{v}(\vec{r})| = \sqrt{v_0^2 + 2 \int_{\vec{r}_0}^{\vec{r}} \vec{a}(\vec{r}) d\vec{r}}$$

### 1.7.2 Si conocemos $a(v)$

Mediante separación de variables podemos calcular  $v(t)$  a partir de la expresión de la aceleración como función de la velocidad.

$$a(v) = \frac{dv}{dt} \implies dt = \frac{dv}{a(v)} \implies \boxed{\int_{t_0}^t dt = \int_{v_0}^{v(t)} \frac{dv}{a(v)}}$$

de esta manera podemos despejar  $v(t)$  y después mediante integración y derivación obtener, respectivamente  $r(t)$  y  $a(t)$ .

### 1.7.3 Si conocemos $v(r)$

El procedimiento es muy similar al del caso anterior:

$$v(r) = \frac{dr}{dt} \implies dt = \frac{dr}{v(r)} \implies \boxed{\int_{t_0}^t dt = \int_{r_0}^{r(t)} \frac{dr}{v(r)}}$$

así, obtenemos  $r(t)$  despejando. Derivando podemos conocer  $v(t)$ , y, volviendo a derivar, la aceleración  $a(t)$ .

## 1.8 Casos sencillos

Existen dos casos particulares de cinemática en los que todo se simplifica y podemos obtener algunas relaciones generales. Se trata del movimiento rectilíneo uniforme y del movimiento uniformemente acelerado.

### 1.8.1 Movimiento Rectilíneo Uniforme (MRU)

El movimiento rectilíneo uniforme se caracteriza por tener una velocidad constante y, por tanto, aceleración cero.

$$\vec{a} = 0, \quad \vec{v}(t) = \vec{v}_0 = c\vec{e}$$

Notar que todo movimiento con velocidad constante ha de ser rectilíneo por fuerza. Por tanto es conveniente escoger un sistema de referencia tal que uno de los ejes (cartesianos) coincida con la dirección del movimiento para simplificar las ecuaciones.

Si escogemos el eje OX de modo que sea paralelo a  $\vec{v}_0$ , tenemos que, integrando la velocidad (ver ecuación (1.1)):

$$\boxed{x(t) = x_0 + v_0(t - t_0)}$$

### 1.8.2 Movimiento Uniformemente Acelerado (MUA)

Acontece cuando la aceleración  $a$  que es sometido el sistema es constante:  $\vec{a}(t) = \vec{a}_0 = c\vec{e}$ . Un ejemplo clásico es el tiro parabólico, donde un proyectil es disparado con una velocidad inicial dada, formando un ángulo determinado con la horizontal. El proyectil se ve sometido a una aceleración constante, la de la gravedad ( $\vec{a} = \vec{g} = 9.8 \text{ m/s}^2$ ).

En el caso general este movimiento no es rectilíneo. Sólo lo sería en el caso de velocidad inicial cero o paralela a la aceleración.

La expresión para la velocidad se obtiene integrando la aceleración:

$$\frac{d\vec{v}(t)}{dt} = \vec{a}_0 \implies \int_{\vec{v}_0}^{\vec{v}(t)} d\vec{v} = \int_{t_0}^t \vec{a}_0 dt \implies$$

$$\boxed{\vec{v}(t) = \vec{v}_0 + \vec{a}_0(t - t_0)}$$

A su vez la posición se calcula integrando la ecuación de la velocidad:

$$\frac{d\vec{r}(t)}{dt} = \vec{v}(t) = \vec{v}_0 + \vec{a}_0(t - t_0) \implies \int_{\vec{r}_0}^{\vec{r}(t)} d\vec{r} = \int_{t_0}^t (\vec{v}_0 + \vec{a}_0(t - t_0)) dt \implies$$

$$\begin{aligned}\vec{r}(t) - \vec{r}_0 &= \int_{t_0}^t \vec{v}_0 dt + \int_{t_0}^t \vec{a}_0(t - t_0) dt = \\ \vec{v}_0(t - t_0) + \vec{a}_0 \left( \frac{t^2}{2} - \frac{t_0^2}{2} \right) - \vec{a}_0 t_0(t - t_0) &= \vec{v}_0(t - t_0) + \vec{a}_0 \left( \frac{t^2}{2} - \frac{t_0^2}{2} - t_0 t + t_0^2 \right) \implies \\ \boxed{\vec{r}(t) = \vec{r}_0 + \vec{v}_0(t - t_0) + \frac{1}{2} \vec{a}_0(t - t_0)^2}\end{aligned}$$

Notar que habitualmente las componentes de la posición  $x(t)$ ,  $y(t)$ ,  $z(t)$  tienen distintos tipos de movimiento: En el tiro parabólico, la componente en la dirección de la gravedad se mueve con MUA, mientras que la componente perpendicular a la gravedad se mueve con MRU.

## 1.9 Cinemática del Movimiento Vibratorio Armónico

El movimiento armónico es aquél que viene descrito por la ecuación:

$$\boxed{\vec{a}(t) = \frac{d\vec{r}(t)}{dt^2} = -\omega^2 \vec{r}(t)}$$

con  $\omega$  constante.

### 1.9.1 Características del movimiento

De la ecuación anterior se deduce que aceleración y vector posición:

- son paralelos.
- tienen sentidos opuestos.

Como en general en cinemática, se extrae información física de las llamadas constantes *iniciales*: En el instante de tiempo  $t = t_0$ , se conocen la posición  $\vec{r}(t_0) = \vec{r}_0$  y la velocidad  $\vec{v}(t_0) = \vec{v}_0$ . Si son paralelos ( $\vec{r}_0 \parallel \vec{v}_0$ ), entonces el movimiento es unidimensional, y escogemos el eje OX.

$$\frac{d^2x}{dt^2} = -\omega^2 x \implies \frac{d^2x}{dt^2} + \omega^2 x = 0$$

La solución de esta ecuación es una función seno o coseno:

$$x(t) = A \cos(\omega t - \theta) = A \sin(\omega t - \alpha), \quad \left( \alpha = \theta - \frac{1}{2} \right)$$

Donde  $A > 0$  es una constante y  $\theta$  es la fase inicial o resultado de la ecuación en  $t = 0$ . Dada la naturaleza de las funciones seno y coseno, que están desfasadas por un ángulo  $\pi/2$ , se puede expresar  $x$  de las dos maneras, ajustando el desfase adecuadamente.

La velocidad y la aceleración las obtenemos derivando, como siempre:

$$\begin{aligned}x(t) &= A \cos(\omega t - \theta) \\ \frac{dx(t)}{dt} &= v(t) = -A\omega \sin(\omega t - \theta)\end{aligned}$$

$$\frac{d^2x(t)}{dt^2} = a(t) = -A\omega^2 \cos(\omega t - \theta) = -\omega^2 x(t)$$

Posición, velocidad y aceleración son funciones periódicas de  $t$  y acotadas entre un valor máximo y mínimo, porque el coseno está acotado entre los valores  $-1 \leq \cos(\omega t - \theta) \leq +1$  y porque existe un incremento de tiempo  $T$  que llamamos periodo tal que:

$$x(t + T) = x(t)$$

$$v(t + T) = v(t)$$

$$a(t + T) = a(t)$$

el periodo es  $T = \frac{2\pi}{\omega}$ .

A  $\omega$  se la denomina *frecuencia angular*. Conviene no confundirla con la frecuencia  $\nu = \frac{1}{T}$ .

Tanto la amplitud como la fase inicial se pueden obtener a partir de las condiciones iniciales  $(x_0, v_0)$  en el tiempo  $t = 0$ .

$$x_0 = A \cos(-\theta) = A \cos \theta \implies \cos \theta = \frac{x_0}{A} \quad (1.3)$$

$$v_0 = -A\omega \sin(-\theta) = A\omega \sin \theta \implies \sin \theta = \frac{v_0}{A\omega} \quad (1.4)$$

y como  $\cos^2 \theta + \sin^2 \theta = 1$ ,

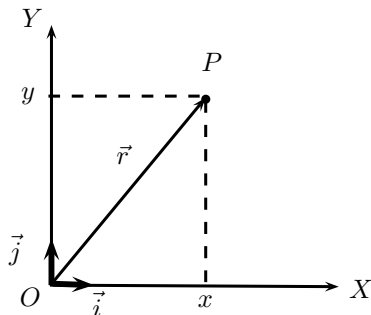
$$\frac{x_0^2}{A^2} + \frac{v_0^2}{A^2\omega^2} = 1 \implies A = \sqrt{x_0^2 + \frac{v_0^2}{\omega^2}}$$

Por otro lado para obtener la fase  $\theta$  dividimos la ecuación (1.4), de  $v_0$  por la ecuación (1.3), de  $x_0$ :

$$\frac{v_0}{x_0} = \frac{A\omega \sin \theta}{A \cos \theta} = \omega \tan \theta \implies \tan \theta = \frac{v_0}{x_0\omega}$$

## 1.10 Movimiento en Coordenadas Polares

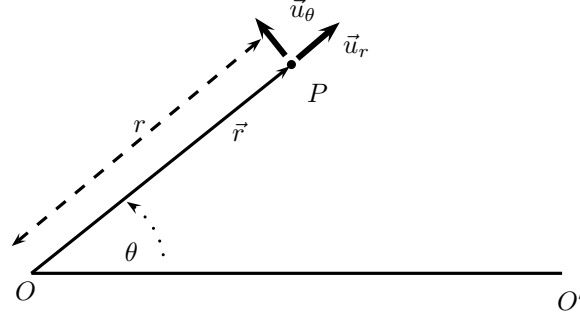
Hasta ahora hemos visto sobre todo cómo describir el transporte desde un sistema de coordenadas cartesianas.



En 2 dimensiones, las cordanadas cartesianas de P son:

$$\vec{r} = x\vec{i} + y\vec{j}$$

En polares, necesitamos un origen  $O$  y una recta  $OO'$ . La posición de  $P$  viene determinada por su distancia  $r = |\vec{r}|$  a  $O$  y el ángulo  $\theta$  de su vector posición con la recta  $OO'$ , definido de manera que sea creciente en sentido antihorario.



Los vectores unitarios ahora son  $\vec{u}_r$ , en la dirección de  $\vec{r}$  y  $\vec{u}_\theta$ , perpendicular al anterior y en el sentido de  $\theta$  creciente.

La posición es:

$$\vec{r} = r\vec{u}_r$$

El paso de cartesianas  $(x, y)$  a polares  $(r, \theta)$ , y viceversa, es sencillo:

$$\begin{cases} x = r \cos \theta \\ y = r \sin \theta \end{cases} \Leftrightarrow \begin{cases} r = \sqrt{x^2 + y^2} \\ \theta = \text{atan}(y/x) \end{cases}$$

Como ya se vio con anterioridad, en cartesianas el cálculo de  $\vec{v}$  y  $\vec{a}$  es sencillo: al derivar nos aprovechamos de la circunstancia de que los unitarios son constantes.

$$\vec{r}(t) = x(t)\vec{i} + y(t)\vec{j}$$

$$\vec{v}(t) = \frac{dx(t)}{dt}\vec{i} + \frac{dy(t)}{dt}\vec{j}$$

$$\vec{a}(t) = \frac{d^2x(t)}{dt^2}\vec{i} + \frac{d^2y(t)}{dt^2}\vec{j}$$

¿Cómo se calculan velocidad y aceleración en polares? También hay que derivar, pero ahora hay que tener cuidado porque los vectores unitarios no son constantes, y por lo tanto sus derivadas no son nulas.

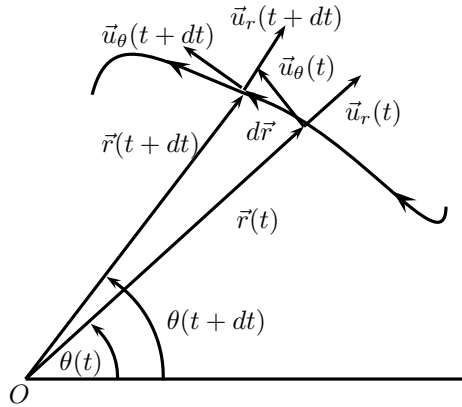
$$\vec{r}(t) = r(t)\vec{u}_r(t),$$

$$\vec{v}(t) = \frac{d\vec{r}(t)}{dt} = \frac{dr(t)}{dt}\vec{u}_r(t) + r(t)\frac{d\vec{u}_r(t)}{dt}, \quad (1.5)$$

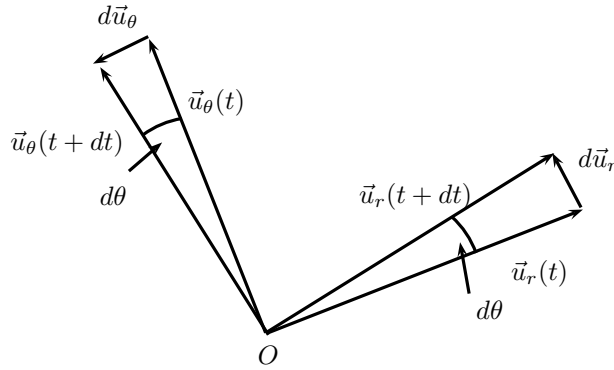
$$\begin{aligned} \vec{a}(t) &= \frac{d\vec{v}(t)}{dt} = \frac{d^2r(t)}{dt^2}\vec{u}_r(t) + \frac{dr(t)}{dt}\frac{d\vec{u}_r(t)}{dt} + \frac{dr(t)}{dt}\frac{d\vec{u}_r(t)}{dt} + r(t)\frac{d^2\vec{u}_r(t)}{dt^2} \Rightarrow \\ \vec{a}(t) &= \frac{d^2r(t)}{dt^2}\vec{u}_r(t) + 2\frac{dr(t)}{dt}\frac{d\vec{u}_r(t)}{dt} + r(t)\frac{d^2\vec{u}_r(t)}{dt^2} \end{aligned} \quad (1.6)$$

La pregunta es ¿cuánto valen  $\frac{d\vec{u}_r(t)}{dt}$  y  $\frac{d^2\vec{u}_r(t)}{dt^2}$ ? Podemos deducirlo a partir de las siguientes figuras esquemáticas:





En la figura anterior vemos que los vectores direccionales unitarios cambian cuando la partícula se mueve. A continuación se muestra un esquema con sólo los vectores unitarios y sus cambios:



A partir de esta figura vemos cómo se deduce que

$$\left. \begin{array}{l} |d\vec{u}_r| = |\vec{u}_r| d\theta \\ d\vec{u}_r \perp \vec{u}_r \Rightarrow d\vec{u}_r \parallel \vec{u}_\theta \end{array} \right\} \Rightarrow d\vec{u}_r = d\theta \vec{u}_\theta \Rightarrow \frac{d\vec{u}_r}{dt} = \frac{d\theta}{dt} \vec{u}_\theta \quad (1.7)$$

Encontes ya sabemos cuánto vale la derivada del vector unitario  $\vec{u}_r$ . Además podemos calcular la segunda derivada:

$$\frac{d^2 \vec{u}_r}{dt^2} = \frac{d^2 \theta}{dt^2} \vec{u}_\theta + \frac{d\theta}{dt} \frac{d\vec{u}_\theta}{dt} \quad (1.8)$$

pero estas expresiones dependen de la derivada  $\frac{d\vec{u}_\theta}{dt}$ . Según la figura anterior, también podemos deducir cuánto vale esta última:

$$\left. \begin{array}{l} |d\vec{u}_\theta| = |\vec{u}_\theta| d\theta \\ d\vec{u}_\theta \parallel -\vec{u}_r \end{array} \right\} \Rightarrow d\vec{u}_\theta = -d\theta \vec{u}_r \Rightarrow \frac{d\vec{u}_\theta}{dt} = -\frac{d\theta}{dt} \vec{u}_r \quad (1.9)$$

Entonces, el resultado de la expresión de  $d\vec{u}_\theta/dt$  que hemos deducido en la expresión (1.9) lo podemos sustituir en la ecuación (1.8). Obtenemos:

$$\frac{d^2 \vec{u}_r}{dt^2} = \frac{d^2 \theta}{dt^2} \vec{u}_\theta - \left( \frac{d\theta}{dt} \right)^2 \vec{u}_r \quad (1.10)$$

Ahora ya conocemos el valor de las derivadas primera y segunda del vector unitario  $\vec{u}_r$  y las podemos utilizar para reemplazarlos en las ecuaciones (1.5)

y (1.6). Comenzamos sustituyendo la ecuación (1.7) en la expresión para la velocidad en polares (ecuación (1.5)):

$$\vec{v}(t) = \frac{d\vec{r}(t)}{dt} = \frac{d\vec{r}(t)}{dt} \vec{u}_r(t) + r(t) \frac{d\vec{u}_r(t)}{dt} \left\{ \begin{array}{l} \frac{d\vec{u}_r}{dt} = \frac{d\theta}{dt} \vec{u}_\theta \\ \frac{d^2\vec{u}_r}{dt^2} = \frac{d^2\theta}{dt^2} \vec{u}_\theta - \left(\frac{d\theta}{dt}\right)^2 \vec{u}_r \end{array} \right\} \Rightarrow \vec{v} = \frac{dr}{dt} \vec{u}_r + r \frac{d\theta}{dt} \vec{u}_\theta.$$

A continuación reemplazamos en la ecuación para la aceleración en polares (ecuación (1.6)) las expresiones (1.7) y (1.10):

$$\begin{aligned} \vec{a}(t) &= \frac{d^2\vec{r}(t)}{dt^2} = \frac{d^2\vec{r}(t)}{dt^2} \vec{u}_r(t) + 2 \frac{dr(t)}{dt} \frac{d\vec{u}_r(t)}{dt} + r(t) \frac{d^2\vec{u}_r(t)}{dt^2} \left\{ \begin{array}{l} \frac{d\vec{u}_r}{dt} = \frac{d\theta}{dt} \vec{u}_\theta \\ \frac{d^2\vec{u}_r}{dt^2} = \frac{d^2\theta}{dt^2} \vec{u}_\theta - \left(\frac{d\theta}{dt}\right)^2 \vec{u}_r \end{array} \right\} \Rightarrow \\ \vec{a} &= \frac{d^2r}{dt^2} \vec{u}_r + 2 \frac{dr}{dt} \frac{d\theta}{dt} \vec{u}_\theta + r \left[ \frac{d^2\theta}{dt^2} \vec{u}_\theta - \left(\frac{d\theta}{dt}\right)^2 \vec{u}_r \right] \Rightarrow \\ \vec{a} &= \left[ \frac{d^2r(t)}{dt^2} - r \left(\frac{d\theta}{dt}\right)^2 \right] \vec{u}_r + \left[ 2 \frac{dr}{dt} \frac{d\theta}{dt} + r \frac{d^2\theta}{dt^2} \right] \vec{u}_\theta \end{aligned}$$

Recopilando, tenemos que la velocidad es:

$$\vec{v} = \frac{dr}{dt} \vec{u}_r + r \frac{d\theta}{dt} \vec{u}_\theta.$$

y la aceleración es:

$$\vec{a} = \left[ \frac{d^2r(t)}{dt^2} - r \left(\frac{d\theta}{dt}\right)^2 \right] \vec{u}_r + \left[ 2 \frac{dr}{dt} \frac{d\theta}{dt} + r \frac{d^2\theta}{dt^2} \right] \vec{u}_\theta$$

Recordar que la velocidad se define como la derivada de la posición (en metros) con respecto del tiempo. Análogamente, podemos definir la velocidad angular (que denotaremos como  $\omega$ ) como derivada del ángulo respecto del tiempo.

$$\omega = \frac{d\theta}{dt}$$

y la aceleración angular ( $\alpha$ ), como segunda derivada de  $\theta$  con  $t$ .

$$\alpha = \frac{d^2\theta}{dt^2} = \frac{d\omega}{dt}$$

Entonces escribimos  $\vec{v}$  y  $\vec{a}$  así:

$$\vec{v} = \frac{dr}{dt} \vec{u}_r + r\omega \vec{u}_\theta \quad \left\{ \begin{array}{ll} v_r = dr/dt & \text{Componente radial} \\ v_\theta = r\omega & \text{Componente polar} \end{array} \right.$$

$$\vec{a} = \left( \frac{d^2r}{dt^2} - r\omega^2 \right) \vec{u}_r + \left( 2\omega \frac{dr}{dt} + r\alpha \right) \vec{u}_\theta \quad \left\{ \begin{array}{ll} a_r = \frac{d^2r}{dt^2} - r\omega^2 & \text{Componente radial} \\ a_\theta = 2\omega \frac{dr}{dt} + r\alpha & \text{Componente polar} \end{array} \right.$$

Como podemos ver son expresiones complicadas, más que en cartesianas. Sin embargo son útiles para describir órbitas, giros y otros tipos de movimiento.

## 1.11 Movimiento Circular: Descripción en polares

Si tenemos una órbita circular, y situamos el origen de coordenadas en el centro de la circunferencia descrita, tenemos que la distancia  $r$  es constante. Esto hace que la descripción del movimiento utilizando coordenadas polares se simplifique mucho, porque ahora todas las derivadas de  $r$  con el tiempo desaparecen: Entonces:

$$\vec{v} = r\omega\vec{u}_\theta \quad \begin{cases} v_r = 0 & \text{Componente radial} \\ v_\theta = v = r\omega & \text{Componente polar} \end{cases}$$

Es decir, la velocidad sólo tiene componente polar, o tangencial a la trayectoria. No hay velocidad en la dirección radial, porque el radio es constante: la partícula cuyo movimiento estamos describiendo ni se aleja del centro ni se acerca a él. Conviene recordar la expresión que relaciona la velocidad lineal  $v$  con la velocidad angular  $\omega$ :  $v = r\omega$ .

La aceleración también toma una expresión mucho más sencilla que en el caso general:

$$\vec{a} = -r\omega^2\vec{u}_r + r\alpha\vec{u}_\theta \quad \begin{cases} a_r = -r\omega^2 & \text{Componente radial} \\ a_\theta = r\alpha = \frac{d|v|}{dt} & \text{Componente polar} \end{cases}$$

Tenemos dos componentes de la aceleración: (i) la radial o *aceleración centrípeta*, dirigida hacia el centro: Esta aceleración no cambia el módulo de la velocidad sino su dirección. Según avanza la partícula, su vector velocidad va cambiando de dirección para que la trayectoria se ciña a la circunferencia de radio  $r$ . El módulo de la velocidad *sí* que puede cambiar, y esto es consecuencia de (ii) la aceleración tangencial, que tiene la orientación del vector  $\vec{u}_\theta$ .

## 1.12 Casos sencillos de Movimiento Circular

Los casos más sencillos de movimiento circular son análogos a los que hemos visto en la sección [1.8]. Tenemos el movimiento circular uniforme y el movimiento circular uniformemente acelerado.

### 1.12.1 Movimiento circular uniforme

No solo el radio ( $R$ ) es constante, también el módulo de la velocidad lineal.

$$v = cte$$

Entonces la velocidad angular también es constante:

$$\omega = \frac{v}{R} = cte$$

y la aceleración tangencial o polar es cero:

$$a_\theta = \frac{dv}{dt} = 0$$

Por lo tanto la aceleración total solo consta de componente centrípeta o radial.

$$\vec{a} = \vec{a}_r = -r\omega^2\vec{u}_r$$

Finalmente, para calcular la posición en polares, necesitamos el ángulo  $\theta$  como función del tiempo. Lo obtenemos integrando la  $\omega$ :

$$\omega = \frac{d\theta}{dt} \implies \int_{\theta_0}^{\theta(t)} d\theta = \int_{t_0}^t \omega dt \implies \boxed{\theta(t) = \theta_0 + \omega(t - t_0)}$$

El periodo o tiempo de revolución es el tiempo  $T$  que la partícula tarda en regresar a la misma posición, o, dicho de otro modo, en describir un arco de ángulo  $2\pi$ :

$$\theta(t + T) = \theta(t) + 2\pi \implies \theta(t + T) - \theta(t) = 2\pi = \omega T \implies T = \frac{2\pi}{\omega}$$

### 1.12.2 Movimiento circular uniformemente acelerado

Es decir, con aceleración angular  $\alpha = \alpha_0 = \text{cte}$ . La frecuencia angular se obtiene por simple integración:

$$\alpha = \frac{d\omega}{dt} \implies \int_{\omega_0}^{\omega(t)} d\omega = \int_{t_0}^t \alpha_0 dt \implies \boxed{\omega(t) = \omega_0 + \alpha(t - t_0)}$$

Integrando de nuevo deducimos la posición angular  $\theta$ :

$$\omega = \frac{d\theta}{dt} \implies \int_{\theta_0}^{\theta(t)} d\theta = \int_{t_0}^t \omega(t) dt \implies \dots \implies \boxed{\theta(t) = \theta_0 + \omega_0(t - t_0) + \frac{1}{2}\alpha(t - t_0)^2}$$

## 1.13 Ejercicios de Cinemática

- Una persona de altura  $l$  se encuentra situada a una distancia  $d$  de una farola de altura  $L$ . Dicha persona comienza a alejarse de la farola con una velocidad constante  $v_0$ . Determina: a) La velocidad con que la sombra de la cabeza se desplaza b) La posición en función del tiempo de la sombra de la cabeza

Datos:  $l = 1.8$  m,  $L = 6$  m,  $v_0 = 3$  m/s,  $d = 3$  m.

- La posición de una partícula viene descrita por la ecuación:

$$\vec{r} = 3t^2\vec{i} + 6t\vec{j} - 3(\vec{i} + 2\vec{j}).$$

Determina: a) Posición y velocidad de la partícula en el instante  $t = 0$ . b) La ecuación paramétrica de la trayectoria. c) Cuándo son paralelos los vectores  $\vec{v}$  y  $\vec{r}$ . d) Cuándo son perpendiculares.

- Una partícula se desplaza a lo largo de una línea recta con velocidad  $v = b/r$ , siendo  $r$  su distancia al origen de coordenadas y  $b$  una constante. En el instante  $t = 0$  s se encuentra en la posición  $r_0$ , con velocidad  $v_0$ . Determina: a) El valor de  $b$ . b) La posición de la partícula en función del tiempo. ¿Cuándo pasará por  $r = 2r_0$ ? c) La aceleración.

4. La aceleración de una partícula es:  $\vec{a} = -bv^2\vec{i}$ , con  $b$  constante. En  $t = 0$  la partícula se encuentra en el origen, con velocidad  $v = v_0\vec{i}$ . Determina la velocidad y posición de la partícula en función del tiempo.
5. Una partícula se mueve dentro del eje OX con aceleración  $a = cx^2$ . Sabemos que al pasar por el origen su velocidad era  $v_0$ . Determina la velocidad de la partícula en función de la posición.
6. Una partícula se mueve dentro de una recta según la expresión:

$$x(t) = 7t^3 - 2t^2 + 3t + 1$$

Calcular posición, velocidad y aceleración en el instante  $t = 3$  s.

7. Desde la superficie terrestre se lanza verticalmente un objeto con velocidad inicial  $v_0$ . ¿Cuál es la altura alcanzada? ¿Cuánto tiempo permanece el objeto en el aire? (Suponemos que la resistencia del aire es despreciable).
8. Una varilla de longitud  $L$  tiene su extremo  $A$  moviéndose en el eje OY con velocidad constante  $v$ . Sabemos que en  $t = 0$ , está en  $y = 0$ . El otro extremo,  $B$ , se mueve sobre el eje OX. Determinar la velocidad y aceleración del extremo  $B$ .
9. Un objeto se mueve con velocidad constante  $v_0$  entre los instantes de tiempo  $t = 0$  y  $t = t_1$ . A partir de ese instante se mueve con una velocidad:

$$v(t) = \frac{v_0 t_1^2}{t^2}$$

Calcular la distancia que recorre en el intervalo de tiempo  $0 \leq t \leq \infty$ .

10. En un tiro parabólico con velocidad inicial  $|\vec{v}| = v_0$ , ¿cuál es el ángulo de lanzamiento para el cual se obtiene la mayor altura? ¿y la máxima distancia en horizontal? ¿En qué instantes de tiempo se producen?
11. Una piedra se sumerge en el agua y se suelta sin velocidad inicial en el instante  $t = 0$ . Su aceleración es:

$$a(t) = ge^{-bt}$$

con  $b > 0$  constante. Deduce las expresiones de velocidad y posición de la piedra en función del tiempo.

12. Un ascensor sube con aceleración de  $4 \text{ m/s}^2$ . Durante el ascenso, un tornillo se desprende del techo del mismo. Calcular el tiempo que tarda en caer al suelo del ascensor, si éste mide  $3 \text{ m}$  de altura.

## 1.14 Cuestiones de Cinemática

Indicar la(s) respuesta(s) correcta(s).

1. ¿Cuándo queda caracterizada una trayectoria en cinemática?
  - Cuando conocemos su posición, velocidad y aceleración en un instante de tiempo.

- Cuando la velocidad como función de la posición es conocida.
  - Cuando la posición como función del tiempo es conocida.
  - Ninguna de las anteriores.
2. Indicar qué respuesta o respuestas pueden ser correctas en movimiento uniformemente acelerado.
- La velocidad disminuye con el tiempo.
  - La velocidad aumenta con el tiempo.
  - La velocidad permanece constante.
  - La velocidad en la dirección vertical permanece constante y en la dirección horizontal no.
  - La velocidad en las direcciones vertical y horizontal varía con el tiempo.
3. En movimiento rectilíneo uniforme:
- La velocidad inicial nunca puede ser cero.
  - La aceleración siempre es nula.
  - La velocidad no puede tener dos componentes.
4. Una partícula A tiene velocidad inicial  $v_A$  y la partícula B tiene velocidad  $v_B < v_A$ . Las dos se encuentran en el mismo punto y se mueven en la misma dirección y sentido. Ambas tienen aceleración. ¿Se vuelven a encontrar?
- No, es imposible
  - Solo si la aceleración de A es menor que la de B.
  - Solo si la aceleración de A es mayor que la de B.
  - Solo si las dos aceleraciones son iguales.
5. Una partícula tiene movimiento circular, con  $\theta = -5 + 10t$  rad. ¿Cuál es su periodo?
6. Una partícula tiene movimiento circular, con  $\theta = 4 + 2t - t^2$  rad. ¿Qué tipo de movimiento es? Determinar la aceleración y la velocidad.
7. Una partícula tiene movimiento circular, con  $\omega = 3t$ . En el instante  $t = 0$  s se encuentra en la posición  $\theta = 10$  rad. Determinar  $\theta$  como función del tiempo.

## Capítulo 2

# Dinámica

### 2.1 Objetivos

La dinámica supone ir un paso más allá de lo visto hasta ahora, la cinemática. En este capítulo no nos quedaremos en la descripción del movimiento sino que nos ocuparemos de explicarlo, estableciendo una relación causa-efecto donde la causa son las fuerzas que actúan sobre un determinado sistema y el efecto es el movimiento. Para analizar y entender las fuerzas que actúan sobre un sistema físico el punto de partida es la presentación y el estudio de las tres leyes de Newton. Además, para resolver muchos problemas, necesitaremos introducir algunas magnitudes físicas auxiliares. En este capítulo conoceremos las magnitudes físicas más utilizadas para estudiar la dinámica de una partícula, y una vez hayamos aprendido su significado físico podremos emplearlas para resolver problemas. Se estudiarán los casos donde las fuerzas son conservativas, teniendo en cuenta las implicaciones que ello conlleva, como la posibilidad de introducir la energía potencial. Finalmente, se trabajará con sistemas de más de una partícula, como por ejemplo las colisiones.

Los objetivos del capítulo son los siguientes:

- Conocer y entender las leyes de Newton
- Utilizar apropiadamente las magnitudes dinámicas
  - Momento lineal
  - Momento angular
  - Energía cinética
  - Trabajo
  - ...
- Conocer las características de las fuerzas Conservativas.
- Saber plantear problemas de sistemas de más de una partícula.
  - Colisiones
  - ...

La evaluación de este tema se llevará a cabo fundamentalmente realizando problemas.

## 2.2 Introducción

En *dinámica* nos ocupamos de las interacciones causantes del movimiento. Las fuerzas tienen en general carácter vectorial, al igual que otras magnitudes importantes en dinámica. Por tanto haremos un breve repaso de operaciones matemáticas en las que hay vectores involucrados. Todo análisis dinámico se debe realizar teniendo en cuenta las leyes de Newton, que a su vez son válidas en sistemas de referencia inerciales. A partir de ahí, veremos como algunas magnitudes auxiliares nos ayudan a caracterizar la dinámica de sistemas de una y de varias partículas.

## 2.3 Vectores y productos

Ya que vamos a trabajar con vectores recordamos:

### 2.3.1 Producto por un escalar

Si  $\vec{u}$  es un vector y  $b$  un escalar, el producto lo escribimos  $\vec{v} = b\vec{u}$ .

1. El resultado de multiplicar un vector por un escalar es un vector.
2. El resultado es paralelo al vector multiplicado.  $\vec{u} \parallel \vec{v}$ .
3. Ambos tienen el mismo sentido si  $b > 0$ , y sentidos opuestos si  $b < 0$ .
4. El módulo del nuevo vector  $\vec{v}$  es el producto del módulo del vector que teníamos  $\vec{u}$  por el valor absoluto del escalar  $b$ , es decir:  $|\vec{v}| = b|\vec{u}|$ .

### 2.3.2 Producto escalar

El producto escalar entre dos vectores  $\vec{A}$  y  $\vec{B}$  que forman un ángulo  $\alpha$  entre ellos es:

$$\vec{A} \cdot \vec{B} = |\vec{A}||\vec{B}| \cos \alpha$$

Por tanto,

1. Si  $\vec{A}$  y  $\vec{B}$  son perpendiculares,  $\vec{A} \cdot \vec{B} = 0$ .
2. Si  $\vec{A}$  y  $\vec{B}$  son paralelos,  $\vec{A} \cdot \vec{B} = |\vec{A}| \cdot |\vec{B}|$ .
3. El producto escalar de un vector por sí mismo es  $\vec{A} \cdot \vec{A} = |\vec{A}|^2$ .
4. El producto escalar es conmutativo:  $\vec{A} \cdot \vec{B} = \vec{B} \cdot \vec{A}$ .

Si descomponemos los vectores en coordenadas cartesianas:

$$\vec{A} = A_x \vec{i} + A_y \vec{j} + A_z \vec{k},$$

$$\vec{B} = B_x \vec{i} + B_y \vec{j} + B_z \vec{k},$$

entonces, por las características de los vectores unitarios, tenemos que:

$$\vec{A} \cdot \vec{B} = A_x B_x + A_y B_y + A_z B_z$$



### 2.3.3 Producto vectorial

Es otro tipo de producto entre vectores. Mientras que en el producto escalar se obtiene como resultado un escalar, en el producto vectorial el resultado es un vector. La notación que se usa es un aspa ( $\times$ ). Multiplicamos los vectores  $\vec{A}$  y  $\vec{B}$  que teníamos antes.

$$\begin{aligned}\vec{A} \times \vec{B} &= (A_x, A_y, A_z) \times (B_x, B_y, B_z) = \\ &= (A_y B_z - A_z B_y)\vec{i} + (A_z B_x - A_x B_z)\vec{j} + (A_x B_y - A_y B_x)\vec{k}\end{aligned}$$

Para calcularlo podemos utilizar las reglas del cálculo de determinantes:

$$\vec{A} \times \vec{B} = \begin{vmatrix} \vec{i} & \vec{j} & \vec{k} \\ A_x & A_y & A_z \\ B_x & B_y & B_z \end{vmatrix}$$

Entonces :

- El resultado es perpendicular a  $\vec{A}$  y a  $\vec{B}$ .
- Si  $\vec{A}$  y  $\vec{B}$  son paralelos, el producto vectorial es cero.
- El módulo del producto es  $|\vec{A} \times \vec{B}| = |\vec{A}||\vec{B}|\sin\theta$ , con  $\theta$  el ángulo entre los vectores  $\vec{A}$  y  $\vec{B}$ .
- $\vec{A} \times \vec{B} = -\vec{B} \times \vec{A}$ .

## 2.4 Las leyes de Newton

Antes de empezar definiremos lo que es un sistema inercial:

**Sistema Inercial:** Si sobre un objeto no actúa fuerza alguna, cualquier sistema de referencia respecto al cual el objeto se mueve sin aceleración es un Sistema Inercial. Las leyes de Newton se refieren a sistemas de referencia inerciales.

1. Primera ley: Toda partícula libre se mueve con  $\vec{v} = c\vec{t}e$ .
  - Una partícula libre es aquella no sometida a ninguna fuerza.
  - Esta ley se suele denominar *Ley de Inercia*.
2. Segunda ley: Si una partícula de masa  $m$  se mueve con aceleración  $\vec{a}$ , es porque sobre ella actúa una fuerza tal que:

$$\boxed{\vec{F} = m\vec{a}}$$

- La fuerza la medimos en Newton (N) en el Sistema Internacional.

$$\text{N} = \text{Kg} \cdot \text{m/s}^2$$

- Esta ley supone una definición de fuerza.

- *Principio de superposición*: Si sobre una partícula con masa  $m$  actúan varias fuerzas  $\vec{F}_1, \vec{F}_2, \dots, \vec{F}_n$ , la aceleración resultante con que se mueve es  $\vec{a} = \vec{a}_1 + \vec{a}_2 + \dots + \vec{a}_n$ , donde  $\vec{a}_i$  es la aceleración que  $m$  tendría si solo actuase la fuerza  $\vec{F}_i$ . La fuerza neta resultante es la suma vectorial de cada una de las fuerzas:

$$\vec{F} = m\vec{a} = m(\vec{a}_1 + \vec{a}_2 + \dots + \vec{a}_n) = \vec{F}_1 + \vec{F}_2 + \dots + \vec{F}_n = \sum_{i=1}^n \vec{F}_i$$

3. Tercera ley: Si un cuerpo  $A$  ejerce una fuerza  $\vec{F}_{AB}$  sobre un cuerpo  $B$ , entonces  $B$  ejerce sobre  $A$  una fuerza  $\vec{F}_{BA}$  de módulo y dirección iguales a la anterior pero de sentido contrario.

$$\vec{F}_{AB} = -\vec{F}_{BA}$$

- Se la denomina *Ley de Acción-Reacción*.

Existen 4 interacciones fundamentales, o formas básicas de interacción entre dos partículas

- Gravitatoria. Debida a las masas de las partículas.
- Electromagnética. Debida a las cargas eléctricas.
- Nuclear fuerte. Cohesión de los núcleos atómicos...
- Nuclear débil. Estabilidad nuclear, radiactividad...

Toda interacción real se reduce a combinaciones de éstas. Sin embargo, en ocasiones es muy complicado quedarse con estas cuatro leyes y se recurre a descripciones fenomenológicas:

- Gravedad en la superficie terrestre:

$$\vec{F} = m\vec{g}$$

- Fuerza normal:

$$\vec{F} = \vec{N}$$

- Ley de Hooke (en 1D):

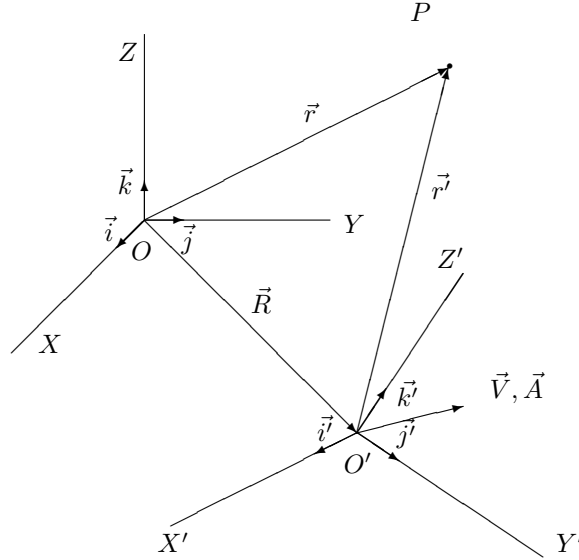
$$F = -kx$$

- Tensiones transmitidas por cuerdas:

$$\vec{F} = \vec{T}$$

- Rozamientos estático y cinético:

$$|\vec{F}| \leq \mu_e |\vec{N}|, \quad |\vec{F}| = \mu_c |\vec{N}|$$



## 2.5 Sistemas de referencia Inerciales y No Inerciales

Supongamos que tenemos dos sistemas de referencia, uno de ellos inercial con respecto a la posición de la partícula  $P$  (sistema  $O$ ) y otro no inercial, (sistema  $O'$ ), que se encuentra en la posición  $\vec{R}(t)$  con respecto a  $O$ , y se mueve con velocidad  $\vec{V}(t)$  y aceleración  $\vec{A}(t)$ .

La posición de la partícula  $P$  es, para  $O$ ,  $\vec{r}(t)$ , mientras que para  $O'$ , la posición de  $P$  es  $\vec{r}'(t)$ :

$$O : \vec{r}(t) = x(t)\vec{i} + y(t)\vec{j} + z(t)\vec{k}$$

$$\vec{v}(t) = \frac{dx}{dt}\vec{i} + \frac{dy}{dt}\vec{j} + \frac{dz}{dt}\vec{k}$$

$$\vec{a}(t) = \frac{d^2x}{dt^2}\vec{i} + \frac{d^2y}{dt^2}\vec{j} + \frac{d^2z}{dt^2}\vec{k}$$

$$O' : \vec{r}'(t) = x'(t)\vec{i}' + y'(t)\vec{j}' + z'(t)\vec{k}'$$

$$\vec{v}'(t) = \frac{dx'}{dt}\vec{i}' + \frac{dy'}{dt}\vec{j}' + \frac{dz'}{dt}\vec{k}'$$

$$\vec{a}'(t) = \frac{d^2x'}{dt^2}\vec{i}' + \frac{d^2y'}{dt^2}\vec{j}' + \frac{d^2z'}{dt^2}\vec{k}'$$

¿Cómo se relacionan  $\vec{r}$  y  $\vec{r}'$ ? De la figura anterior deducimos que:

$$\vec{r} = \vec{R} + \vec{r}'$$

Para ver cómo se relacionan las respectivas velocidades que mide cada observador, el observador ( $O$ ) deriva la expresión anterior:

$$\vec{v} = \frac{d\vec{r}}{dt} = \frac{d\vec{R}}{dt} + \frac{d}{dt} (x'\vec{i}' + y'\vec{j}' + z'\vec{k}') = \vec{V} + \vec{v}'$$

Al realizar esta operación hay que tener en cuenta que los vectores unitarios  $\vec{i}'$ ,  $\vec{j}'$ ,  $\vec{k}'$  son fijos para ambos observadores (y por tanto sus derivadas son cero), porque aunque ( $O'$ ) se mueve con respecto a ( $O$ ), sus unitarios siempre tienen un mismo módulo y señalan en las mismas direcciones. Otra cosa sería si hubiese una rotación de un observador con respecto del otro: entonces los unitarios de ( $O'$ ) *sí* que cambiarían de orientación para ( $O$ ) y sus derivadas serían más complicadas.

De nuevo, ( $O$ ) deriva para relacionar las aceleraciones que cada uno mide:

$$\vec{a} = \frac{d^2\vec{r}}{dt^2} = \frac{d^2\vec{R}}{dt^2} + \frac{d^2}{dt^2} (x'\vec{i}' + y'\vec{j}' + z'\vec{k}') = \vec{A} + \vec{a}'$$

Es decir, al pasar de un sistema de referencia ( $O$ ) a otro ( $O'$ ), y si el movimiento de uno con respecto del otro es de traslación (y no rotación) tal y como se ha descrito en la figura anterior, el cambio en los vectores  $\vec{r}$ ,  $\vec{v}$  y  $\vec{a}$  es tal que:

$$\boxed{\vec{r} = \vec{R} + \vec{r}'}$$

$$\boxed{\vec{v} = \vec{V} + \vec{v}'}$$

$$\boxed{\vec{a} = \vec{A} + \vec{a}'}$$

Esto se ha de tener en cuenta a la hora de aplicar las leyes de Newton.

## 2.6 Dinámica de una partícula

El estado dinámico de una partícula viene dado por una serie de datos: masa, posición y velocidad en cada instante de tiempo respecto a un  $O$ .

Si conocemos la masa de una partícula, y esta es constante, el estado dinámico de una partícula se determina mediante la 2ª Ley de Newton, que nos permite, a cada instante de tiempo, conocer como cambian  $\vec{r}(t)$ ,  $\vec{v}(t) \rightarrow \vec{r}(t+dt)$ ,  $\vec{v}(t+dt)$ .

$$\vec{r}(t+dt) = \vec{r}(t) + d\vec{r} = \vec{r}(t) + \vec{v}(t)dt$$

$$\vec{v}(t+dt) = \vec{v}(t) + d\vec{v} = \vec{v}(t) + \vec{a}(t)dt = \vec{v}(t) + \frac{\vec{F}(t)}{m}dt$$

Así que si conocemos  $\vec{F}(t)$ , utilizando la 2ª Ley y lo que sabemos de cinemática, podemos conocer punto a punto el estado dinámico. Pero lo que hemos hecho ha sido obtener una ley diferencial, que nos permite pasar de  $t$  a  $t+dt$ . Si lo que queremos es tener una expresión analítica de  $\vec{r}(t)$  y  $\vec{v}(t)$ , entonces necesitamos integrar las ecuaciones anteriores utilizando las condiciones iniciales  $\vec{r}_0$  y  $\vec{v}_0$ :

$$\vec{v}(t) = \vec{v}_0 + \frac{1}{m} \int_{t_0}^t \vec{F}(t)dt$$

$$\vec{r}(t) = \vec{r}_0 + \int_{t_0}^t \vec{v}(t) dt$$

Como este cálculo es en muchas ocasiones inviable analíticamente, es útil introducir otras magnitudes dinámicas que nos permitan obtener información del sistema y simplificar los cálculos.

### 2.6.1 Momento lineal

Se define como:

$$\boxed{\vec{p} = m\vec{v}}$$

Se mide en  $Kg \cdot m/s$ .

**Relación con la 2ª Ley** : En casos de masa constante es muy útil, puesto que se relaciona fácilmente con la fuerza total  $\vec{F}_T$  que actúa sobre un sistema:

$$\vec{F}_T = m\vec{a} = m \frac{d\vec{v}}{dt} = \frac{d}{dt}(m\vec{v}) = \frac{d\vec{p}}{dt}$$

**Relación con la 1ª Ley** : Cuando no hay interacción ninguna,  $\vec{F}_T = \vec{0}$ , gracias a la ecuación anterior deducimos que:

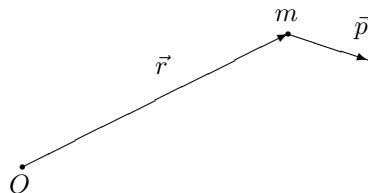
$$\vec{F}_T = \vec{0} = \frac{d\vec{p}}{dt} \implies \vec{p} = \text{cte}$$

### 2.6.2 Momento angular

El momento angular de una partícula  $\vec{J}$ , definido respecto a un origen de coordenadas  $O$ , es:

$$\boxed{\vec{J}_O = \vec{r} \times \vec{p}}$$

donde  $O$  es el origen desde donde se mide  $\vec{r}$ . Al cambiar de origen, cambia el resultado: desde  $O$  mido  $\vec{J}_O$ , y desde  $O'$  mido  $\vec{J}_{O'}$ , pero  $\vec{J}_O \neq \vec{J}_{O'}$ . Esto sucede aunque  $O'$  esté en reposo respecto a  $O$ .



El momento angular es una magnitud útil porque en algunos casos se conserva. Vamos a ver cómo es su derivada:

$$\vec{J}_0 = \vec{r} \times \vec{p} \implies \frac{d\vec{J}_0}{dt} = \frac{d\vec{r}}{dt} \times \vec{p} + \vec{r} \times \frac{d\vec{p}}{dt}$$

Calculamos por separado los dos sumandos que nos han salido:

$$\left. \begin{aligned} \frac{d\vec{r}}{dt} \times \vec{p} &= \vec{v} \times m\vec{v} = \vec{0} \\ \vec{r} \times \frac{d\vec{p}}{dt} &= \vec{r} \times \vec{F} \end{aligned} \right\} \implies \frac{d\vec{J}_O}{dt} = \vec{r} \times \vec{F}.$$

Entonces, si encontramos un sistema de referencia  $O$  en el que el vector posición  $\vec{r}$  sea paralelo al vector fuerza  $\vec{F}$ , entonces  $\frac{d\vec{J}_O}{dt} = 0$ , por las propiedades del producto vectorial, y se conservará el momento angular. Un ejemplo de esta situación lo constituye en movimiento circular uniforme.

Se mide en  $\text{Kg} \cdot \text{m}^2/\text{s}$ .

### 2.6.3 Momento de una fuerza

El momento de una fuerza  $\vec{N}_O$ , definido respecto a un origen  $O$  desde el que medimos la posición  $\vec{R}$  del punto donde se aplica la fuerza  $\vec{F}$ , se define:

$$\vec{N}_O = \vec{r} \times \vec{F}$$

El momento de una fuerza nos da cuenta de cómo de eficaz es la fuerza  $\vec{F}$  a la hora de rotar un cuerpo con respecto a un eje. El ejemplo tradicional es el de una puerta. Aplicando la misma fuerza justo al lado de las bisagras no obtenemos el mismo resultado que si lo hacemos en el extremo opuesto de la puerta, junto al pomo.

El momento de una fuerza es importante en estática. Para que un sistema esté en equilibrio es necesario que se cumplan dos condiciones, que el sumatorio (o la resultante) de todas las fuerzas que actúan sobre el sistema sea cero, y que el sumatorio (o la resultante) de sus momentos también sea cero.

### 2.6.4 Impulso de una fuerza

El impulso  $\vec{I}$  de una fuerza  $\vec{F}$  que actúa entre los instantes de tiempo  $t_1$  y  $t_2 > t_1$ , se define:

$$\vec{I} = \int_{t_1}^{t_2} \vec{F}(t) dt$$

Como se vio con anterioridad,  $\vec{F} = \frac{d\vec{p}}{dt} \implies \vec{F} dt = d\vec{p} \implies$

$$\vec{I} = \int_{t_1}^{t_2} d\vec{p} = \vec{p}(t_2) - \vec{p}(t_1) = \Delta\vec{p}$$

es decir,  $\vec{I}$  nos da información que depende de los estados inicial (en  $t = t_1$ ) y final (en  $t = t_2$ ).

Es útil porque nos permite conocer cuál ha sido la fuerza media que se ha estado aplicando entre  $t_1$  y  $t_2$ ,

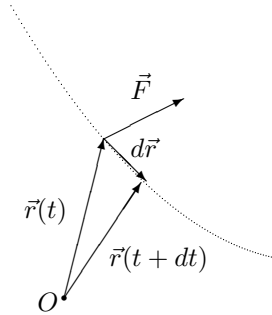
$$\langle \vec{F} \rangle = \frac{\vec{I}}{t_2 - t_1}$$

También, en caso de ser nulo, nos permite afirmar que  $\vec{p}(t_2) = \vec{p}(t_1)$ .

### 2.6.5 Trabajo

El trabajo diferencial realizado por una fuerza  $\vec{F}$  que actúa sobre una partícula que se desplaza una distancia  $d\vec{r}$  se define así:

$$dW = \vec{F} \cdot d\vec{r} = F dr \cos \theta$$



En una trayectoria que va desde una posición inicial  $\vec{r}_1$  hasta una posición final  $\vec{r}_2$ , integramos la expresión anterior para conocer el trabajo total realizado:

$$W = \int_{\vec{r}_1}^{\vec{r}_2} \vec{F} \cdot d\vec{r}$$

Si la fuerza es constante se puede sacar de la integral:

$$W = \vec{F} \cdot \int_{\vec{r}_1}^{\vec{r}_2} d\vec{r} = \vec{F} \cdot (\Delta\vec{r})$$

Las unidades de medida del trabajo en SI son los Julios:  $1J = 1N \times m$ . Un Julio equivale a un Newton de fuerza por metro. Por la definición de  $N$  deducimos que  $1 J = 1 Kg m^2/s^2$ .

### 2.6.6 Potencia

La potencia  $P$  se define como el ritmo con el que una fuerza  $\vec{F}$  realiza un trabajo, es decir, como trabajo  $W$  por unidad de tiempo:

$$P = \frac{dW}{dt}$$

como  $dW = \vec{F} \cdot d\vec{r} = \vec{F} \cdot \vec{v}dt$ , sustituimos en la expresión anterior:

$$P = \vec{F} \cdot \vec{v}$$

Esta es la potencia instantánea. Pero si en una trayectoria la fuerza, o la velocidad, o el ángulo entre fuerza y velocidad cambia, entonces la potencia no

tiene un valor constante, con lo que a menudo se recurre a la potencia media. Entre los instantes de tiempo  $t_1$  y  $t_2$ , la potencia media  $\langle P \rangle$  se define como:

$$\langle P \rangle = \frac{1}{\Delta t} \int_{t_1}^{t_2} P(t) dt = \frac{1}{\Delta t} \int_{t_1}^{t_2} dW = \frac{W}{\Delta t}$$

La potencia se mide en vatios:  $1W = 1J/s$ . Un vatio es un trabajo de un Julio realizado en un segundo.

### 2.6.7 Energía cinética

La energía cinética de una partícula que tiene masa  $m$  y se mueve con velocidad  $\vec{v}$ , se define:

$$E_c = \frac{1}{2}mv^2 = \frac{p^2}{2m}$$

Las unidades son:  $Kg \, m^2/s^2 = J$  los Julios. Misma unidad que el trabajo. Es también habitual utilizar la letra  $T$  para referirse a la energía cinética.

#### Teorema Trabajo-Energía Cinética

Recordemos la expresión del trabajo realizado por una fuerza que actúa sobre una partícula entre sus posiciones  $\vec{r}_1$  y  $\vec{r}_2$ :

$$W = \int_{\vec{r}_1}^{\vec{r}_2} \vec{F} \cdot d\vec{r}$$

Como  $d\vec{r} = \vec{v}dt$ , y  $\vec{F} = m\vec{a} = m\frac{d\vec{v}}{dt}$ , escribimos:

$$W = \int_{\vec{r}_1}^{\vec{r}_2} \vec{F} \cdot d\vec{r} = \int_{\vec{r}_1}^{\vec{r}_2} m \frac{d\vec{v}}{dt} \cdot \vec{v} dt$$

Ahora nos aprovecharemos de la relación diferencial:

$$\frac{d(\vec{v} \cdot \vec{v})}{dt} = 2\vec{v} \cdot \frac{d\vec{v}}{dt}$$

y por lo tanto el trabajo nos queda:

$$W = \int_{\vec{r}_1}^{\vec{r}_2} \frac{m}{2} d(\vec{v}^2) = \frac{1}{2}m(v_2^2 - v_1^2) = E_{c2} - E_{c1} = \Delta E_c$$

$$W = \Delta E_c$$

El cambio de energía cinética en una partícula durante su trayectoria es igual al trabajo que las fuerzas que actúan sobre ella han realizado a lo largo de dicha trayectoria.

Las fuerzas no siempre realizan trabajo. El ejemplo típico es el de movimiento circular uniforme, con aceleración centrípeta, dirigida hacia el centro, y por lo tanto la fuerza también. El diferencial desplazamiento es siempre perpendicular a la fuerza centrípeta, por tanto:  $\vec{F} \perp d\vec{r} \implies W = 0$ .



### 2.6.8 Fuerzas Conservativas

Como hemos visto antes, el trabajo total realizado por una fuerza entre dos puntos  $\vec{r}_1$  y  $\vec{r}_2$  es una integral. Y por lo tanto, en general, depende de cómo se haga ese camino desde la posición  $\vec{r}_1$  hasta la  $\vec{r}_2$ . Pero algunas fuerzas, llamadas conservativas, se caracterizan por realizar un trabajo que solo depende de las posiciones inicial y final, y no de *lo que pase* durante el camino. Dicho de otro modo, son fuerzas que, si actúan durante una trayectoria cerrada, donde el punto final y el inicial coinciden, realizan un trabajo total cero:

$$W = \oint_c \vec{F}_c \cdot d\vec{r} = 0$$

para todo camino cerrado  $C$ .

Como se ha dicho antes, el trabajo en una trayectoria cualquiera, entre  $\vec{r}_1$  y  $\vec{r}_2$  es:

$$W(\vec{r}_1 \rightarrow \vec{r}_2) = \int_{\vec{r}_1}^{\vec{r}_2} \vec{F} \cdot d\vec{r}$$

y si la fuerza es conservativa, esta cantidad solo depende de  $\vec{r}_1$  y  $\vec{r}_2 \implies$  si escogemos un punto de referencia  $\vec{r}_{\text{ref}}$ , el trabajo que una fuerza realiza para trasladar una partícula desde un  $\vec{r}$  general hasta la referencia escogida es una cantidad que solo depende de  $\vec{r}$ . Esto podemos decirlo porque trabajamos con fuerzas conservativas.

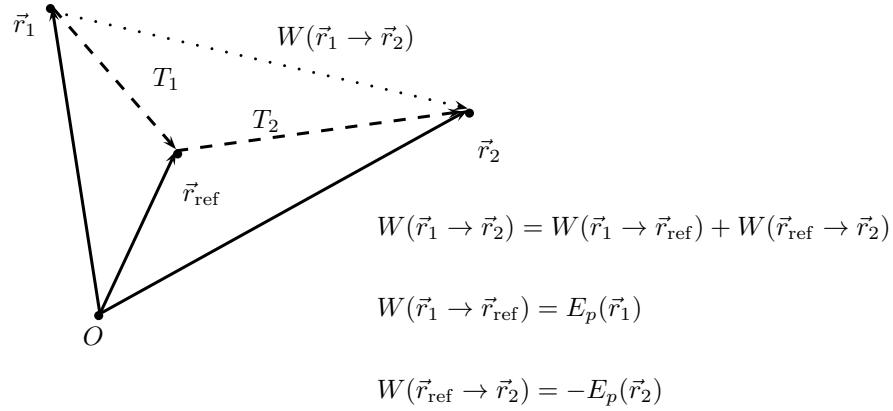
### 2.6.9 Energía Potencial

Entonces, como el trabajo para traer nuestra partícula hasta la referencia  $\vec{r}_{\text{ref}}$  solo depende de  $\vec{r}$ , podemos definir la energía potencial, una función escalar que depende de  $\vec{r}$  y que equivale a esa cantidad de trabajo realizado:

$$E_p(\vec{r}) = W(\vec{r} \rightarrow \vec{r}_{\text{ref}}) = \int_{\vec{r}}^{\vec{r}_{\text{ref}}} \vec{F}(\vec{r}') \cdot d\vec{r}' = - \int_{\vec{r}_{\text{ref}}}^{\vec{r}} \vec{F}(\vec{r}') \cdot d\vec{r}'$$

Normalmente lo más cómodo es asignarle a la  $\vec{r}_{\text{ref}}$  una energía potencial cero. Entonces, la energía potencial en  $\vec{r}$ , es la cantidad de trabajo que haría falta para llevar una partícula desde  $\vec{r}$  hasta  $\vec{r}_{\text{ref}}$ , o dicho de otro modo, la cantidad de trabajo, con signo cambiado, que se habría tenido que realizar para llevar la partícula desde  $\vec{r}_{\text{ref}}$  hasta  $\vec{r}$ .

Al llevar una partícula de una posición  $\vec{r}_1$  hasta  $\vec{r}_2$ , y como estamos con fuerzas conservativas, se hace el mismo trabajo independientemente de la ruta seguida: El trabajo total será el mismo si seguimos la ruta de puntos o si vamos por la línea discontinua, es decir, por el tramo  $T_1$  y luego por el tramo  $T_2$ .



Entonces podemos seguir la ruta propuesta en el esquema superior: para ir de  $\vec{r}_1$  a  $\vec{r}_2$  podemos pasar por  $\vec{r}_{\text{ref}}$ . El trabajo realizado es

$$W(\vec{r}_1 \rightarrow \vec{r}_2) = W(\vec{r}_1 \rightarrow \vec{r}_{\text{ref}}) + W(\vec{r}_{\text{ref}} \rightarrow \vec{r}_2)$$

De estos dos sumandos, el primero es, por definición,  $E_p(\vec{r}_1)$ , y el segundo es  $-E_p(\vec{r}_2)$ . Entonces, la cantidad de trabajo que se ha realizado para ir desde  $\vec{r}_1$  hasta  $\vec{r}_2$  es:

$$W(\vec{r}_1 \rightarrow \vec{r}_2) = E_p(\vec{r}_1) - E_p(\vec{r}_2) = -\Delta E_p.$$

Es decir, tal y como hemos definido la  $E_p$ , podemos afirmar que, con fuerzas conservativas, el cambio de energía potencial al desplazar una partícula de una posición a otra es igual al trabajo realizado por dicha fuerza con signo negativo.

$$\boxed{W = -\Delta E_p}$$

Para la energía potencial a veces se utiliza la notación  $U$ .

### 2.6.10 Energía Mecánica

Recordatorio:

$$\left. \begin{array}{l} \text{Con cualquier } \vec{F}: \quad W = \Delta E_c \\ \text{Con } \vec{F} \text{ conservativa: } W = -\Delta E_p \end{array} \right\} \implies \text{Con } \vec{F} \text{ conservativa: } \Delta E_c = -\Delta E_p \implies$$

$$\Delta(E_c + E_p) = 0$$

Es decir, la cantidad  $E_c + E_p$  se mantiene constante con Fuerzas conservativas. Esta cantidad se denomina *Energía Mecánica*.

$$\boxed{E = E_c + E_p}$$

#### Utilidades de la Energía Mecánica

La energía proporciona información importante: Si conocemos el valor de la energía mecánica en un punto concreto  $\vec{r}_0$ , y estamos en un sistema conservativo, ya sabemos que esa cantidad se va a conservar: la energía mecánica total no cambia, y vale lo mismo en cada posición  $\vec{r}$ :  $E(\vec{r}_0) = E(\vec{r})$ .

Si además conocemos la expresión de la energía potencial  $E_p(\vec{r})$ , y las condiciones iniciales, podemos determinar el movimiento:

$$E_p(\vec{r}) + \frac{1}{2}mv^2 = E \implies E_p(\vec{r}) + \frac{1}{2}m \left( \frac{d\vec{r}}{dt} \right)^2 = E \implies \left( \frac{d\vec{r}}{dt} \right)^2 = \frac{2}{m} (E - E_p(\vec{r})) \implies$$

$$dt = \frac{d\vec{r}}{\sqrt{\frac{2}{m} (E - E_p(\vec{r}))}} \implies t - t_0 = \int_{\vec{r}_0}^{\vec{r}(t)} \frac{d\vec{r}}{\sqrt{\frac{2}{m} (E - E_p(\vec{r}))}}$$

de esta última expresión podemos despejar  $\vec{r}(t)$ .

## 2.7 Ejemplos de Fuerzas Conservativas

### 2.7.1 El caso Gravitatorio

Una partícula de masa  $m_1$  situada en la posición  $\vec{r}_1$  ejerce sobre una masa  $m_2$  ubicada en la posición  $\vec{r}_2$ , una fuerza :

$$\vec{F}_{12} = -\frac{Gm_1m_2}{r_{12}^3}\vec{r}_{12}$$

Donde el vector  $\vec{r}_{12}$  es el que va desde la partícula 1 hasta la partícula 2:

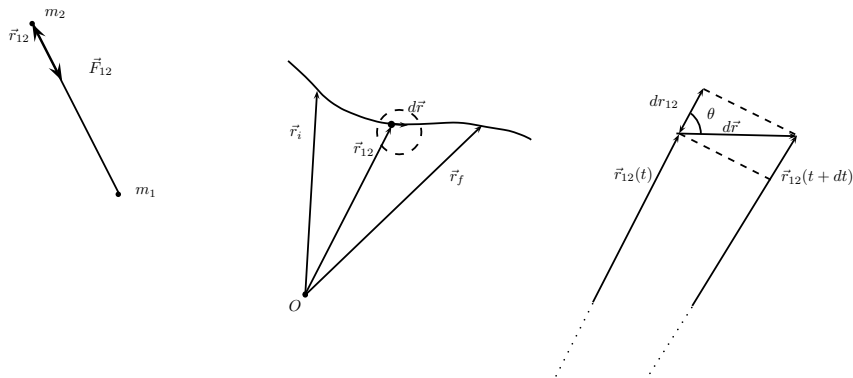
$$\vec{r}_{12} = \vec{r}_2 - \vec{r}_1$$

por otro lado  $G$  es la *constante de gravitación universal*, y vale  $G = 6,67 \cdot 10^{-11} \text{ Nm}^2/\text{Kg}^2$ .

### 2.7.2 Energía potencial gravitatoria

Antes de establecer una expresión para la energía potencial gravitatoria debemos comprobar si la fuerza de la gravedad es conservativa. Es decir, debemos comprobar si el trabajo que realiza la fuerza  $\vec{F}_{12}$  sobre la masa  $m_2$  cuando esta se desplaza desde una posición  $\vec{r}_i$  inicial a una final  $\vec{r}_f$  depende únicamente de dichas posiciones, o si por el contrario depende también del camino recorrido.

$$W(\vec{r}_i \rightarrow \vec{r}_f) = \int_{\vec{r}_i}^{\vec{r}_f} \vec{F}_{12} \cdot d\vec{r} = -Gm_1m_2 \int_{\vec{r}_i}^{\vec{r}_f} \frac{\vec{r}_{12} \cdot d\vec{r}}{r_{12}^3}$$



del esquema superior podemos deducir que:

$$\vec{r}_{12} \cdot d\vec{r} = |\vec{r}_{12}| |d\vec{r}| \cos \theta = |\vec{r}_{12}| d|\vec{r}_{12}| = r_{12} dr_{12}$$

porque  $|d\vec{r}| \cos \theta$  es la proyección del vector  $d\vec{r}$  sobre  $\vec{r}_{12}$ , y coincide con la variación del módulo de éste último. Obsérvese que  $|\vec{r}_{12}(t+dt)| = |\vec{r}_{12}(t)| + dr_{12}$ . entonces, el trabajo realizado lo escribimos como:

$$W(\vec{r}_i \rightarrow \vec{r}_f) = -Gm_1m_2 \int_{\vec{r}_i}^{\vec{r}_f} \frac{dr_{12}}{r_{12}^2} = +Gm_1m_2 \left[ \frac{1}{r_{12}} \right]_{r_i}^{r_f} = Gm_1m_2 \left( \frac{1}{r_f} - \frac{1}{r_i} \right)$$

es decir, el trabajo que realiza la fuerza de la gravedad cuando la partícula va desde  $\vec{r}_i$  hasta  $\vec{r}_f$  no depende del camino seguido sino de dichas posiciones inicial y final. Por lo tanto es una fuerza conservativa y podemos definir la energía potencial gravitatoria de un punto  $\vec{r}$  general a partir de un  $\vec{r}_{\text{ref}}$  que escojamos:

$$E_p(\vec{r}) = - \int_{\vec{r}_{\text{ref}}}^{\vec{r}} \vec{F}_{12} \cdot d\vec{r} = -Gm_1m_2 \left( \frac{1}{r} - \frac{1}{r_{\text{ref}}} \right) = E_p(r)$$

Por comodidad aquí conviene tomar la referencia  $r_{\text{ref}} = \infty$ , así:

$$E_p(r) = -G \frac{m_1m_2}{r}$$

Los cuerpos de masa  $M$  y simetría esférica generan, fuera de la esfera de radio  $R$ , un campo gravitatorio igual al que existiría si en su centro hubiese una partícula puntual de la misma masa.

Cerca de la superficie, es decir, a altura  $h$  (distancia del centro  $r = R + h$ ) pequeña ( $r = R + h \simeq R$ ), la atracción sobre una masa  $m$  es:

$$\vec{F} = -G \frac{Mm}{R^2} \vec{u}_r = m\vec{g}$$

Así definimos la  $\vec{g}$ , aceleración del campo gravitatorio, aproximadamente constante si nos movemos en distancias a la superficie que sean muy pequeñas comparada con el radio terrestre.

La fuerza del peso es  $\vec{F} = m\vec{g} = -mg\vec{k}$ . Entonces, para estos casos en que tenemos un campo uniforme podemos volver a calcular la energía potencial gravitatoria:

$$E_p(\vec{r}) = - \int_{\vec{r}_{\text{ref}}}^{\vec{r}} \vec{F} \cdot d\vec{r} = -mg \int_{\vec{r}_{\text{ref}}}^{\vec{r}} (-\vec{k}) \cdot d\vec{r} = mg \int_{\vec{r}_{\text{ref}}}^{\vec{r}} dz = mg(z - z_{\text{ref}}) = E_p(z)$$

Si escribimos la altura respecto a una referencia como  $h = z - z_{\text{ref}}$  tenemos la típica expresión:

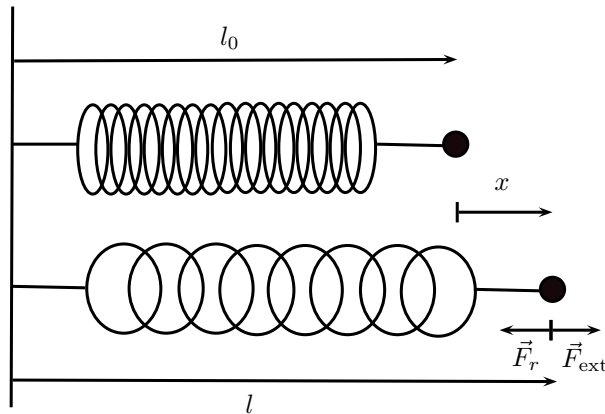
$$\boxed{E_p = mgh}$$

Hay que recordar que esta expresión vale solo para campos gravitatorios creados por una masa sobre volumen esférico en las proximidades de su superficie, como por ejemplo en las inmediaciones de la superficie del planeta Tierra, donde  $g = 9.8 \text{ m/s}^2$ .

### 2.7.3 El caso elástico

En un resorte ideal la fuerza recuperadora es proporcional a la deformación. Supongamos que el muelle, cuando no está deformado, tiene una longitud natural  $l_0$  y mediante la acción de una fuerza externa  $\vec{F}_{\text{ext}}$  lo deformamos una distancia  $x$  hasta tener una longitud  $l = l_0 + x$ . Entonces, según la *Ley de Hooke*, aparece una fuerza  $\vec{F}_r$  en el muelle tal que:

$$\vec{F}_{\text{ext}} = -\vec{F}_r = k(l - l_0)\vec{i} = -kx$$



donde  $k$  es una constante.

Conviene recordar que la fuerza recuperadora siempre es en el sentido opuesto a la deformación. Si la deformación es positiva, la fuerza es negativa y viceversa.

Vamos a comprobar a continuación si la fuerza recuperadora es conservativa.

El trabajo realizado al arrastrar una partícula sujeta al extremo de un muelle desde  $x_1$  hasta  $x_2$  es:

$$W(x_1 \rightarrow x_2) = \int_{x_1}^{x_2} \vec{F}_r \cdot d\vec{x} = \int_{x_1}^{x_2} (-kx\vec{i}) \cdot (dx\vec{i}) = -k \int_{x_1}^{x_2} x dx = -\frac{1}{2}k(x_2^2 - x_1^2)$$

El resultado como vemos es una función que depende de los extremos inicial y final del trayecto seguido, pero no del camino. Por tanto es una fuerza conservativa y podemos definir una energía potencial elástica.

$$E_p(x) = - \int_{x_{\text{ref}}}^x F_r dx = \frac{1}{2}(x^2 - x_{\text{ref}}^2)$$

Se escoge como referencia el origen de coordenadas,  $x_{\text{ref}} = 0$ , de manera que  $E_p(x) = \frac{1}{2}kx^2$ , con  $x = l - l_0$ .

Entonces, podemos afirmar que si sobre una partícula de masa  $m$  actúa únicamente una fuerza elástica de Hooke, su energía mecánica se conserva:

$$E = \frac{1}{2}mv^2 + \frac{1}{2}kx^2 = \text{cte}$$

## 2.8 Dinámica de Sistemas de Partículas

Llegados a este punto pasaremos a considerar sistemas de partículas: conjuntos de partículas en el estudio, que interaccionan entre sí y con otros sistemas.

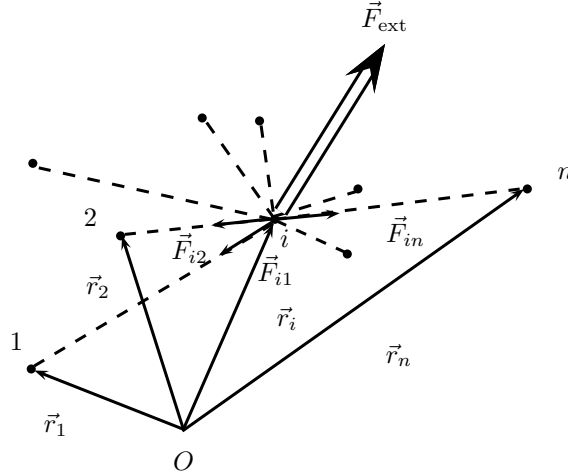
Antes de nada definimos el centro de masas. Si hay  $n$  partículas, cada una de ellas con una masa  $m_i$  y posición  $\vec{r}_i$ , entonces, la masa total es:

$$M = \sum_{i=1,n} m_i$$

y el centro de masas  $\vec{R}$ :

$$M\vec{R} = \sum_{i=1,n} m_i\vec{r}_i$$

Más tarde nos será útil para entender las interacciones presentes en el sistema. Veamos como son dichas interacciones.



En el esquema hay dibujadas  $n$  partículas. La  $i$ -ésima, o partícula  $i$ , interacciona con todas y cada una de las demás partículas que conforman el sistema (Fuerzas Internas) y por otro lado está sometida a una Fuerza Externa o resultante de las fuerzas externas  $\vec{F}_{ext,i}$ .

Obsérvese que las fuerzas internas las hemos denotado de la siguiente manera: La fuerza que actúa sobre  $i$  como consecuencia de su interacción con la partícula 2 es  $\vec{F}_{i2}$  etc...

Entonces la segunda ley de Newton, para esta partícula la escribiríamos:

$$m_i \vec{a}_i = m_i \frac{d^2 \vec{r}_i}{dt^2} = \sum_{j=1,n}^{j \neq i} \vec{F}_{ij} + \vec{F}_{ext,i}$$

Ahora aplicamos la segunda ley al sistema de partículas en su conjunto, es decir, sumamos la expresión anterior para las  $n$  partículas. Pero antes podemos tener en cuenta un aspecto de las fuerzas internas, y es que, debido a la ley de acción reacción, por cada fuerza interna habrá una igual y de sentido contrario: Para cada pareja de partículas  $i$  y  $j$  se anulan las fuerzas internas entre ellas:  $\vec{F}_{ij} + \vec{F}_{ji} = \vec{0}$ . A la expresión anterior le aplicamos un sumatorio para considerar las fuerzas que actúan sobre todas las partículas.

$$\sum_{i=1,n} m_i \vec{a}_i = \sum_i \left( \sum_{j \neq i} \vec{F}_{ij} \right) + \sum_{i=1,n} \vec{F}_{ext,i}$$

$$\sum_i \left( \sum_{j \neq i} \vec{F}_{ij} \right) = \vec{0}$$

Entonces, la segunda ley de Newton la podemos reescribir así:

$$\sum_{i=1,n} m_i \vec{a}_i = \sum_{i=1,n} F_{\text{ext},i} = \vec{F}_{\text{ext},T}$$

$$\sum m_i \vec{a}_i = \sum m_i \frac{d\vec{v}_i}{dt} = \frac{d}{dt} \left( \sum m_i \vec{v}_i \right) = \vec{F}_{\text{ext},T}$$

La fuerza externa resultante que actúa sobre el sistema,  $\vec{F}_{\text{ext},T}$ , es la derivada de la suma de los momentos lineales individuales de cada partícula. A partir de esta expresión cobra sentido la definición de momento lineal del sistema:  $\vec{P} = \sum \vec{p}_i$ . De modo que obtenemos una ecuación análoga a la que ya conocíamos para una partícula, que ahora es válida en sistemas de más de una partícula.

$$\boxed{\vec{F}_{\text{ext},T} = \frac{d\vec{P}}{dt}}$$

Al igual que en una partícula escribimos  $\vec{p} = m\vec{v}$ , en un sistema podemos escribir  $\vec{P} = M\vec{V}$ . La masa  $M$  es la masa total del sistema, pero, ¿Cuál es la velocidad  $\vec{V}$ ?

$$\vec{V} = \frac{\vec{P}}{M} = \frac{\sum m_i \vec{v}_i}{\sum m_i} = \frac{d}{dt} \left( \frac{\sum m_i \vec{r}_i}{\sum m_i} \right)$$

es decir,  $\vec{V}$  es la velocidad con que se mueve el centro de masas  $\vec{R}$  que habíamos definido al comienzo de este apartado.

Resumiendo, tenemos que, en sistemas de varias partículas:

$$\vec{P} = M\vec{V}$$

$$\vec{F}_{\text{ext},T} = \frac{d\vec{P}}{dt} = M \frac{d\vec{V}}{dt} = M\vec{A}$$

son expresiones análogas a las de una partícula, o más bien generalizaciones.

De estas ecuaciones se deduce que el movimiento del centro de masas es independiente de cómo sean las fuerzas interiores, y tampoco depende de la fuerza exterior aplicada a cada partícula del sistema: solo depende de la fuerza exterior resultante.

Además, al igual que sucedía con una partícula, en caso de fuerza externa resultante nula, se conserva el momento lineal:

$$\frac{d\vec{P}}{dt} = \vec{F}_{\text{ext},T}$$

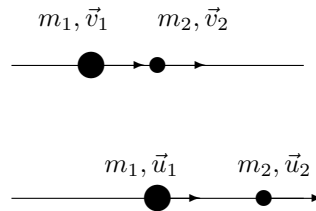
$$\text{si } \vec{F}_{\text{ext},T} = \vec{0} \implies \vec{P} = \text{cte}$$

Esta última expresión puede ser de gran utilidad a la hora de analizar problemas donde todas las fuerzas presentes puedan ser consideradas internas.

## 2.9 Colisiones entre partículas

### 2.9.1 Partículas indeformables y libres

Estudiamos el caso de colisiones entre esferas indeformables y aisladas, no sometidas a fuerza externa alguna. Evidentemente durante la colisión sí que hay fuerzas presentes, pero las podemos considerar fuerzas internas si estudiamos el sistema de dos esferas en su conjunto. Si alguien quisiera estudiar una esfera por separado, por ejemplo la esfera 1, entonces las fuerzas que actúan durante el contacto sí que serían externas y el razonamiento que viene a continuación no sería aplicable.



Como hemos dicho que están aisladas, no existen fuerzas externas al sistema de dos partículas, y por lo tanto el momento lineal del sistema se conserva:

Antes del choque, tenemos:  $\vec{P}_i = m_1 \vec{v}_1 + m_2 \vec{v}_2$ .

Después de la colisión:  $\vec{P}_f = m_1 \vec{u}_1 + m_2 \vec{u}_2$ .

$$m_1 \vec{v}_1 + m_2 \vec{v}_2 = m_1 \vec{u}_1 + m_2 \vec{u}_2 \quad (2.1)$$

Además suponemos que la colisión es frontal, todas las velocidades, antes y después, apuntan en la misma dirección (aunque los sentidos puedan ser opuestos), la que marca el vector unitario  $\vec{i}$ .

Como se ha dicho antes, las esferas no se deforman, así que no se realiza ningún trabajo interno (de deformación). Esto unido a la ausencia de fuerzas externas nos permite afirmar que no hay trabajo ninguno durante el proceso y que por tanto la energía cinética del sistema permanece constante:  $W = 0 \implies E_c = cte$ .

Antes del choque la energía cinética es  $E_{ci} = \frac{1}{2} m_1 v_1^2 + \frac{1}{2} m_2 v_2^2$ .

Y después:  $E_{cf} = \frac{1}{2} m_1 u_1^2 + \frac{1}{2} m_2 u_2^2$ .

Entonces:

$$\frac{1}{2} m_1 v_1^2 + \frac{1}{2} m_2 v_2^2 = \frac{1}{2} m_1 u_1^2 + \frac{1}{2} m_2 u_2^2 \quad (2.2)$$

A partir de las ecuaciones 2.1 y 2.2, y suponiendo conocidas las masas y velocidades iniciales, deducimos las velocidades finales.

$$u_1 = \frac{(m_1 - m_2)v_1 + 2m_2 v_2}{m_1 + m_2}$$

$$u_2 = \frac{(m_2 - m_1)v_2 + 2m_1 v_1}{m_1 + m_2}$$

Cuando se conservan tanto el momento lineal como la energía cinética se dice que se trata de una *colisión elástica*.

La velocidad relativa entre las partículas se conserva:  $u_1 - u_2 = v_2 - v_1$ .



### 2.9.2 Colisión no rígida

Si la colisión es no rígida, con deformación, se puede realizar un trabajo interno  $W_{\text{int}}$  durante la misma, en el caso de que la fuerza interna sea no conservativa. En ese caso la energía cinética no se conserva. Se emplea entonces el llamado coeficiente de restitución  $f$  que nos señala cómo ha sido la variación de la velocidad relativa:

$$f = \frac{u_2 - u_1}{v_1 - v_2}$$

Si conocemos  $f$  y las velocidades iniciales  $v_1$  y  $v_2$ , podemos despejar las finales:

$$\left. \begin{aligned} m_1 v_1 + m_2 v_2 &= m_1 u_1 + m_2 u_2 \\ u_2 - u_1 &= f(v_2 - v_1) \end{aligned} \right\} \Rightarrow u_1, u_2$$

### 2.9.3 Colisión no aislada

Ahora lo que sucede es que el momento no se conserva, porque existen fuerzas externas.

$$\vec{F}_{\text{ext}} \neq 0 \Rightarrow \vec{P} \neq \text{cte}$$

Como sabemos, la variación del momento lineal la podemos conocer a través de la variable Impulso:

$$\vec{I}_{\text{ext}} = \int_0^{\Delta t} \vec{F}_{\text{ext}} dt = \Delta \vec{P}$$

Si la colisión es percusiva, es decir, si  $\Delta t \sim 0$ , la integral de una fuerza finita es aproximadamente cero, así que sigue siendo buena la aproximación de  $\vec{P}_i \sim \vec{P}_f$ , tomando los instantes inmediatamente anterior y posterior al choque.

## 2.10 Estática

La estática es la parte de la física que estudia los sistemas que se encuentran en equilibrio estático, y las condiciones que es necesario que se cumplan para que se produzca.

### 2.10.1 Condiciones de equilibrio

La condición de equilibrio para una partícula es sencillamente:

$$\sum \vec{F} = \vec{0}$$

Entonces, siempre se puede encontrar un sistema de referencia inercial en el que la partícula está en equilibrio estático.

Si estamos estudiando un cuerpo no puntual, esta condición de suma de fuerzas igual a cero nos permite afirmar que su centro de gravedad está en reposo (respecto a un sistema de referencia inercial). Sin embargo esto no quiere decir que tengamos equilibrio estático: el centro de gravedad del cuerpo no experimenta ninguna traslación, pero eso no garantiza que tengamos equilibrio estático porque el cuerpo puede estar rotando.

La magnitud relacionada con las rotaciones es el momento de una fuerza:

$$\vec{N}_O = \vec{r} \times \vec{F}$$

donde  $\vec{r}$  es el vector posición del punto donde se aplica la fuerza  $\vec{F}$  con respecto al sistema de referencia escogido  $O$ . La condición física para no tener rotación es que la suma de los momentos ejercidos por todas las fuerzas sea cero:

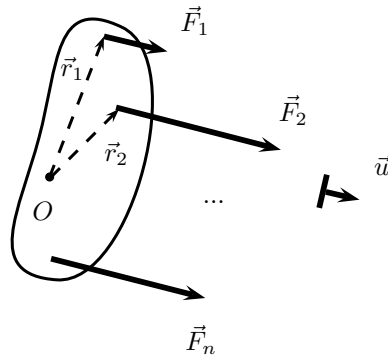
$$\sum \vec{N}_O = \vec{0}$$

Por tanto, con carácter general, para el equilibrio estático se han de cumplir las condiciones:

$$\begin{cases} \sum \vec{F} = \vec{0} \\ \sum \vec{N}_O = \vec{0} \end{cases}$$

### 2.10.2 Sistemas de fuerzas paralelas

Considérese el sistema de la figura. Sobre un cuerpo actúan  $n$  fuerzas, todas ellas paralelas entre sí, orientadas según el vector unitario  $\vec{u}$  ( $|\vec{u}| = 1$ ). Desde el origen escogido  $O$ , vemos que la fuerza  $\vec{F}_1$  se aplica en el punto  $\vec{r}_1$ , la fuerza  $\vec{F}_2$  en el punto  $\vec{r}_2$ , y así sucesivamente. Evidentemente, el sistema no está en equilibrio estático.



Si queremos que haya equilibrio, cabe hacerse dos preguntas:

1. ¿Qué  $\vec{F}$  debe actuar?
2. ¿En qué punto  $\vec{r}_C$  se ha de aplicar?

Para responder a ello se plantean las condiciones de equilibrio. Comenzamos por la condición de ausencia de traslación:

$$\vec{F} + \sum_{i=1}^n \vec{F}_i = \vec{0} \implies$$

$$\vec{F} = - \sum_{i=1}^n \vec{F}_i$$

Ya sabemos cómo ha de ser la fuerza a aplicar para conseguir el equilibrio. A continuación planteamos la ecuación de momentos:

$$\vec{r}_C \times \vec{F} + \sum_{i=1}^n (\vec{r}_i \times \vec{F}_i) = \vec{0}$$

Sustituyendo el valor de  $\vec{F}$ :

$$\vec{r}_C \times \left( - \sum_{i=1}^n \vec{F}_i \right) + \sum_{i=1}^n \left( \vec{r}_i \times \vec{F}_i \right) = \vec{0}$$

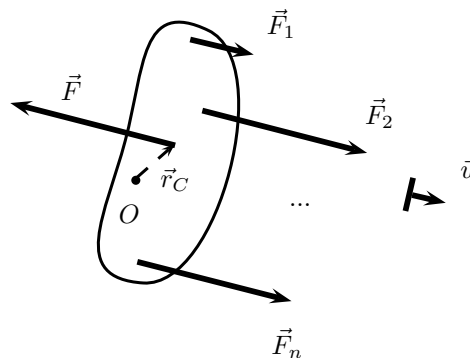
Ahora reescribimos cada fuerza como un producto de su módulo por su vector director (por ejemplo  $\vec{F}_1 = F_1 \vec{u}$ ):

$$\begin{aligned} \vec{r}_C \times \left( - \sum_{i=1}^n F_i \vec{u} \right) + \sum_{i=1}^n \left( \vec{r}_i \times F_i \vec{u} \right) &= \vec{0} \implies \\ \left( - \vec{r}_C \sum_{i=1}^n F_i + \sum_{i=1}^n \vec{r}_i F_i \right) \times \vec{u} &= \vec{0} \end{aligned}$$

Esta ecuación sólo se cumple para un determinado valor de  $\vec{r}_C$ :

$$\vec{r}_C = \frac{\sum_{i=1}^n (\vec{r}_i F_i)}{\sum_{i=1}^n (F_i)}$$

Entonces, para tener equilibrio estático en el esquema de la figura, es necesario que la fuerza se aplique en la posición  $\vec{r}_C$ . A ese punto lo denominamos



“centro de fuerzas” del sistema.

### 2.10.3 Fuerzas de Ligadura

El conjunto de fuerzas externas que actúan sobre un cuerpo puede dividirse en dos tipos:

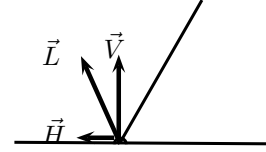
1. Fuerzas Activas: Su existencia es independiente de las demás fuerzas presentes.
2. Fuerzas Pasivas: Suponen una respuesta ante las fuerzas activas debido a las restricciones en la posición o posibilidad de movimiento. También se denominan Fuerzas de Ligadura.

A continuación veremos algunos tipos de fuerzas de ligadura que pueden aparecer en estática:

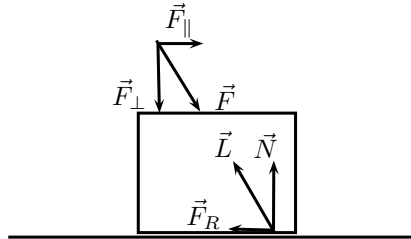
- Tensión en una cuerda inextensible. La restricción aquí nos impide que la separación entre los extremos de la cuerda sea mayor que la longitud de la misma.  $T \geq 0$ .

- Articulaciones. La restricción implica que el punto de articulación no puede moverse. La fuerza de ligadura  $\vec{L}$  normalmente debe descomponerse

en dos componentes, vertical y horizontal:  $\vec{L} = \vec{V} + \vec{H}$ .



- Apoyo puntual sin fricción. En este caso la restricción es que el punto de apoyo no puede hundirse en la superficie en que está apoyado. La ligadura en estos casos es perpendicular (normal) al punto de apoyo.  $L \geq 0$ .
- Apoyo extenso liso. La restricción es análoga al caso anterior. La ligadura sigue siendo perpendicular a la superficie de apoyo. En realidad existe un conjunto de fuerzas paralelas normales en cada punto de apoyo, pero en la práctica se suele modelar como
  1. Una fuerza normal que pasa por el centro de fuerzas, o
  2. Dos normales,  $\vec{L}_1$  y  $\vec{L}_2$  en los extremos.
- Rozamiento en apoyos extensos. La restricción es en este caso una oposición al deslizamiento relativo entre dos superficies. Si actúa una fuerza activa  $\vec{F} = \vec{F}_{\parallel} + \vec{F}_{\perp}$ , se observa que existe una respuesta  $\vec{L}$ .



Si la componente paralela  $\vec{F}_{\parallel}$  es suficientemente pequeña, entonces el sistema se encuentra en equilibrio. Es decir:

$$\sum \vec{F} = \vec{0} \implies \vec{L} + \vec{F} = \vec{0} \implies \begin{cases} N = F_{\perp} \\ F_R = F_{\parallel} \end{cases}$$

La fuerza de rozamiento es  $F_R$ , y se regula pasivamente de modo que contrarresta el valor de  $F_{\parallel}$ , impidiendo así que se produzca el deslizamiento.

Sin embargo, cuando  $F_{\parallel}$  es mayor que un determinado límite ( $F_{\text{lim}}$ ), sí que se produce un deslizamiento: la fuerza de rozamiento no es capaz de igualar ese valor y el sistema deja de estar en equilibrio.

$$\text{Si } F_{\parallel} > F_{\text{lim}} \implies F_{\parallel} - F_R > 0 \implies \sum \vec{F} \neq 0$$

Experimentalmente se comprueba que el valor de dicha fuerza límite es proporcional a la normal  $N$ . El coeficiente de proporcionalidad se puede determinar experimentalmente y se denomina coeficiente de rozamiento estático  $\mu_e$ . Es decir:  $F_{\text{lim}} = \mu_e N$ .

Entonces, cuando la componente paralela de la fuerza activa es inferior (o igual) a dicho valor, el sistema está en equilibrio, y en caso contrario se produce un deslizamiento.

$$\text{Equilibrio} \leftrightarrow F_R = F_{\parallel} \leq F_{\text{lim}} = \mu_e N \quad \implies F_R \leq \mu_e N$$

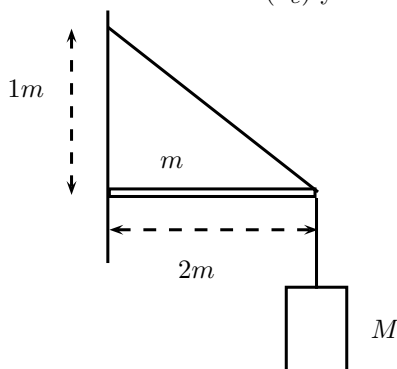
$$\text{Deslizamiento} \leftrightarrow F_{\parallel} > F_{\text{lim}} = \mu_e N \quad \implies F_R = ?$$

En caso de deslizamiento, se observa que la fuerza de rozamiento es  $F_R = \mu_d N$ , donde  $\mu_d$  es el llamado coeficiente de rozamiento dinámico (o cinemático), que suele ser ligeramente inferior al estático.

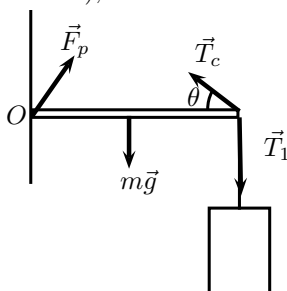
$$\mu_d \lesssim \mu_e$$

### 2.10.4 Ejemplo

Un cartel de masa  $M$  pende de un cable (inextensible y sin masa) que está unido a la pared, y a su vez sujeto por el extremo de una barra horizontal, de masa  $m$ , como se muestra en la figura. El sistema está en equilibrio estático. ¿Cuánto valen la tensión en el cable ( $\vec{T}_c$ ) y la fuerza de la pared sobre la barra ( $\vec{F}_p$ )?



En primer lugar hemos de plantear las fuerzas que actúan sobre la barra. Éstas son su propio peso, la tensión  $\vec{T}_1$  de la cuerda hacia abajo (donde pende el cartel), la tensión de la cuerda  $\vec{T}_c$  hacia la pared y la reacción en la pared  $\vec{F}_p$ .



Observando el cartel de masa  $M$ , que también está en reposo, vemos que sobre él actúan dos fuerzas externas, su peso  $m\vec{g}$  y la tensión  $\vec{T}_1$  (hacia arriba) que lo sostiene. Por tanto,  $T_1 = Mg$ . Nótese que el origen  $O$  desde el que mediremos momentos se ha tomado en el punto de contacto de la barra con la pared. Aunque el origen se puede escoger libremente, esta elección nos facilitará los cálculos, porque, desde ese punto, la fuerza  $\vec{F}_p$  no ejerce momento.

Además, se deduce de la figura que  $\sin \theta = 1/\sqrt{5}$  y que  $\cos \theta = 2/\sqrt{5}$ .

Veamos cómo son los momentos de las respectivas fuerzas que intervienen:

$$N_O^{F_p} = 0$$

$$N_O^{mg} = mgL/2$$

$$N_O^{Mg} = MgL$$

$$N_O^{T_c} = -T_c L \sin \theta$$

Obsérvese que el vector momento de las tres fuerzas que ejercen momento es perpendicular al plano del papel: el de la tensión  $T_c$  es hacia afuera (saliendo del papel) y el de los pesos es hacia adentro.

A continuación plantearemos las ecuaciones de estática.

$$\sum \vec{F} = \vec{0} \implies \begin{cases} x: & F_{p,x} - T_c \cos \theta = 0 \\ y: & F_{p,y} + T_c \sin \theta - mg - Mg = 0 \end{cases}$$

$$\sum \vec{N}_O = \vec{0}$$

$$\sum \vec{N}_O = \vec{0} \implies mgL/2 + MgL - T_c L \sin \theta = 0$$

Como se ve podemos despejar de esta última ecuación la tensión:

$$T_c = g \frac{m/2 + M}{\sin \theta} = \sqrt{5}g \left( \frac{m}{2} + M \right)$$

Introduciendo este resultado en la ecuación de fuerzas en el eje  $y$ :

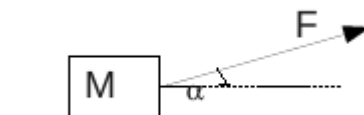
$$F_{p,y} + g(m/2 + M) - mg - Mg = 0 \implies F_{p,y} = \frac{1}{2}mg$$

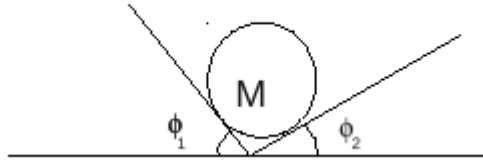
Finalmente despejamos la componente  $x$  de la fuerza  $F_p$ :

$$F_{p,x} = T_c \cos \theta = 2g(m + 2M)$$

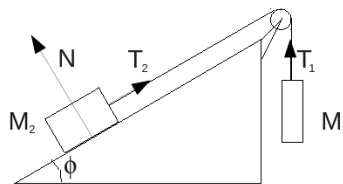
## 2.11 Problemas de Dinámica

1. Un bloque de masa  $M$  se encuentra sobre una superficie plana, atado a una cuerda que forma con la horizontal un ángulo  $\alpha$ . Aplicando en el extremo de dicha cuerda una fuerza  $F$ , el movimiento resultante del bloque es rectilíneo y uniforme. Calcular la fuerza del rozamiento y reacción normal del suelo sobre el bloque. La cuerda se considera inextensible y sin masa apreciable. Datos.  $M = 100$  kg,  $F = 300$  N,  $\alpha = 30^\circ$ .  $g = 9.8$  m/s<sup>2</sup>.

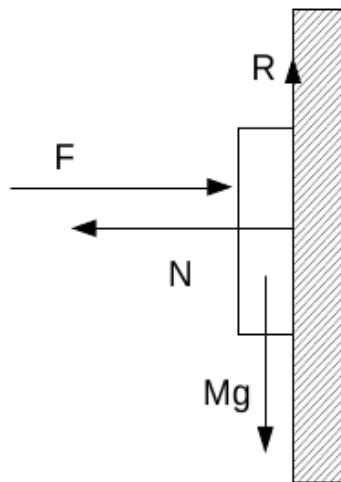
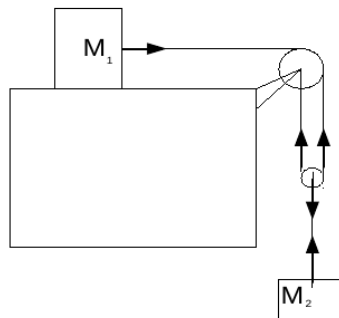




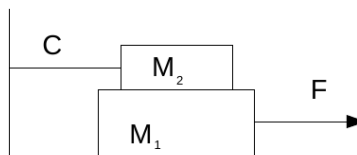
2. Una esfera de masa  $M$  se encuentra en reposo sobre los planos que se muestran en la figura, que forman ángulos con la horizontal  $\phi_1$  y  $\phi_2$ , respectivamente. Calcular las reacciones normales a dichos planos inclinados en los puntos de contacto con la esfera.
3. En el extremo de un plano inclinado hay una polea. De ella cuelga, en vertical, una masa  $M_1$  y, por el otro extremo, una masa  $M_2$ , sobre el plano inclinado. Suponiendo que el sistema está en equilibrio y no hay rozamientos, calcular (i) la tensión en la cuerda (ii) la reacción normal del plano y (iii) la inclinación del plano  $\phi$ . Datos:  $M_1 = 3$  kg,  $M_2 = 5$  kg,  $g = 9.8$  m/s<sup>2</sup>.



4. Calcular el momento lineal del planeta Tierra en su órbita circular respecto del centro del Sol.  
Datos. Masa de la Tierra  $M_T = 5.98 \cdot 10^{24}$  kg, Distancia Tierra-Sol promedio  $d = 1.496 \cdot 10^8$  km, periodo de revolución  $T = 365.26$  días.
5. Calcular el momento lineal de un coche que pesa una tonelada y que circula a 108 km/h. Si frena en 80 m, calcular la fuerza de frenado, supuesta constante. Calcular el trabajo realizado por los discos de freno.
6. Un globo pesa en total 200 kg, y desciende con una aceleración  $a = g/10$ . ¿Cuanto lastre ha de soltar para que ascienda con la misma aceleración?
7. En el siguiente sistema  $M_1 = 200$  kg y  $M_2 = 500$  kg. Los rozamientos son despreciables. También la masa de las cuerdas. Calcular la aceleración de los bloques y las tensiones de las cuerdas. Las poleas tienen masa despreciable.
8. Un cuerpo de masa  $M$  se ubica en la plataforma de un camión en reposo. El coeficiente de rozamiento entre el cuerpo y la superficie es  $\mu$ . Calcular la aceleración máxima que el camión puede tener sin que el bloque llegue a deslizarse.
9. ¿Con qué fuerza hay que apretar un bloque sobre una pared vertical para que el rozamiento haga que no caiga? Coeficiente de rozamiento  $\mu$ .



10. En el sistema representado en la figura el cable  $C$  tiene masa despreciable. Entre  $M_1$  y el suelo el coeficiente de rozamiento vale  $\mu_1$ , y entre  $M_1$  y  $M_2$  hay un coeficiente de rozamiento  $\mu_2$ . (No consideramos diferencias entre los rozamientos dinámico y estático). Calcular: (i) La fuerza mínima que debe aplicarse a  $M_1$  para que el sistema salga del equilibrio. (ii) La aceleración resultante con que se movería  $M_1$ . (iii) la tensión en la cuerda.

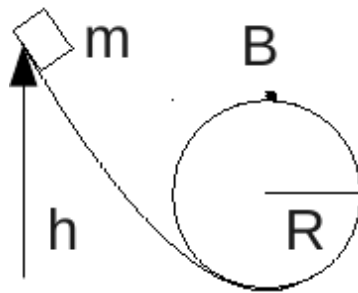


11. Un motociclista toma una curva a la velocidad de 108 km/h. Entre sus neumáticos y la carretera el coeficiente de rozamiento es  $\mu = 0.3$ . Calcular (i) El radio mínimo de la curva para que no derrape, supuesto que el piso es plano, (ii) el ángulo de inclinación del peralte para que no derrape si la curva tiene un radio de 100 m.
12. Un vehículo de 750 kg y con una potencia de 20 CV circula a 60 km/h en horizontal. Calcular: (i) la resistencia que se opone al movimiento. (ii) Supongamos ahora que la pendiente es ascendente del 10%. Calcular



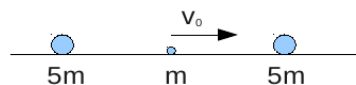
la potencia necesaria para que circule a la misma velocidad que antes suponiendo que la fuerza del rozamiento no ha variado respecto al punto anterior. (iii) Repetir el punto anterior pero con pendiente descendente del 5%. (iv) ¿Cuál es la pendiente que le permitiría bajar con esa velocidad pero con el motor apagado? Datos:  $1CV = 735\text{ W}$ . ¡¡Pasad todo a unidades del SI!! Pendiente del 10% supone subir (o bajar) 10 metros por cada 100 recorridos  $\rightarrow$  el seno del ángulo es  $10/100 = 1/10$ .

13. Un vehículo con masa  $m$  parte del reposo en trayectoria recta y horizontal. Su velocidad varía según la expresión  $v = kx^{1/2}$  donde  $k$  es constante y  $x$  la distancia recorrida. Calcular el trabajo realizado por todas las fuerzas que actúan desde que arranca hasta que pasa un tiempo  $t$ .
14. Un cuerpo de masa  $m = 1\text{ kg}$  desliza sobre una pista hasta entrar un rizo de  $R = 1\text{ m}$  como en la figura. ¿Cuánta energía cinética debe tener en el punto B para que pueda completar el rizo? ¿Desde qué altura  $h$  debería partir (en reposo) para poder completar el rizo? El rozamiento es nulo.

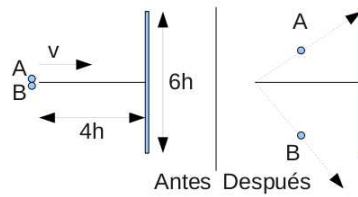


Una pista: En el punto B, la velocidad límite será aquella que haga que la normal sea cero.

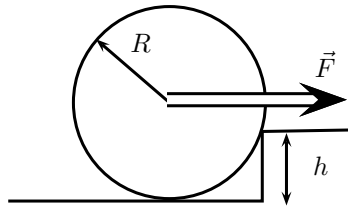
15. Tres masas  $5m$ ,  $m$  y  $5m$  están alineadas según la figura, sobre un suelo horizontal que no ofrece rozamiento. Si a la central le damos una velocidad inicial  $v_0$ , y hay un coeficiente de restitución  $f$ , calcular cuanto tiene que valer éste para que se produzcan 2 colisiones. ¿Y para que se produzcan 3?



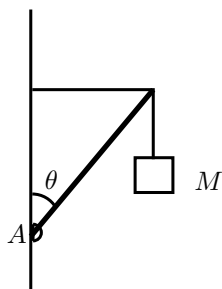
16. Dos patinadores sobre hielo avanzan de la mano con la misma velocidad, según se ve en la figura, en dirección al centro de un muro de longitud  $6h$ . El patinador A tiene masa  $m_A = 80\text{ kg}$ , mientras que el B tiene masa  $m_B = 50\text{ kg}$ . Cuando están a distancia  $4h$  del muro, se empujan mutuamente que la componente  $Y$  de sus velocidades respectivas les permita esquivarlo (la componente  $X$  de sus velocidades no cambia), de modo que el patinador A pasa rozando el borde del muro. No hay rozamiento. Calcular el trabajo que han hecho las fuerzas con que los patinadores se han tomado impulso para separarse.



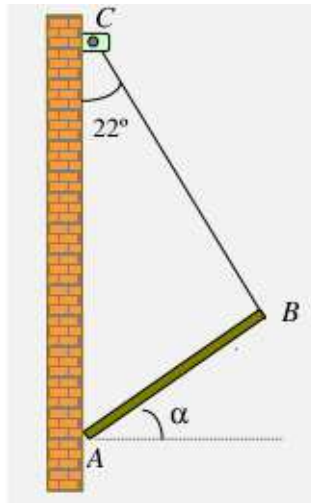
17. Una rueda de radio  $R$  y masa  $M$  se encuentra junto a un escalón de altura  $h$ . Una fuerza  $F$ , horizontal y dirigida hacia el escalón, actúa sobre el centro de masas de la rueda. ¿Cual ha de ser el valor de  $F$ , como mínimo, para que la rueda suba el escalón?



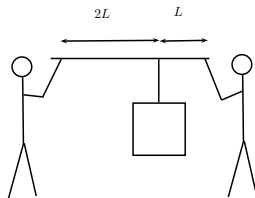
18. Una barra de masa  $m$  y longitud  $L$  se une a una pared mediante una articulación lisa  $A$ . El otro extremo de la barra está sujeto a la pared mediante una cuerda inextensible, de modo que la barra forma un ángulo  $\theta$  con la pared. Además, del extremo superior de la barra se suspende una masa  $M$ . Calcular la tensión de la cuerda y la reacción en el punto  $A$ .



19. Una barra homogénea de peso  $P = 90 \text{ N}$  y longitud  $l$  se mantiene en equilibrio apoyada por su extremo  $A$  sobre una pared vertical rugosa; su extremo  $B$  está unido a un cable fijo a la pared en el punto  $C$ , cuya longitud es  $1,57 l$  que forma con la pared un ángulo de  $22^\circ$ . Determinar: el ángulo  $\alpha$ , la tensión del cable y la fuerza de rozamiento.



20. Una escalera de mano de 4 m de longitud se apoya sin rozamiento sobre una pared vertical y con rozamiento (coeficiente de rozamiento  $\mu = 0.4$ ) en el suelo. (a) Calcular la máxima distancia que puede separarse el pie de la escalera de la pared sin que caiga. (b) Determinar la altura sobre el suelo a la que podría subir una persona de igual masa que la escalera, estando el pie de la escalera a una distancia de  $4/5$  partes de la calculada en el apartado a.
21. Dos operarios de la misma altura sostienen, mediante una barra sin peso apreciable, un bloque de masa  $M$ , como se indica en la figura. Si tuvieras que escoger, ¿en cual de las dos posiciones te pondrías?



## 2.12 Cuestiones de Dinámica

- La fuerza de rozamiento se suele escribir como  $F = \mu \cdot N$ . Utilizando el caso de un bloque en un plano inclinado (con coeficiente de rozamiento  $\mu$ ), explicar cuando es correcta la expresión anterior y cuando no.
- Del siguiente conjunto de interacciones, ¿Cuál (o cuales) consideramos despreciable en situaciones cotidianas?
  - Atracción gravitatoria entre los objetos presentes.
  - Fricción con el medio.
  - Fricción entre los objetos.
  - Fuerzas normales y de contacto.

3. De las interacciones de la cuestión previa, cuál es considerada la dominante en situaciones que involucran planetas, satélites y estrellas?
4. ¿Verdadero o Falso?
  - Para cualquier cuerpo, la fuerza neta y la aceleración son vectores con la misma dirección.
  - La velocidad de un objeto es directamente proporcional a la magnitud de la fuerza neta que actúa sobre él.
  - La velocidad de un objeto es inversamente proporcional a su masa.
  - Si más de dos fuerzas actúan sobre un objeto, su velocidad no puede ser constante.
  - Si más de dos fuerzas actúan sobre un objeto, su velocidad ha de ser constante.
5. Un bloque permanece suspendido, mediante una cuerda que cuelga desde el techo. Considérese la tercera ley de Newton. ¿Cuál es la reacción a la fuerza del peso del bloque?
6. Un bloque desliza cayendo por un plano inclinado, con aceleración paralela al plano inclinado y dirigida hacia abajo. Señalar si las siguientes afirmaciones son verdaderas o falsas.
  - La fricción ha de ser cero.
  - La fuerza de la fricción ha de ser menor que la componente del peso paralela al plano.
  - La fuerza normal es igual, en magnitud, al peso del bloque.
  - La superficie puede tener fricción o no, a pesar de estar acelerado el bloque.
  - Si la masa del bloque se duplica, su aceleración también.

## Capítulo 3

# Oscilaciones

### 3.1 Objetivos

Los movimientos oscilatorios tienen gran importancia en física, puesto que sirven para entender y modelar multitud de fenómenos naturales. En este capítulo partiremos del estudio del movimiento oscilatorio armónico. Se trata del caso más sencillo, pero permite describir satisfactoriamente algunos sistemas, como el péndulo ideal. A partir de allí, iremos introduciendo modificaciones que aportan matices realistas al movimiento oscilatorio, desde las oscilaciones amortiguadas hasta las oscilaciones no armónicas, pasando por el fenómeno de resonancia. Los objetivos de este tema son:

- Saber distinguir qué oscilaciones son armónicas y cuáles no lo son.
- Entender el significado físico de las magnitudes relevantes en un fenómeno de oscilación armónica.
- Describir correctamente amortiguaciones en oscilaciones armónicas, así como las oscilaciones forzadas.
- Comprender los fenómenos de resonancia.
- Analizar oscilaciones desde el punto de vista energético.
- Saber deducir bajo qué circunstancias las oscilaciones anarmónicas se aproximan a las armónicas.
- Reconocer fenómenos de superposición de ondas.

### 3.2 Introducción

Entendemos por oscilación el movimiento que surge tras la perturbación de un sistema desde una posición de equilibrio estable. Decimos que un sistema se encuentra en equilibrio estable cuando  $\sum \vec{F} = \vec{0}$  y, además, ante desplazamientos pequeños, el sistema oscila, es decir, experimenta un “vaivén” en torno a dicha posición de equilibrio.

El modelo más sencillo de oscilaciones es el de la Oscilación Armónica, que ya conocemos. En el caso de que la posición de equilibrio sea  $x_{\text{eq}} = 0$ , el sistema viene descrito por la ecuación diferencial característica:

$$\frac{d^2x}{dt^2} + \omega^2 x = 0$$

### 3.3 Cinemática de la oscilación armónica

La solución a esta ecuación es una función sinusoidal:

$$x(t) = A \sin(\omega t + \alpha) = A \cos(\omega t + \beta), \quad \beta = \alpha - \frac{\pi}{2}$$

La amplitud es  $A$ , la fase inicial es  $\alpha$  (o  $\beta$ ). La velocidad y aceleración se determinan por simple derivación:

$$v(t) = \frac{dx(t)}{dt} = A\omega \cos(\omega t + \alpha)$$

$$a(t) = \frac{d^2x(t)}{dt^2} = -A\omega^2 \sin(\omega t + \alpha) = -\omega^2 x$$

Estas funciones se caracterizan por su periodicidad. Pasado un periodo  $T$ , vuelven a adquirir el mismo valor:

$$\left. \begin{aligned} x(t) &= x(t+T) \\ v(t) &= v(t+T) \end{aligned} \right\} \rightarrow T = \frac{2\pi}{\omega}$$

La frecuencia es  $\nu = 1/T$ , y la frecuencia angular es la  $\omega$  de la ecuación diferencial característica  $\omega = 2\pi/T = 2\pi\nu$ .

En caso de que la posición de equilibrio sea otra:  $x_{\text{eq}} \neq 0$ , cambia algo la ecuación característica, porque ahora la posición es:

$$x(t) = x_{\text{eq}} + A \sin(\omega t + \alpha) \implies$$

$$\frac{d^2x(t)}{dt^2} = -A\omega^2 \sin(\omega t + \alpha) = -\omega^2(x - x_{\text{eq}})$$

Es decir, en general, con  $x_{\text{eq}} \neq 0$ , el movimiento oscilatorio armónico se rige por la ecuación diferencial característica:

$$\boxed{\frac{d^2x}{dt^2} + \omega^2(x - x_{\text{eq}}) = 0} \quad (3.1)$$

Conociendo las condiciones iniciales podemos deducir amplitud y fase inicial. Es decir, conociendo posición y velocidad en el instante  $t = 0$ , ( $x_0$  y  $v_0$  respectivamente), podemos averiguar  $A$  y  $\alpha$ :

$$\left. \begin{aligned} x_0 &= x(t=0) = x_{\text{eq}} + A \sin \alpha \\ v_0 &= v(t=0) = A\omega \cos \alpha \end{aligned} \right\} \implies \left\{ \begin{aligned} x_0 - x_{\text{eq}} &= A \sin \alpha \\ \frac{v_0}{\omega} &= A \cos \alpha \end{aligned} \right\}$$

Dividiendo estas dos últimas ecuaciones:

$$\frac{\omega(x_0 - x_{\text{eq}})}{v_0} = \tan \alpha$$

Mientras que elevando al cuadrado esas mismas ecuaciones y sumando:

$$(x_0 - x_{\text{eq}})^2 + \left(\frac{v_0}{\omega}\right)^2 = A^2$$

En resumen, conociendo  $x_0$  y  $v_0$  tenemos que:

$$A = \sqrt{(x_0 - x_{\text{eq}})^2 + \left(\frac{v_0}{\omega}\right)^2}$$

$$\alpha = \arctan \left[ \frac{\omega(x_0 - x_{\text{eq}})}{v_0} \right]$$

### 3.4 Dinámica de la oscilación armónica

Ahora pasamos a la dinámica de este tipo de oscilaciones  $\rightarrow$  nos preocupamos de la fuerza que la produce, su energía...

Utilizando la ecuación  $x(t)$  y la segunda ley de Newton calculamos la fuerza:

$$\left. \begin{aligned} x &= x_{\text{eq}} + A \sin(\omega t + \alpha) \\ F &= ma = m \frac{d^2 x}{dt^2} \end{aligned} \right\} \Rightarrow F = -m\omega^2 A \sin(\omega t + \alpha) = -m\omega^2 (x - x_{\text{eq}})$$

Como vemos, en el oscilador armónico la fuerza es proporcional a  $-(x - x_{\text{eq}})$ . Es decir, una fuerza de la misma naturaleza que la de los muelles. La constante de proporcionalidad  $m\omega^2$  haría las veces de constante recuperadora del muelle  $k$

$$k = m\omega^2 \quad \omega = \sqrt{k/m}$$

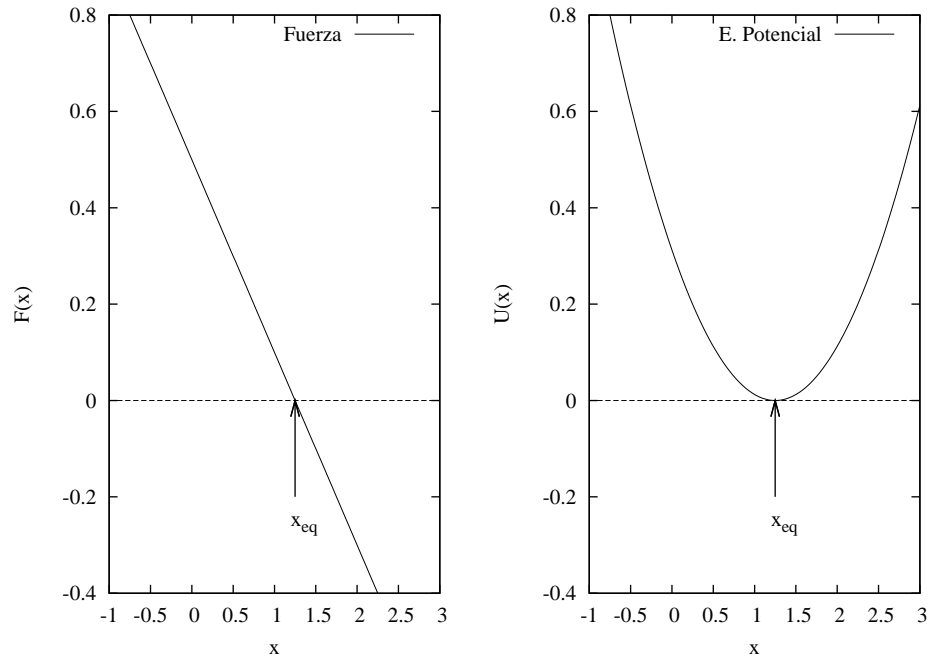
Cuando  $x = x_{\text{eq}}$ , la fuerza es cero  $F(x_{\text{eq}}) = 0$ . En caso contrario es proporcional al desplazamiento  $x - x_{\text{eq}}$  dirigida hacia  $x_{\text{eq}}$ .

Como es del mismo tipo que la fuerza en muelles, es decir, sigue la ley de Hooke, sabemos que es una fuerza conservativa (como se vio en el tema 2).

Entonces, podemos definir una energía potencial  $U$ . Para ello seleccionamos una referencia. En este caso lo más sencillo es tomar  $x_{\text{ref}} = x_{\text{eq}}$ , para así tener  $U(x_{\text{eq}} = x_{\text{ref}}) = 0$ .

$$U(x) = - \int_{x_{\text{ref}}=x_{\text{eq}}}^x -k(x' - x_{\text{eq}}) dx' = \dots \frac{1}{2} k (x - x_{\text{eq}})^2$$

Como vemos, mientras que la fuerza tenía dependencia lineal con el desplazamiento, la energía potencial tiene una dependencia cuadrática. Esta es una de las características de la oscilación armónica.



La energía mecánica, como en todas las fuerzas conservativas, se conserva (escribimos  $E_C$  para la energía cinética con objeto de distinguirla del periodo de oscilación  $T$ ).

$$E_m = E_c + U$$

$$U(x) = \frac{1}{2}k(x - x_{eq})^2 = \frac{1}{2}kA^2 \sin^2(\omega t + \alpha)$$

$$E_c(x) = \frac{1}{2}mv^2 = \frac{1}{2}m\omega^2 A^2 \cos^2(\omega t + \alpha)$$

Por tanto, si recordamos que  $k = m\omega^2$  y sumamos las dos últimas expresiones:

$$E_m = U(x) + E_c(x) = \frac{1}{2}kA^2$$

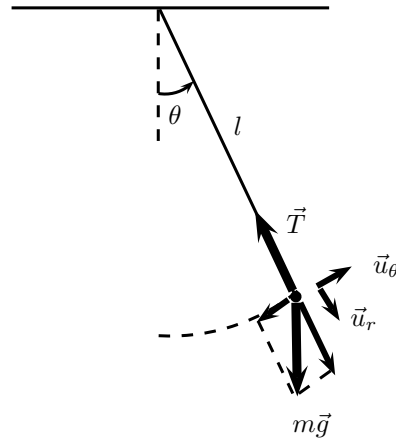
La energía mecánica es constante.

### 3.5 Péndulo simple

Por péndulo simple entendemos aquél que tiene una masa puntual sostenida por una cuerda inextensible de masa despreciable, que no tiene pérdidas por rozamiento con el aire o con la pared de la que está suspendido.

A continuación tenemos un pequeño esquema con las fuerzas que actúan sobre la masa  $m$  cuando se desplaza un ángulo  $\theta$  con respecto a su posición de equilibrio. Actúan por un lado el peso y por otro la tensión del hilo.





La fuerza resultante por tanto será la suma vectorial de las dos que actúan:

$$\vec{F} = \vec{T} + m\vec{g}$$

Descomponemos las fuerzas en las direcciones radial y angular:

$$\vec{F} = mg \sin \theta (-\vec{u}_\theta) + (mg \cos \theta - T) \vec{u}_r$$

En la dirección radial la fuerza resultante es igual a la fuerza centrípeta (notar que el cordel tiene longitud fija,  $l$ ). En la dirección angular estamos fuera de equilibrio, con lo cual la suma de las fuerzas:

$$F_\theta = ma_\theta$$

La aceleración angular o polar  $a_\theta$  es, para radio fijo:  $a_\theta = r \frac{d^2\theta}{dt^2}$ . Por lo tanto,

$$F_\theta = ma_\theta = ml \frac{d^2\theta}{dt^2} = -mg \sin \theta$$

despejando, obtenemos la siguiente ecuación del movimiento:

$$\boxed{\frac{d^2\theta}{dt^2} + \frac{g}{l} \sin \theta = 0}$$

En el caso de que las oscilaciones sean de pequeña amplitud, es decir, con  $\theta$  bajo, podemos aproximar el seno por el ángulo.

Si  $\theta \rightarrow 0 \implies \sin \theta \simeq \theta$  (¡Ojo! trabajamos con radianes).

Entonces, la ecuación para pequeños ángulos es la de una oscilación armónica:

$$\boxed{\frac{d^2\theta}{dt^2} + \frac{g}{l} \theta = 0}$$

El ángulo de equilibrio es obviamente  $\theta_{\text{eq}} = 0$ .

Comparando esta ecuación que hemos obtenido con ecuación diferencial característica del movimiento oscilatorio armónico (ecuación (3.1)), tenemos que la frecuencia es  $\omega^2 = g/l$ , mientras que el periodo es  $T = 2\pi\sqrt{l/g}$ . Además, la evolución del ángulo  $\theta$  responde a una ecuación del tipo:  $\theta(t) = \theta_0 \sin(\omega t + \alpha)$ , con amplitud  $\theta_0$ .

### 3.6 Oscilaciones amortiguadas

Hasta ahora hemos estudiado el oscilador armónico ideal,

$$m \frac{d^2 x}{dt^2} = -kx \implies x = A \sin(\omega_0 t + \alpha)$$

y con frecuencia natural  $\omega_0 = \sqrt{k/m}$ .

Sin embargo es difícil encontrar en la naturaleza situaciones ideales. Los osciladores más realistas son aquéllos en los que actúa también una fuerza disipativa, algún tipo de fricción que se opone al movimiento. El modelo más comunmente empleado para describir estas situaciones es el de una fuerza proporcional a la velocidad del oscilador, pero con sentido contrario a ésta:

$$\vec{F} = -c\vec{v}$$

con  $c = \text{cte}$ . Entonces a la ecuación característica le tenemos que añadir un término:

$$m \frac{d^2 x}{dt^2} = -kx - c \frac{dx}{dt}$$

como  $k/m = \omega_0^2$ ,

$$\frac{d^2 x}{dt^2} + \frac{c}{m} \frac{dx}{dt} + \omega_0^2 x = 0$$

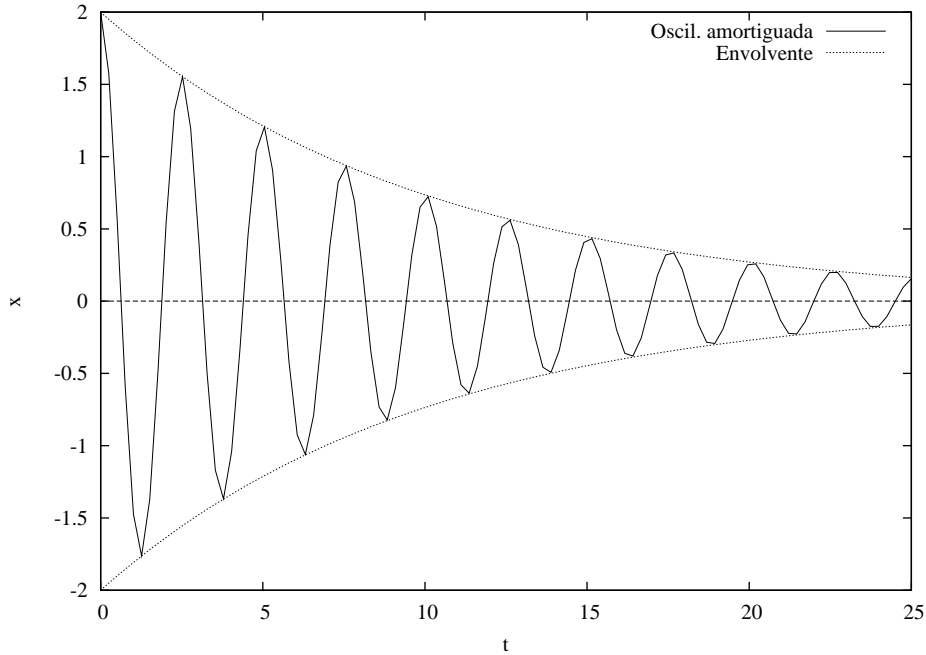
Definimos el coeficiente de amortiguamiento,  $\gamma = \frac{c}{2m}$ . La solución a este sistema, para amortiguamientos pequeños (podéis hacer el ejercicio) es la siguiente ecuación:

$$x(t) = Ae^{-\gamma t} \sin(\omega_a t + \alpha)$$

donde la frecuencia de oscilación es

$$\omega_a = \sqrt{\omega_0^2 - \gamma^2}$$

El resultado es una oscilación, con frecuencia menor que la frecuencia natural  $\omega_a < \omega_0$ , cuya amplitud está modulada por una envolvente decreciente. Es decir, la amplitud efectiva está amortiguada exponencialmente  $A(t) = Ae^{-\gamma t}$  (líneas de puntos en el gráfico). El resultado es válido sólo para amortiguamiento pequeño, es decir, para  $\gamma < \omega_0$ .



A mayor  $\gamma$ , más rápido será el amortiguamiento. A la inversa del coeficiente de amortiguamiento se le llama tiempo de relajación  $\tau = 1/\gamma$ .

Por otro lado el período de las oscilaciones es  $T_a = 2\pi/\omega_a$ .

Las cantidades  $A$  y  $\alpha$ , es decir, amplitud y fase inicial, se pueden obtener si se conocen posición y velocidad iniciales  $x_0, v_0$ .

### 3.7 Oscilaciones forzadas y amortiguadas

En este apartado damos una vuelta de tuerca más al oscilador armónico. Si, como sucede de forma natural, hay algún tipo de amortiguamiento, pero queremos que la oscilación se mantenga, entonces necesitamos aplicar al oscilador una fuerza impulsora periódica:  $F = F_0 \cos(\omega t)$

Entonces, la ecuación dinámica queda:

$$m \frac{d^2 x}{dt^2} = -kx \underbrace{-c \frac{dx}{dt}}_{\text{Amortiguamiento}} + \underbrace{F_0 \cos(\omega t)}_{\text{F. externa impulsora}}$$

dividiendo por  $m$  y sustituyendo:  $k/m = \omega_0^2$ ,  $c/m = 2\gamma$ ,

$$\frac{d^2 x}{dt^2} + \omega_0^2 x + 2\gamma \frac{dx}{dt} = \frac{F_0}{m} \cos(\omega t) \quad (3.2)$$

Es decir, tenemos una ecuación que es por un lado una mezcla de oscilación amortiguada ( $\sim e^{-\gamma t}$ , a frecuencia  $\omega_a = \sqrt{\omega_0^2 - \gamma^2}$ ), y por otro estamos forzando al sistema a oscilar con una frecuencia  $\omega$ , de la fuerza impulsora. A la frecuencia de oscilación natural la llamamos  $\omega_0$ .

Cuando el sistema comienza a funcionar, pasa por una fase **transitoria inicial**. El oscilador tiene una frecuencia inicial  $\omega_a$  (la amortiguada). Pasado

un tiempo mucho mayor que el tiempo de amortiguamiento,  $t \gg \tau = 1/\gamma$ , la energía que pierde el sistema (por el amortiguamiento) y la que recibe por parte de la fuerza impulsora se equilibran. Entonces se alcanza la **solución estacionaria**. La solución del sistema es del tipo:

$$x(t) = B \cos(\omega t - \varphi)$$

El sistema oscila con la frecuencia forzada  $\omega$ . Veamos cuanto valen la amplitud  $B$  y la fase  $\varphi$ : En primer lugar calculamos las derivadas primera y segunda de  $x$  con respecto a  $t$ :

$$\frac{dx}{dt} = -B\omega \sin(\omega t - \varphi)$$

$$\frac{d^2x}{dt^2} = -B\omega^2 \cos(\omega t - \varphi)$$

Sustituimos las expresiones de  $x$ ,  $dx/dt$  y  $d^2x/dt^2$  en la ecuación característica (3.2):

$$\frac{d^2x}{dt^2} + \omega_0^2 x + 2\gamma \frac{dx}{dt} = \frac{F_0}{m} \cos(\omega t) \implies$$

$$-B\omega^2 \cos(\omega t - \varphi) + \omega_0^2 B \cos(\omega t - \varphi) - 2\gamma B\omega \sin(\omega t - \varphi) = \frac{F_0}{m} \cos(\omega t)$$

Recordemos dos relaciones trigonométricas:

$$\cos(\omega t - \varphi) = \cos(\omega t) \cos \varphi + \sin(\omega t) \sin \varphi$$

$$\sin(\omega t - \varphi) = \sin(\omega t) \cos \varphi - \cos(\omega t) \sin \varphi$$

Sustituyendo en la expresión anterior:

$$B (\omega_0^2 - \omega^2) (\cos(\omega t) \cos \varphi + \sin(\omega t) \sin \varphi) - 2B\gamma\omega (\sin(\omega t) \cos \varphi - \cos(\omega t) \sin \varphi) = \frac{F_0}{m} \cos(\omega t)$$

Agrupamos sacando factor común  $\cos(\omega t)$  por un lado y  $\sin(\omega t)$  por el otro:

$$\cos(\omega t) \left[ B \cos \varphi (\omega_0^2 - \omega^2) + 2B\gamma \sin \varphi - \frac{F_0}{m} \right] + \sin(\omega t) [B \sin \varphi (\omega_0^2 - \omega^2) - 2B\gamma \cos \varphi] = 0$$

Cuando el coseno sea cero, el seno no lo será, y viceversa. Para que la expresión previa se cumpla para todo  $t$ , es necesario que sean cero tanto el factor que multiplica a  $\cos(\omega t)$  como el que multiplica a  $\sin(\omega t)$ , es decir, es necesario que sea cero lo que va dentro de los corchetes:

$$\cos(\omega t) \rightarrow B \cos \varphi (\omega_0^2 - \omega^2) + 2B\gamma \sin \varphi - \frac{F_0}{m} = 0 \implies$$

$$B = \frac{F_0/m}{\cos \varphi (\omega_0^2 - \omega^2) + 2\gamma \omega \sin \varphi} \quad (3.3)$$

$$\sin(\omega t) \rightarrow B \sin \varphi (\omega_0^2 - \omega^2) - 2B\gamma \cos \varphi = 0 \implies$$

$$\tan \varphi = \frac{2\gamma\omega}{\omega_0^2 - \omega^2} \quad (3.4)$$

Ya tenemos el ángulo  $\varphi$ . Ahora la amplitud, pero antes recordamos otras dos relaciones trigonométricas:

$$\sin \varphi = \frac{\tan \varphi}{\sqrt{1 + \tan^2 \varphi}}$$

$$\cos \varphi = \frac{1}{\sqrt{1 + \tan^2 \varphi}}$$

como hemos calculado la tangente, sustituimos y así tendremos el coseno y el seno despejados:

$$\sin \varphi = \frac{2\gamma\omega}{\sqrt{(\omega_0^2 - \omega^2)^2 + 4\gamma^2\omega^2}}$$

$$\cos \varphi = \frac{\omega_0^2 - \omega^2}{\sqrt{(\omega_0^2 - \omega^2)^2 + 4\gamma^2\omega^2}}$$

y por lo tanto, introduciendo estos valores en la ecuación (3.3), tenemos que:

$$B = \frac{F_0/m}{\sqrt{(\omega_0^2 - \omega^2)^2 + 4\gamma^2\omega^2}}$$

en resumen, tenemos un oscilador que, en estado estacionario, tiene frecuencia  $\omega$  (que es la frecuencia a la que le forzamos a trabajar mediante la aplicación de una fuerza externa), fase  $\varphi$  y amplitud  $B$ :

$$B = \frac{F_0/m}{\sqrt{(\omega_0^2 - \omega^2)^2 + 4\gamma^2\omega^2}} \quad (3.5)$$

$$\tan \varphi = \frac{2\gamma\omega}{\omega_0^2 - \omega^2} \quad (3.6)$$

Observar que ahora la amplitud y fase alcanzadas en el estado estacionario no dependen de las condiciones iniciales, sino que dependen de las características propias del sistema que oscila ( $m$ ,  $\omega_0$ ), la componente amortiguadora ( $\gamma$ ) y la fuerza externa impulsora ( $F_0$ ,  $\omega$ ).

Es interesante estudiar como cambian  $\varphi$  y sobre todo  $B$  con la frecuencia forzada  $\omega$ .

$$B(\omega) = \frac{F_0/m}{\sqrt{(\omega_0^2 - \omega^2)^2 + 4\gamma^2\omega^2}}$$

- si  $\omega = 0$ , entonces  $B = B_0 = \frac{F_0/m}{\omega_0^2} = F_0/k$ .
- si  $\omega \rightarrow \infty$ , entonces  $B \rightarrow 0$ . No hay oscilación.
- existe un valor de  $\omega$  en el que la amplitud es máxima.
  - Máximo local en  $\omega$  tal que  $dB/d\omega = 0$

$$\frac{dB}{d\omega} = \frac{F_0}{m} \frac{-1}{2} [(\omega_0^2 - \omega^2)^2 + 4\gamma^2\omega^2]^{-3/2} [2(\omega_0^2 - \omega^2)(-2\omega) + 8\gamma^2\omega]$$

$$\frac{dB}{d\omega} = 0 \Leftrightarrow -4\omega(\omega_0^2 - \omega^2) + 8\gamma^2\omega = 0 \Rightarrow \begin{cases} \omega = 0 \\ -(\omega_0^2 - \omega^2) + 2\gamma^2 = 0 \end{cases}$$

$$\omega = \omega_r = \sqrt{\omega_0^2 - 2\gamma^2}$$

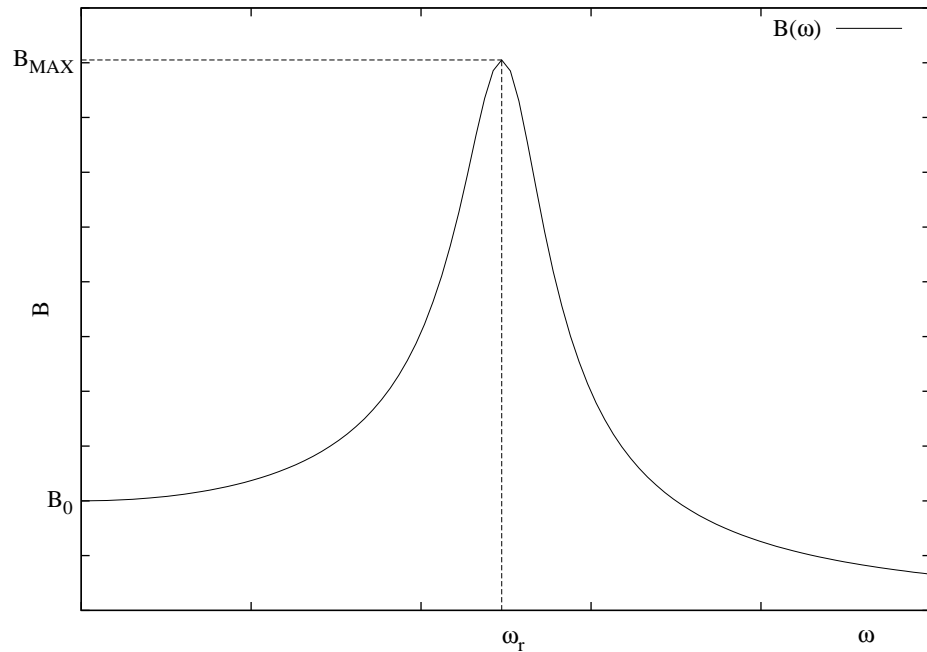
donde  $\omega_r$  es la llamada frecuencia de resonancia, aquella para la que la amplitud conseguida es máxima. Si estimulamos el sistema con una fuerza que oscile con dicha frecuencia, la amplitud obtenida será:

$$B_{\max} = B(\omega_r) = \frac{F_0/m}{\sqrt{(\omega_0^2 - \omega_r^2)^2 + 4\gamma^2\omega_r^2}} = \frac{F_0/m}{2\gamma\sqrt{\omega_0^2 - \gamma^2}}$$

si recordamos,  $F_0/m = B_0\omega_0^2$ . Por otro lado  $\omega_a = \sqrt{\omega_0^2 - \gamma^2}$ . Entonces la expresión se puede transformar para que quede así:

$$B_{\max} = B_0 \frac{\omega_0^2}{2\gamma\omega_a}$$

Y gráficamente queda como se muestra en la figura:



### 3.7.1 Resonancia

Cuando se entra en resonancia se producen oscilaciones de gran amplitud, mucho mayores que la amplitud asociada a la fuerza externa,  $F_0 = kB_0$ .

Obsérvese que las amplitudes máximas se obtienen cuando se trabaja con coeficientes de amortiguamiento muy bajos en comparación con la frecuencia natural  $\omega_0$ :

$$B_{\max} = B_0 \frac{\omega_0^2}{2\gamma\sqrt{\omega_0^2 - \gamma^2}} \gg B_0 \Leftrightarrow \gamma \ll \omega_0$$

El hecho de escoger valores pequeños de  $\gamma$  tiene algunas implicaciones. En concreto, la frecuencia de resonancia se acerca mucho a la natural:

$$\omega_r = \sqrt{\omega_0^2 - 2\gamma^2} \simeq \omega_0$$

lo mismo sucede con la frecuencia de oscilación amortiguada:

$$\omega_a = \sqrt{\omega_0^2 - \gamma^2} \simeq \omega_0$$

entonces, la amplitud máxima queda así:

$$B_{\max} = B_0 \frac{\omega_0^2}{2\gamma\omega_a} \simeq B_0 \frac{\omega_0}{2\gamma} \equiv B_0 Q$$

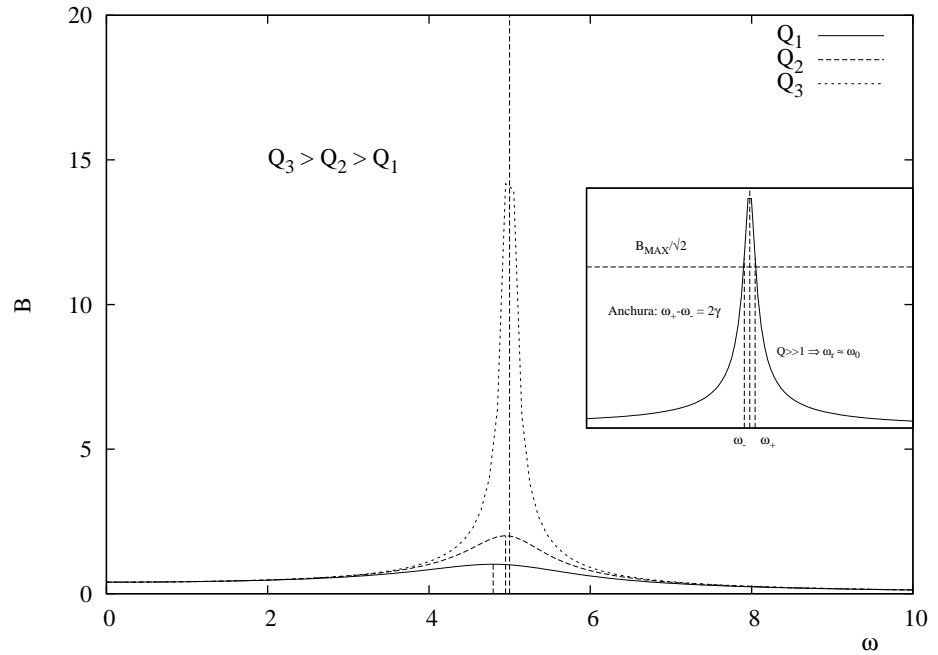
donde hemos definido el *factor de calidad*  $Q = \omega_0/2\gamma$ . A mayor  $Q$  mayor es la ganancia. Cuando se entra en resonancia con  $\gamma \ll \omega_0$ , se tienen valores  $Q \gg 1$  y por lo tanto  $B_{\max} \gg B_0$ . Además la frecuencia a la que oscila el sistema es muy próxima a la frecuencia de oscilación natural del armónico:  $\omega_r \simeq \omega_0$ .

La intensidad de la resonancia se asocia por tanto con la altura del pico. La curva de resonancia también queda caracterizada por la anchura del pico. Se suele tomar como referencia para calcular dicha anchura a las frecuencias a las que la altura es  $B_{\max}/\sqrt{2}$ , frecuencias angulares que denotamos como  $\omega_-$  y  $\omega_+$ . Las frecuencias  $\omega_{\pm}$  son las soluciones de la ecuación de segundo grado que se obtiene al igualar la ecuación (3.5) a la amplitud deseada, en este caso  $B_{\max}/\sqrt{2}$ , es decir:

$$B(\omega) = \frac{F_0/m}{\sqrt{(\omega_0^2 - \omega^2)^2 + 4\gamma^2\omega^2}} = \frac{B_{\max}}{\sqrt{2}}$$

Se obtiene una ecuación cuadrática cuya solución es, para  $\gamma \ll \omega_0$ ,

$$\omega(B = B_{\max}/\sqrt{2}) = \omega_0 \pm \gamma \left\{ \begin{array}{l} \omega_- = \omega_0 - \gamma \\ \omega_+ = \omega_0 + \gamma \end{array} \right\} \Rightarrow \Delta\omega = \omega_+ - \omega_- = 2\gamma$$



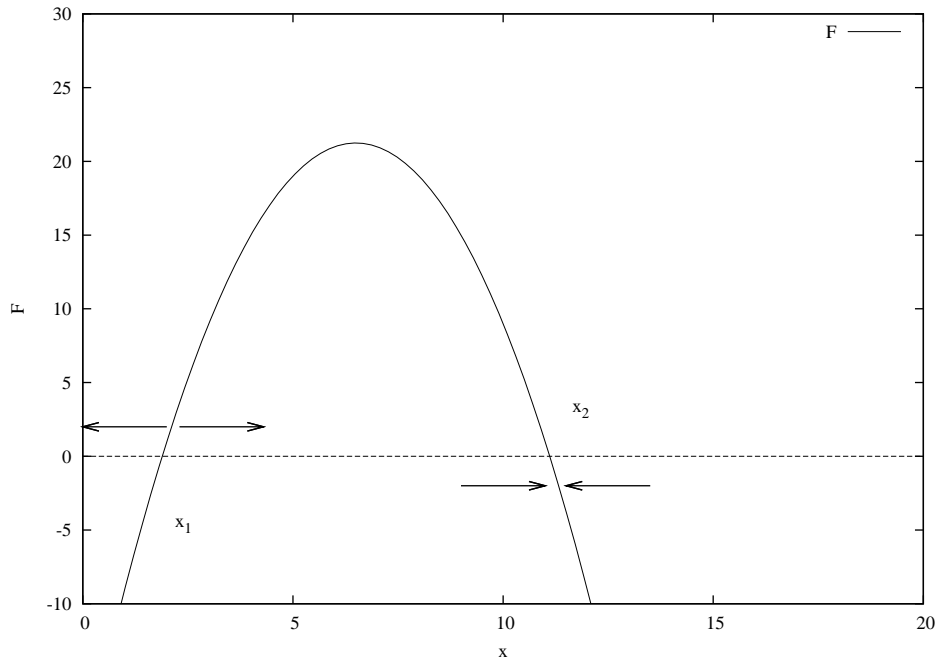
### 3.8 Oscilaciones Anarmónicas

En las oscilaciones armónicas veíamos oscilaciones en torno a un punto donde la fuerza es cero (el punto de equilibrio  $x_{eq}$ ), y una dinámica tal que la fuerza es proporcional al desplazamiento con respecto a dicho equilibrio:  $F \propto -(x - x_{eq})$  (ver gráfico derecho de la página 3).

En un caso más general la fuerza no es lineal con el desplazamiento. Entonces no se obtiene una oscilación armónica en general, aunque es posible que, en torno a un punto de equilibrio, el sistema si que oscile. Un punto de equilibrio es cualquier punto  $x_i$  donde  $F(x_i) = 0$ . Pero para que haya oscilaciones dicho equilibrio debe ser *estable*.

Por ejemplo, en el gráfico siguiente, tenemos dos puntos de equilibrio,  $x_1$  y  $x_2$ , porque en ambos la fuerza es cero. Pero sólo el segundo es estable, porque si desplazamos una partícula desde  $x_2$  en cualquier dirección, la fuerza será hacia  $x_2$ . Y por lo tanto habrá algún tipo de oscilación en torno a dicho equilibrio. Pero si una partícula la tenemos en  $x_1$ , en reposo, y la desplazamos ligeramente, la fuerza será para alejar a la partícula de  $x_1$ .





La diferencia entre ambos casos es que en torno a  $x_2$  la derivada  $\left. \frac{dF}{dx} \right|_{x_2} < 0$  (pendiente negativa), mientras que en torno a  $x_1$  sucede lo contrario:  $\left. \frac{dF}{dx} \right|_{x_1} > 0$  (pendiente positiva).

Veamos ahora qué sucede si en torno a un punto de equilibrio realizamos un pequeño desplazamiento  $\Delta x$ .

En torno a  $x_1$  ya sabemos que no habrá oscilación. En torno a  $x_2$  sí que la habrá, pero como la fuerza no es lineal con el desplazamiento, no será una oscilación armónica. ¿Cuánto vale la fuerza en el punto  $x = x_2 + \Delta x$ ?

Desarrollo en serie de la fuerza  $F(x)$  en torno a un punto  $x_2$ .

$$F(x_2 + \Delta x) = \underbrace{F(x_2)}_{=0} + \frac{1}{1!} \left. \frac{dF}{dx} \right|_{x_2} \Delta x + \frac{1}{2!} \left. \frac{d^2F}{dx^2} \right|_{x_2} \Delta x^2 + \frac{1}{3!} \dots$$

entonces, si el desplazamiento  $\Delta x$  es muy pequeño  $\Delta x \ll 1$ , podremos despreciar los términos proporcionales a  $\Delta x^2$ ,  $\Delta x^3$ , etc, porque son mucho más pequeños que  $\Delta x$ :  $\Delta x \ll 1 \implies \Delta x \gg \Delta x^2 \gg \Delta x^3 \gg \dots$ . Por lo tanto, en primer orden de aproximación, tenemos que:

$$F(x_2 + \Delta x) \sim \left. \frac{dF}{dx} \right|_{x_2} \Delta x = -k\Delta x$$

como la derivada evaluada en  $x_2$  es una constante negativa, tenemos que la fuerza es lineal con el desplazamiento  $\Delta x$ .

En resumen, cuando la fuerza  $F$  no es lineal podemos tener oscilaciones aproximadamente armónicas si:

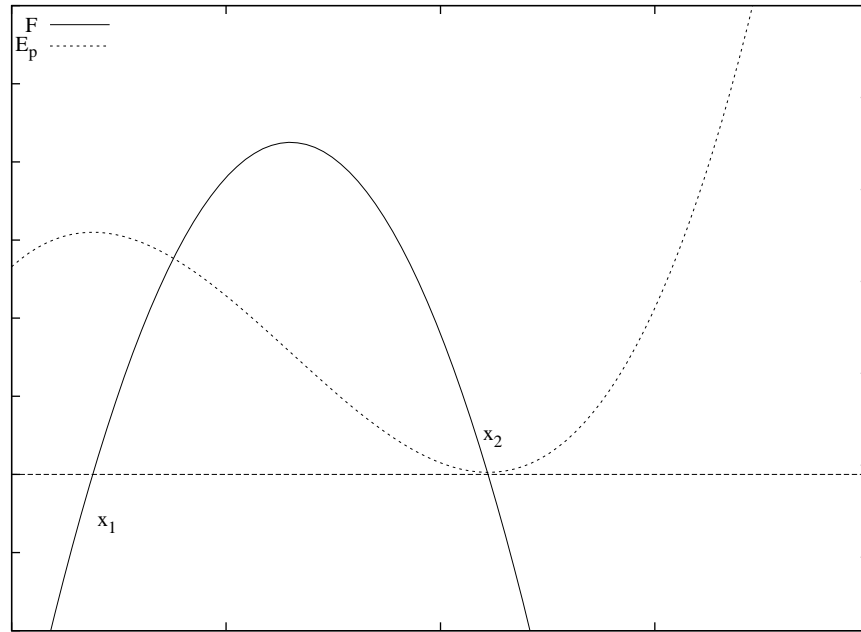
- se producen en torno a una posición de equilibrio estable
- son el resultado de una pequeña perturbación con respecto al equilibrio

además, la constante recuperadora es la derivada de la fuerza evaluada en dicho punto de equilibrio estable.

Podemos analizar también este tipo de oscilaciones en términos de energía potencial  $U$ , en lugar de fuerza. Recordando la definición de energía potencial en fuerzas conservativas, tenemos que, si el sistema es unidimensional:

$$\vec{F} = -\frac{dU}{dx}\vec{i}$$

Siguiendo el caso de la fuerza representada en el gráfico anterior, tendríamos una energía potencial del tipo al que se muestra en la figura:



Obsérvese que los máximos y mínimos relativos de la función  $U(x)$  coinciden con los puntos donde la fuerza es cero.

$$\left. \begin{array}{l} \text{si } x = x_1 \\ \text{si } x = x_2 \end{array} \right\} \Rightarrow F = -\frac{dU}{dx} = 0 \Rightarrow \text{equilibrio} \begin{cases} \text{inestable } (U(x_1) \text{ max}) \\ \text{estable } (U(x_2) \text{ min}) \end{cases}$$

La diferencia es que mientras que en uno de los puntos de equilibrio, la energía potencial es un máximo relativo, en el otro ésta es un mínimo relativo. Si tenemos un máximo relativo (o local) de energía potencial, tenemos un equilibrio inestable, y si estamos en un mínimo relativo (o local) de la función  $U(x)$  entonces tenemos un punto de equilibrio estable, en torno al cual puede haber oscilaciones.

Desde el punto de vista de la energía potencial, para que dichas oscilaciones sean armónicas, la función  $U(x)$  ha de ser una parábola del tipo

$$U = (1/2)k(x - x_{eq})^2 \quad (3.7)$$

En general esto no se produce, y en el caso de la gráfica tampoco.

Veamos qué sucede con la energía potencial si realizamos un pequeño desplazamiento  $\Delta x$  desde la posición de equilibrio estable  $x_2$ . Observar en la

figura que la referencia para la energía potencial se ha escogido como  $x_{\text{ref}} = x_2$ , de modo que  $U(x_2) = U(x_{\text{ref}}) = 0$ .

El desarrollo en serie de  $U(x)$  en torno al punto  $x_2$  es:

$$U(x_2 + \Delta x) = \underbrace{U(x_2)}_{=0} + \underbrace{\frac{1}{1!} \frac{dU}{dx} \Big|_{x_2}}_{=0} \Delta x + \frac{1}{2!} \frac{d^2U}{dx^2} \Big|_{x_2} \Delta x^2 + \frac{1}{3!} \frac{d^3U}{dx^3} \Big|_{x_2} \Delta x^3 + \frac{1}{4!} \dots$$

Obsérvese que los dos primeros términos desaparecen (en  $x_2$  la energía potencial es cero, por ser la referencia escogida, y la primera derivada también lo es, puesto que se trata de un mínimo relativo). El primer término no nulo del desarrollo es el que va con  $\Delta x^2$ . Si además suponemos el desplazamiento muy pequeño ( $\Delta x \ll 1$ ) entonces nos podemos quedar con el primer término no nulo del desarrollo, porque  $\Delta x^2 \gg \Delta x^3 \gg \Delta x^4 \dots$ . Entonces, podemos dar por buena la aproximación:

$$U(x + \Delta x) \simeq \frac{1}{2} \left( \frac{d^2U}{dx^2} \right)_{x_2} \Delta x^2$$

Con lo cual, identificamos la derivada segunda *evaluada* en el punto de equilibrio como la constante recuperadora  $k$  en la ecuación (3.7). Por tanto, la frecuencia es  $\omega^2 = k/m \Rightarrow$

$$\omega = \sqrt{\frac{(d^2U/dx^2)_{x_{\text{eq}}}}{m}}$$

### 3.9 Superposición de armónicos

¿Qué sucede cuando dos oscilaciones armónicas se superponen? ¿Cuál es el resultado? Depende de cómo sean las superpuestas:

#### 3.9.1 Superposición de armónicos de igual frecuencia

Comenzaremos estudiando el caso de dos armónicos de amplitudes y fases distintas, pero igual  $\omega$ . El resultado de la superposición es otra oscilación armónica, con esa misma frecuencia:

$$\left. \begin{aligned} x_1(t) &= A_1 \sin(\omega t + \alpha_1) \\ x_2(t) &= A_2 \sin(\omega t + \alpha_2) \end{aligned} \right\} \Rightarrow x(t) = x_1(t) + x_2(t) = A \sin(\omega t + \alpha)$$

Veamos cuál es la amplitud resultante  $A$ , y la fase  $\alpha$ .

Utilizamos la relación trigonométrica de seno de la suma:  $\sin(\theta + \phi) = \sin \theta \cos \phi + \cos \theta \sin \phi$ .

$$x = A \sin(\omega t + \alpha) = A (\sin \omega t \cos \alpha + \sin \alpha \cos \omega t) \quad (3.8)$$

por otro lado:

$$x = x_1 + x_2 = A_1 \sin(\omega t + \alpha_1) + A_2 \sin(\omega t + \alpha_2) \Rightarrow$$

$$x = A_1 (\sin \omega t \cos \alpha_1 + \sin \alpha_1 \cos \omega t) + A_2 (\sin \omega t \cos \alpha_2 + \sin \alpha_2 \cos \omega t) \quad (3.9)$$

Igualemos las ecuaciones (3.8) y (3.9), y sacamos por un lado factor común  $\sin \omega t$  y por otro factor común  $\cos \omega t$ , es decir:

$$\begin{aligned} \sin \omega t (A \cos \alpha) + \cos \omega t (A \sin \alpha) = \\ \sin \omega t (A_1 \cos \alpha_1 + A_2 \cos \alpha_2) + \cos \omega t (A_1 \sin \alpha_1 + A_2 \sin \alpha_2) \end{aligned}$$

A continuación igualamos, por separado, la parte proporcional al seno y la parte proporcional al coseno.

$$\cos \omega t \implies A \sin \alpha = A_1 \sin \alpha_1 + A_2 \sin \alpha_2 \quad (3.10)$$

$$\sin \omega t \implies A \cos \alpha = A_1 \cos \alpha_1 + A_2 \cos \alpha_2 \quad (3.11)$$

dividiendo la ecuación (3.10) entre la ecuación (3.11):

$$\boxed{\tan \alpha = \frac{A_1 \sin \alpha_1 + A_2 \sin \alpha_2}{A_1 \cos \alpha_1 + A_2 \cos \alpha_2}}$$

elevando al cuadrado las ecuaciones (3.10) y (3.11) y después sumándolas, se obtiene:

$$\begin{aligned} A^2(\cos^2 \alpha + \sin^2 \alpha) &= A_1^2 \sin^2 \alpha_1 + A_2^2 \sin^2 \alpha_2 + 2A_1 A_2 \sin \alpha_1 \sin \alpha_2 + \\ &+ A_1^2 \cos^2 \alpha_1 + A_2^2 \cos^2 \alpha_2 + 2A_1 A_2 \cos \alpha_1 \cos \alpha_2 \implies \\ A^2 &= A_1^2 + A_2^2 + 2A_1 A_2 (\cos \alpha_1 \cos \alpha_2 + \sin \alpha_1 \sin \alpha_2) \implies \\ &\boxed{A^2 = A_1^2 + A_2^2 + 2A_1 A_2 \cos(\alpha_2 - \alpha_1)} \end{aligned}$$

Es interesante observar que la amplitud dependerá de la diferencia de fase entre las dos oscilaciones superpuestas. Si están en fase ( $\alpha_1 = \alpha_2$ ), entonces la amplitud es la suma  $A = A_1 + A_2$ , mientras que si están en contrafase ( $\alpha_2 - \alpha_1 = \pi$ ), entonces la amplitud es la resta  $A = A_1 - A_2$ .

### 3.9.2 Superposición de armónicos de igual amplitud y fase, pero distinta $\omega$

Ahora vamos a estudiar un caso disinto: tenemos dos ondas de igual amplitud pero frecuencias distintas. La fase inicial la tomamos como cero por simplicidad.

$$\left. \begin{aligned} x_1 &= A \sin \omega_1 t \\ x_2 &= A \sin \omega_2 t \end{aligned} \right\} x = x_1 + x_2 = A(\sin \omega_1 t + \sin \omega_2 t)$$

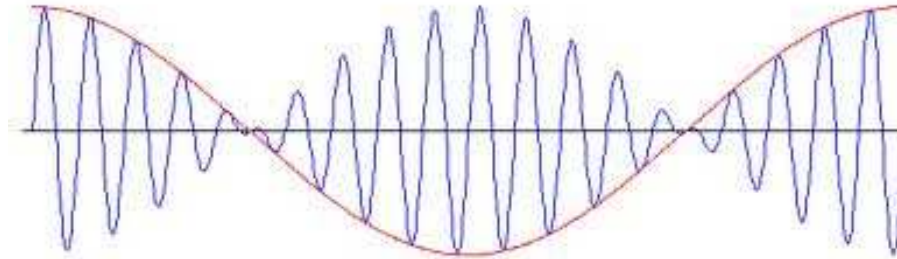
ahora echamos mano de la identidad trigonométrica:

$$\sin \theta + \sin \phi = 2 \sin \left( \frac{\theta + \phi}{2} \right) \cos \left( \frac{\theta - \phi}{2} \right)$$

esto nos permite escribir la ecuación previa así:

$$x = A(\sin \omega_1 t + \sin \omega_2 t) = 2A \cos \left( \frac{\omega_1 - \omega_2}{2} t \right) \sin \left( \frac{\omega_1 + \omega_2}{2} t \right)$$

Esta ecuación la podemos interpretar como una oscilación a frecuencia  $(\omega_1 + \omega_2)/2$ , (que es la frecuencia promedio) pero con una amplitud modulada,  $A = 2A \cos[(\omega_1 - \omega_2)t/2]$ .



La amplitud tiene unos valores que van desde 0 hasta  $2A$ . El periodo de la modulación de la amplitud es  $2\pi/(\omega_1 - \omega_2)$ .

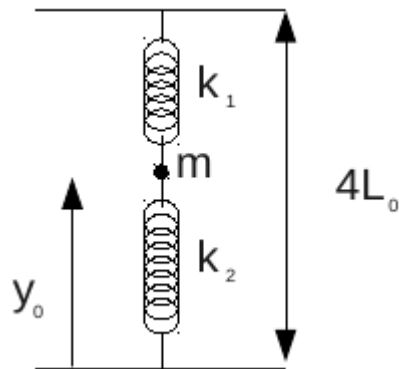
Se puede demostrar que si las amplitudes de las dos oscilaciones superpuestas son distintas,  $A_1 \neq A_2$ , entonces la amplitud toma valores en el intervalo  $A_1 - A_2 \leq A \leq A_1 + A_2$ .

Cuando las dos oscilaciones superpuestas están en fase, entonces  $A = A_1 + A_2 \rightarrow \omega_1 t = \omega_2 t + 2n\pi$ , con  $n$  número natural.

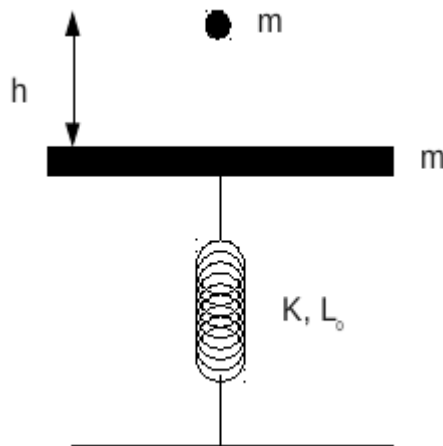
Cuando las oscilaciones están en contrafase:  $A = A_1 - A_2$ , es decir:  $\omega_1 t = \omega_2 t + (2n - 1)\pi$ .

### 3.10 Ejercicios de Oscilaciones

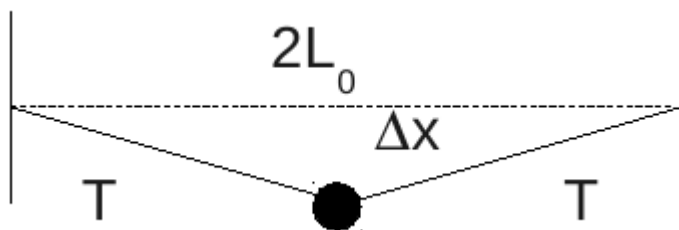
1. Un objeto se deposita sobre una plancha horizontal que oscila armónicamente en paralelo al suelo, con amplitud  $A$  y frecuencia  $\omega$ . ¿Cuál ha de ser el valor mínimo del coeficiente de rozamiento  $\mu$  para que el cuerpo no resbale durante las oscilaciones?
2. Si se conectan en serie dos muelles con constantes  $K_1$  y  $K_2$  respectivamente, ¿cual es la constante  $K$  del muelle equivalente?
3. En el sistema de la figura tenemos dos resortes de longitud natural  $L_0$  y constantes recuperadoras  $k_1$  y  $k_2$ , unidos a una masa  $m$  a partir de dos puntos fijos separados una distancia  $4L_0$ . (i) Calcular la posición de equilibrio,  $y_0$ , de la masa  $m$ . (ii) Calcular los valores de  $k_1$  y  $k_2$  para que  $y_0 = L_0$ . (iii) Si se desplaza verticalmente la masa  $m$  y se deja al sistema evolucionar libremente, se produce un movimiento oscilatorio. Deducir si éste es armónico y, en caso afirmativo calcular el periodo de oscilación. (iv) Si  $k_1 = k_2$ , y el desplazamiento inicial es  $y_0/2$ , obtener las expresiones de posición y velocidad en función del tiempo. Comprobar que la energía mecánica del sistema es la misma en el punto más alto y en el punto de equilibrio  $y_0$ .



4. Sobre un muelle situado en posición vertical, y de constante  $k$  y longitud natural  $L_0$  tenemos situado un platillo de masa  $m$ . Desde una altura  $h$  (medida desde el platillo) se deja caer una partícula de masa  $m$  que choca inelásticamente con el platillo (es decir, tras el choque ambos quedan adheridos y se mueven con la misma velocidad). (i) Comprobar que el movimiento del sistema resultante (partícula+platillo) tras la colisión es armónico. (ii) Calcular la amplitud, frecuencia y posición de equilibrio de dicho movimiento, (iii) ¿Desde qué altura, como máximo, se ha de dejar caer a la partícula  $m$  para que durante las oscilaciones no hagan que ésta se separe del platillo? Suponer que no hay fuerzas de adherencia entre masa y platillo.



5. En una mesa horizontal y sin rozamiento tenemos dos alambres de longitud  $L_0$ , cada uno de ellos unido a un punto fijo, unidos entre sí mediante una partícula de masa  $m$ . La tensión en ambos alambres es  $T$ . Si se realiza un pequeño desplazamiento  $\Delta x \ll L_0$ , se producen oscilaciones. Suponiendo que la tensión en los alambres permanece constante durante el movimiento, deducir la ecuación del movimiento. Realizar un desarrollo en serie, despreciando las potencias iguales o superiores a  $(\Delta x/L_0)^2$ . ¿Cuál es la frecuencia de oscilación en este caso?



6. En el sistema del ejercicio anterior se sustituyen los alambres por muelles idénticos, de constante  $L_0$  y contante  $k$ . Deducir la ecuación del movimiento. Realizar un desarrollo en serie de potencias hasta obtener los dos primeros términos no nulos ¿Se puede determinar la frecuencia en este caso, si  $\Delta x \ll L_0$ ?
7. Una partícula de masa  $m$  tiene una energía potencial:

$$U(x) = U_0 \left[ 1 - e^{-a(x-x_0)} \right]^2$$

donde  $U_0$ ,  $a$ ,  $x_0$ , son constantes, mientras  $x$  es la posición de partícula. Representar gráficamente  $U(x)$  y hacer un desarrollo en serie de potencias en torno a  $x' = x - x_0$ . Si se desplaza a la masa  $m$  ligeramente respecto a su posición de equilibrio, ¿cuál es la frecuencia del movimiento resultante? ¿es armónico?.

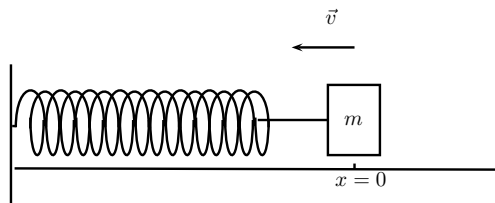
8. La constante elástica de un oscilador es  $k = 20 \text{ N/m}$  y su masa es  $m = 1.25 \text{ kg}$ . (a) Calcular la frecuencia natural  $\omega_0$  en rad/s y el periodo  $T$ .

Si inicialmente su elongación es de  $0.04 \text{ m}$  y su velocidad de  $0.12 \text{ m/s}$ , (b) Calcular su amplitud en metros y el ángulo de fase inicial. Calcular también la energía cinética máxima, la energía potencial máxima y la energía mecánica total.

Pasados 2 minutos, la amplitud del oscilador se reduce a la mitad como consecuencia de la acción de una fuerza de amortiguamiento proporcional a la velocidad del oscilador. (c) Calcular el coeficiente de amortiguamiento  $\gamma$ . Calcular el periodo y la frecuencia amortiguados. (d) La energía disipada en el primer periodo. (e) El porcentaje de energía que se disipa en 5 minutos. (f) El factor de calidad  $Q$ .

### 3.11 Cuestiones de oscilaciones

1. En el instante  $t = 0$ , un muelle (horizontal) conectado a una masa  $m$  tiene su longitud natural (su elongación vale  $x = 0$ ), mientras que su velocidad es  $v = -3 \text{ m/s}$  (está contrayéndose).



Si la elongación del muelle se describe con la ecuación  $x(t) = A \cos(\omega t + \phi)$ , ¿cuánto vale la fase  $\phi$ ?

- $\pi/2$  o  $3\pi/2$
  - $\pi$  o  $2\pi$
  - $\pi/4$  o  $5\pi/4$
  - $3\pi/4$  o  $7\pi/4$
2. Volviendo al caso anterior, si la constante del muelle vale  $k = 10 \text{ N/m}$  y  $m = 0.1 \text{ kg}$ , cuanto vale la amplitud?
- 3.0 m
  - 1.0 m
  - 0.3 m
  - 0.1 m

3. El potencial de Yukawa, utilizado para describir interacciones entre neutrones y protones dentro del núcleo atómico, viene dado por la siguiente expresión:

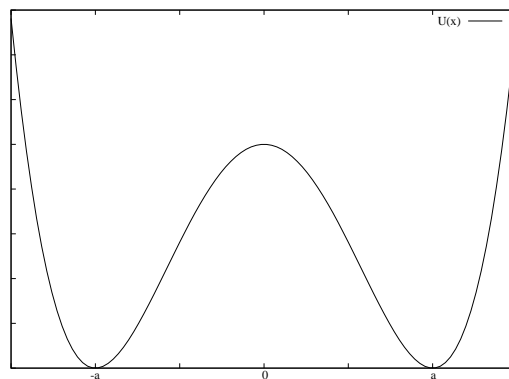
$$U(r) = -\frac{\gamma^2}{r} e^{-r/r_0}$$

donde  $\gamma^2$  y  $r_0$  son constantes, positivas, y  $r$  es la distancia entre protón y neutrón. ¿Cómo es la fuerza que da lugar a dicho potencial?

- $F < 0$ : Es una fuerza atractiva.
  - $F > 0$ : Es una fuerza repulsiva.
  - Depende del valor de  $r$ ,  $F$  puede ser atractiva o repulsiva.
4. Sea un potencial dado por la siguiente expresión:

$$U(x) = k(x^2 - a^2)^2$$

con  $k, a$  constantes positivas.



¿Cuál de las siguientes afirmaciones es correcta?

- $x = \pm a$  son puntos de equilibrio inestables,  $x = 0$  es un punto de equilibrio estable.



- $x = \pm a$  y  $x = 0$  son puntos de equilibrio inestables.
  - $x = \pm a$  y  $x = 0$  son puntos de equilibrio estables.
  - $x = \pm a$  son puntos de equilibrio estables,  $x = 0$  es un punto de equilibrio inestable.
5. Una masa  $m$  se suspende de un muelle de constante  $k$ , en presencia del campo gravitatorio. ¿Cuánto se contrae el muelle?
- $2mg/k$
  - $mg/k$
  - $mg/(2k)$
  - $2k/(mg)$
6. ¿Qué longitud ha de tener un péndulo ideal para que medio periodo dure 1 segundo aproximadamente? Utilizar  $g = 9.81 \text{ m/s}^2$ .
7. ¿Y si el péndulo está en la superficie de Marte, donde  $g = 3.72 \text{ m/s}^2$ ?



## Capítulo 4

# Sólido Rígido

### 4.1 Objetivos

El de sólido rígido es un capítulo en el que se estudian sistemas físicos que tienen nuevos grados de libertad: rotación. Es por ello que necesitaremos trabajar con conceptos y magnitudes nuevos. Será necesario comprender el significado físico de, por ejemplo, el momento angular y el momento de inercia para poder entender las situaciones que se nos plantearán. Además, desde el punto de vista energético, aparecen nuevas contribuciones que deberán ser tenidas en cuenta. Los objetivos de este tema son:

- Entender el significado físico del momento de inercia de un sólido y comprender su utilidad práctica.
- Saber plantear ecuaciones del movimiento en sólidos rígidos en rotación.
- Comprender las repercusiones que, desde el punto de vista energético, tiene la rotación.
- Saber explicar cómo afecta a un sólido en rotación la elección del eje.
- Plantear las fuerzas de ligadura necesarias para que un sistema mantenga su estado de rotación.
- Entender casos sencillos como los de rodadura sin deslizamiento, o el péndulo físico.

### 4.2 Introducción

En este capítulo nos ocuparemos de la dinámica del sólido rígido, entendiendo como tal un sólido indeformable. Es decir, la distancia relativa entre las partículas que lo componen se considera constante.

Como vamos a trabajar con sólidos que tienen unas dimensiones finitas, el movimiento en general es una combinación de los dos tipos de movimiento simple: traslación y rotación. Cuando trabajábamos con partículas (o sistemas que podemos modelar como partículas a la hora de estudiar su movimiento) solo había traslación, pero ahora tenemos un nuevo grado de libertad.

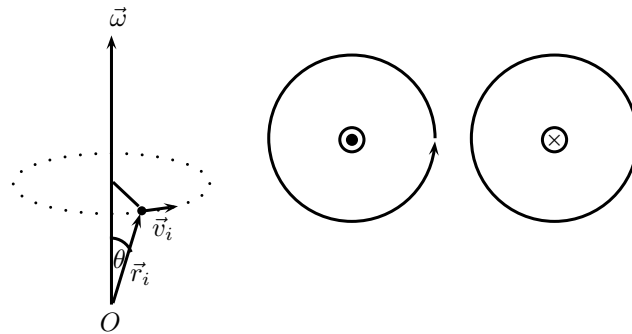
Para la traslación, podemos tratarlo teniendo en cuenta que, como vimos en los sistemas de partículas, su dinámica sería la de una partícula ubicada en el centro de masas.

Sin embargo, si el sólido rígido rota en torno a un eje fijo, debemos introducir una nueva magnitud para su estudio, el **momento de inercia**  $I$ .

## 4.3 Rotación en torno a un eje fijo y momento de inercia

### 4.3.1 Convenio de sentido de rotación

Cuando un sólido rígido (o una partícula) rota con velocidad angular  $\omega$  en torno a un eje, por ejemplo el  $OZ$ , existe un convenio según el cual se representa el vector  $\vec{\omega} = \omega \vec{k}$ , paralelo al eje de rotación. El sentido de rotación se deduce utilizando la *regla de la mano derecha*, según la figura de a continuación:



donde el símbolo  $\odot$  representa una flecha saliendo del plano donde está dibujado, apuntando hacia el lector, mientras que el símbolo  $\otimes$  tiene la misma dirección pero sentido opuesto.

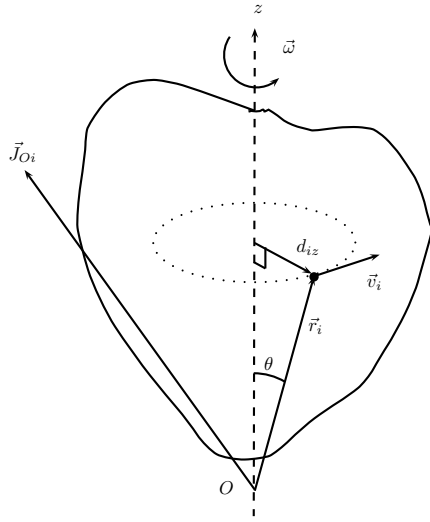
Si escogemos un origen para el vector  $\vec{r}_i$  en el mismo eje, podemos escribir la velocidad de la partícula  $i$  como el producto vectorial:

$$\vec{v}_i = \vec{\omega} \times \vec{r}_i \quad (4.1)$$

Pensemos que  $|\vec{r}_i| \sin \theta$  es el radio de la circunferencia que describe la partícula  $i$ , mientras que la velocidad  $\vec{v}_i$  es al mismo tiempo perpendicular a  $\vec{r}_i$  y a  $\vec{\omega}$ . Todo tiene sentido pues.

### 4.3.2 Momento angular de un sólido rígido en rotación

Supongamos ahora que queremos averiguar el momento angular de una partícula de las que componen un determinado sólido rígido que está rotando con velocidad angular  $\vec{\omega} \parallel OZ$ , como se muestra en la figura. El origen de coordenadas  $O$  está ubicado en el eje de rotación.



Entonces,

$$\vec{J}_{O,i} = \vec{r}_i \times \vec{p}_i = m_i(\vec{r}_i \times \vec{v}_i) \quad (4.2)$$

mientras que el momento angular total del sólido (que está compuesto por  $n$  partículas) sería:

$$\vec{J}_O = \sum_{i=1}^n \vec{J}_{O,i} = \sum_{i=1}^n m_i(\vec{r}_i \times \vec{v}_i)$$

[Recordar:  $\vec{J}_{O,i}$  es el momento angular de la partícula  $i$  (que forma parte del sólido rígido) con respecto al origen de coordenadas  $O$ . En cambio  $\vec{J}_O$  es el momento angular de todo el sólido rígido, es decir, la suma de los momentos angulares de cada una de las partículas, desde  $i = 1$  hasta  $i = n$ ]

La proyección de  $\vec{J}_{O,i}$  sobre el eje de rotación, que es el  $OZ$ , es:

$$(\vec{J}_{O,i})_z = \vec{J}_{O,i} \cdot \vec{k}$$

Análogamente sucede con el momento angular total:

$$(\vec{J}_O)_z = \vec{J}_O \cdot \vec{k}$$

Esta última expresión la podemos desarrollar:

$$(\vec{J}_O)_z = \sum_{i=1}^n (\vec{J}_{O,i})_z = \sum_{i=1}^n m_i \vec{k} \cdot (\vec{r}_i \times \vec{v}_i) = \sum_{i=1}^n m_i \vec{v}_i \cdot (\vec{k} \times \vec{r}_i)$$

donde se ha utilizado para dar el último paso una propiedad de los productos escalar y vectorial:  $\vec{A} \cdot (\vec{B} \times \vec{C}) = \vec{C} \cdot (\vec{A} \times \vec{B})$ .

Llegados a este punto podemos utilizar la expresión (4.1) para sustituir  $\vec{v}_i$  en la última ecuación:

$$(\vec{J}_O)_z = \sum_{i=1}^n m_i \vec{v}_i \cdot (\vec{k} \times \vec{r}_i) = \sum_{i=1}^n m_i (\vec{\omega} \times \vec{r}_i) \cdot (\vec{k} \times \vec{r}_i) = \sum_{i=1}^n m_i \omega (\vec{k} \times \vec{r}_i) \cdot (\vec{k} \times \vec{r}_i) =$$

$$= \sum_{i=1}^n m_i \omega |\vec{k} \times \vec{r}_i|^2 = \sum_{i=1}^n m_i \omega (r_i \sin \theta_i)^2 = \left( \sum_{i=1}^n m_i d_{iz}^2 \right) \omega$$

donde  $d_{iz} = r_i \sin \theta_i$  es la distancia de la partícula  $i$  al eje de rotación.

### 4.3.3 Momento de Inercia

En resumen, vemos que tras unas pocas operaciones algebraicas podemos deducir que la proyección, sobre el eje de rotación, del momento angular es proporcional a la frecuencia  $\omega$  y a una cantidad (entre paréntesis en la última expresión) que sólo depende de la estructura interna del sólido rígido. A esta cantidad la denominamos momento de inercia y la denotamos con la letra  $I$ .

$$I_z = \sum_{i=1}^n d_{iz}^2 m_i$$

$$\left( \vec{J}_O \right)_z = I_z \omega$$

Observar que el momento de inercia depende del eje en torno al que gire el sólido.

Si el sólido es continuo, es decir, es inviable realizar un sumatorio sobre todas sus partículas, entonces el momento de inercia se ha de calcular realizando una integral sobre todo el volumen del sólido.

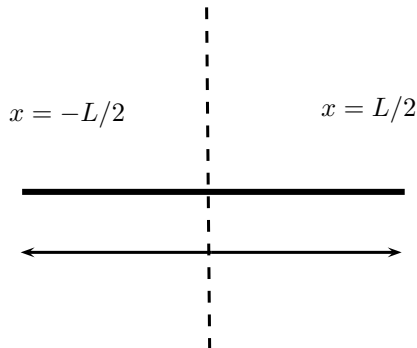
$$\text{si } n \rightarrow \infty \implies \sum_{i=1}^n m_i d_i^2 \rightarrow \int_{Vol} dm D^2$$

donde la integral se realiza sobre todos los elementos diferenciales de masa  $dm$  que conforman el sólido, siendo  $D^2$  el cuadrado de la distancia de cada uno de estos elementos al eje de rotación.

En general no se puede escribir  $\vec{J}_O = I \vec{\omega}$ , porque el momento angular y el eje apuntan en direcciones distintas. Existen algunos ejes de rotación, que son ejes de simetría del sólido que está girando, tales que se cumple que  $\vec{J} = I_Z \vec{\omega}$ . Dichos ejes también se suelen llamar ejes principales de inercia.

Si queremos calcular el momento de inercia de un objeto bidimensional (por ejemplo un disco) la integral pasa de ser de volumen a ser una integral de superficie, mientras que si el objeto es lineal (por ejemplo una varilla) entonces la integral es una integral de línea.

#### 4.3.4 Momento de inercia de una varilla



Una varilla de sección despreciable, homogénea, de longitud  $L$  y masa  $M$  rotando en torno a su centro de masas:

Antes de nada, la definición de momento de inercia,

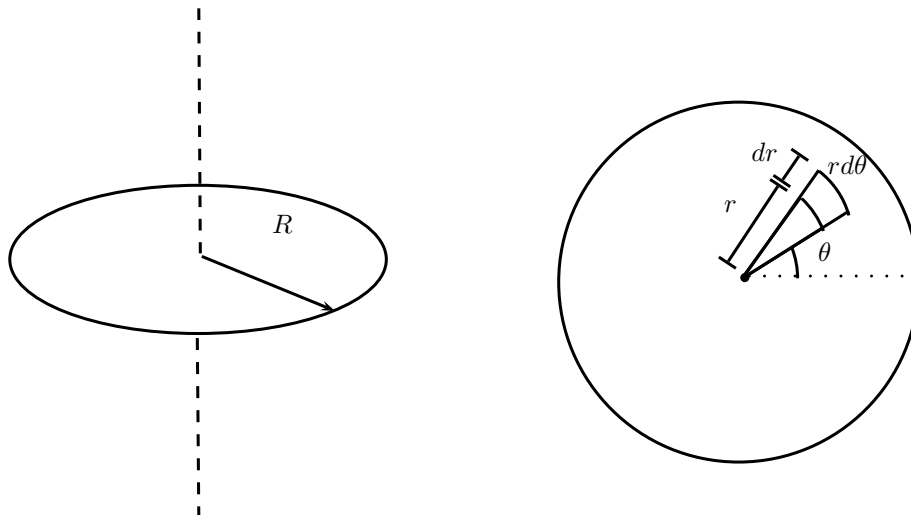
$$I = \int_L dm D^2$$

cada elemento  $dm$ , ¿qué masa tiene? Los elementos infinitesimales de masa  $dm$  tienen todos la misma longitud,  $dx$ .

Mediante una sencilla regla de tres (puesto que la varilla es homogénea) vemos que  $dm = M dx/L$ . Vemos que estamos pasando de hacer una integral en la variable masa  $m$  a hacerla en la variable espacial  $x$ . Colocamos el origen de coordenadas en la intersección del eje con la varilla. La distancia de cada punto  $dm$  al eje es precisamente  $x$ . Finalmente quedan por definir los límites de integración: en nuestro caso la  $x$  va desde  $-L/2$  hasta  $+L/2$ . Con lo cual:

$$I = \int_L dm D^2 = \int_{-L/2}^{L/2} dx \frac{M}{L} x^2 = \frac{M}{L} \frac{1}{3} [x^3]_{-L/2}^{L/2} = \frac{ML^2}{12}$$

#### 4.3.5 Momento de inercia de un disco

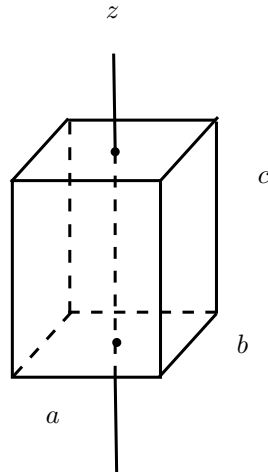


Un disco plano, homogéneo, de masa  $M$  y radio  $R$ , rotando en torno a un eje que pasa por su centro de masas, y que es perpendicular al propio disco.

Aquí tenemos un objeto bidimensional, con lo que la integral debe hacerse sobre una superficie. Lo más sencillo es utilizar coordenadas polares, y pasar de  $(x, y)$  a  $(r, \theta)$ , coordenadas que ya conocemos. La superficie total es  $\pi R^2$ . Un elemento diferencial de superficie es, en polares (ver dibujo)  $rdrd\theta$ , y tendrá una masa:  $dm = rdrd\theta M/\pi R^2$ . La distancia  $D^2$  es precisamente  $r^2$ , y ahora las variables de integración son dos,  $r$ ,  $\theta$ . Sus límites de integración son  $0 \leq r \leq R$  y  $0 \leq \theta \leq 2\pi$ . Entonces la integral del momento de inercia queda:

$$\begin{aligned} I_z &= \int_{Sup} dm D^2 = \int_0^{2\pi} d\theta \int_0^R \left( r \frac{M}{\pi R^2} r^2 \right) dr = \frac{M}{\pi R^2} \int_0^{2\pi} d\theta \int_0^R r^3 dr = \\ &= \frac{M}{\pi R^2} \int_0^{2\pi} d\theta \frac{R^4}{4} = \frac{M}{\pi R^2} 2\pi \frac{R^4}{4} = \frac{MR^2}{2} \end{aligned}$$

#### 4.3.6 Momento de inercia de un paralelepípedo



Un bloque paralelepípedo, homogéneo, de masa  $M$  y dimensiones  $a - b - c$ , rotando en torno al eje que pasa por su centro de masas, y que está orientado en la dirección  $OZ$ .

En esta ocasión tenemos un objeto tridimensional, la integral ha de hacerse sobre un volumen y por tanto en tres variables. En este caso las coordenadas cartesianas  $(x, y, z)$  son las más útiles. El volumen es  $V = abc$ , y la densidad  $\rho = M/V = M/abc$ . Un elemento diferencial de volumen sería  $dV = dx \cdot dy \cdot dz$ . Y la masa del mismo es:  $dm = \rho dV = M dx dy dz / abc$ . La distancia de cada punto  $(x, y, z)$  al eje de rotación es  $D^2 = x^2 + y^2$ . Finalmente, los límites de integración son, si situamos el origen de coordenadas en el centro de la base:  $-a/2 \leq x \leq a/2$ ,  $-b/2 \leq y \leq b/2$  y  $0 \leq z \leq c$ . La integral del momento de inercia nos queda así:

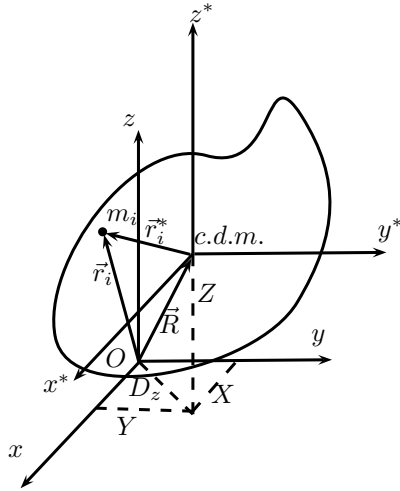
$$\begin{aligned} I_z &= \int_{Vol} dm D^2 = \int_0^c dz \int_{-b/2}^{b/2} dy \int_{-a/2}^{a/2} dx \frac{M}{abc} (x^2 + y^2) = \\ &= \frac{M}{abc} \int_0^c dz \int_{-b/2}^{b/2} dy \left( \frac{x^3}{3} + xy^2 \right)_{x=-a/2}^{x=a/2} = \frac{M}{abc} \int_0^c dz \int_{-b/2}^{b/2} dy \left( \frac{a^3}{12} + ay^2 \right) = \end{aligned}$$



$$\begin{aligned}
 &= \frac{M}{abc} \int_0^c dz \left( \frac{a^3 y}{12} + \frac{ay^3}{3} \right)_{y=-b/2}^{y=b/2} = \frac{M}{abc} \int_0^c dz \left( \frac{a^3 b}{12} + \frac{ab^3}{12} \right) = \\
 &= \frac{M}{abc} \frac{cab}{12} (a^2 + b^2) = \frac{M}{12} (a^2 + b^2)
 \end{aligned}$$

#### 4.3.7 Teorema de Steiner

Sea  $I_z^*$  el momento de inercia de un sólido de masa  $M$  cuando rota en torno a un eje  $z^*$  que pasa por su centro de masas. ¿Qué sucede con el momento de inercia ( $I_z^O$ ) si rota en torno a un eje paralelo al mismo pero que no pasa por el centro de masas sino a una distancia  $D_z$  del mismo?



En la figura tenemos un sólido rígido y dos sistemas de coordenadas cartesianas, el  $O$ , con los ejes  $x$ ,  $y$ ,  $z$ , y el sistema centrado en el centro de masas (cdm) con los ejes  $x^*$ ,  $y^*$ ,  $z^*$ . El vector  $\vec{R} = (X\vec{i} + Y\vec{j} + Z\vec{k})$  va desde  $O$  al cdm.

Veamos ahora cuanto vale el momento de inercia respecto al eje  $z$ , que es paralelo al eje  $z^*$ . Por definición:

$$I_z^O = \sum_i m_i d_{iz}^2 = \sum_i m_i (x_i^2 + y_i^2)$$

donde  $d_{iz}$  es la distancia de la partícula  $i$  al eje  $z$ , mientras que  $x_i$  e  $y_i$  son las componentes  $x$  e  $y$  de dicha distancia.

Obsérvese que estamos haciendo el sumatorio sobre todas las partículas que componen el sólido. La partícula  $i$ -ésima, tiene masa  $m_i$ , y su posición, para  $O$  viene dada por el vector  $\vec{r}_i$ , mientras que para el cdm se encuentra en  $\vec{r}_i^*$ . Por el dibujo:

$$\begin{aligned}
 \vec{r}_i &= \vec{r}_i^* + \vec{R} \implies \begin{cases} x_i = x_i^* + X \\ y_i = y_i^* + Y \end{cases} \implies \\
 I_z^O &= \sum_i m_i \left[ (x_i^*)^2 + (y_i^*)^2 + 2x_i^* X + 2y_i^* Y + X^2 + Y^2 \right]
 \end{aligned}$$

Por estar medidos desde el centro de masas, hay dos términos de la ecuación anterior que pueden ser eliminados:

$$\sum_i m_i x_i^* = \sum_i m_i y_i^* = 0$$

Por tanto:

$$I_z^O = \sum_i m_i \underbrace{\left[ (x_i^*)^2 + (y_i^*)^2 \right]}_{(d_{iz}^*)^2} + M (X^2 + Y^2)$$

Obsérvese que el primer término de la ecuación es, por definición, el momento de inercia respecto al eje  $z^*$ , mientras que el segundo es el producto de la masa  $M$  del sólido por el cuadrado de la distancia entre los ejes  $z$  y  $z^*$ .

Por lo tanto, según el teorema de Steiner, el momento de inercia cuando se gira en torno al nuevo eje es:

$$\boxed{I_z^O = I_z^* + M D_z^2}$$

#### 4.3.8 Ecuación del movimiento

Si tenemos un sistema de  $n$  partículas, el momento angular  $\vec{J}_O$  varía según la ecuación:

$$\frac{d\vec{J}_O}{dt} = \vec{N}_O = \sum_i^n \vec{N}_{Oi}^{\text{ext}}$$

como vimos en el tema II. Por otra parte la componente  $z$  de la ecuación anterior es:

$$\left( \frac{d\vec{J}_O}{dt} \right)_z = (\vec{N}_O)_z \implies \text{notación} \implies \frac{dJ_z}{dt} = N_z \quad (4.3)$$

Por otra parte, en este tema hemos visto que para un sólido rígido rotando con frecuencia  $\vec{\omega} = \omega \vec{k}$  en torno a un eje fijo, la proyección del momento angular sobre el eje es:

$$\begin{aligned} (\vec{J}_O)_z &= J_z = I_z \omega \implies \\ \frac{dJ_z}{dt} &= I_z \frac{d\omega}{dt} = I_z \alpha \end{aligned} \quad (4.4)$$

Combinando las ecuaciones (4.3) y (4.4) obtenemos una ecuación del movimiento:

$$\boxed{N_z = I_z \alpha = I_z \frac{d^2\theta}{dt^2}}$$

Esta ecuación es el equivalente a la segunda ley de Newton para rotación de sólidos rígidos. A partir de la misma podemos deducir  $\omega(t)$  y  $\theta(t)$ .

Cuando el eje de rotación es uno de los ejes inerciales principales, y pasa por el centro de masas, se escribe con un superíndice  $*$  ( $J^*$ ,  $I^*$ ). Reescribimos la ecuación con que hemos dado comienzo a esta sección:

$$\frac{d\vec{J}^*}{dt} = \vec{N}^*$$

Como estamos rotando en torno a un eje principal, se cumple que

$$\vec{J}^* = I^* \vec{\omega}$$

Entonces, combinando estas dos ecuaciones y siguiendo un proceso análogo al anterior, deducimos la siguiente ecuación del movimiento:

$$\boxed{\vec{N}^* = I\vec{\alpha}}$$

Esta ecuación es válida sólo cuando se rota en torno a un eje principal de inercia.

## 4.4 Energía Cinética de rotación

Un sólido rígido rotando en torno a un eje con velocidad angular  $\vec{\omega}$  tiene energía cinética de rotación, puesto que cada una de las partículas que lo componen tiene una velocidad.

La energía cinética de un sólido compuesto de  $n$  partículas, cada una de ellas con masa  $m_i$  y velocidad  $\vec{v}_i$ , es:

$$T = \frac{1}{2} \sum_i^n m_i v_i^2 = \frac{1}{2} \sum_i^n m_i \vec{v}_i \cdot \vec{v}_i = \frac{1}{2} \sum_i^n m_i \vec{v}_i \cdot (\vec{\omega} \times \vec{r}_i)$$

puesto que consideramos que el sólido está rotando con frecuencia  $\vec{\omega}$ . Recordemos ahora la propiedad del producto escalar de un vector por el producto vectorial de otros dos:  $\vec{A} \cdot (\vec{B} \times \vec{C}) = \vec{C} \cdot (\vec{A} \times \vec{B}) = \vec{B} \cdot (\vec{C} \times \vec{A})$ . Entonces, retomando la última ecuación:

$$T = \frac{1}{2} \sum_i m_i \vec{\omega} \cdot (\vec{r}_i \times \vec{v}_i)$$

como  $\vec{\omega}$  es igual para todos los puntos  $i$ , puede salir del sumatorio:

$$T = \frac{1}{2} \left\{ \sum_i m_i (\vec{r}_i \times \vec{v}_i) \right\} \cdot \vec{\omega} = \frac{1}{2} \vec{J} \cdot \vec{\omega}$$

Por tanto en un sólido rígido rotando con  $\vec{\omega}$ , la energía cinética de rotación es:

$$T = \frac{1}{2} \vec{J} \cdot \vec{\omega}$$

mientras que si tenemos rotación plana,  $\vec{J} = I\vec{\omega}$ , y por tanto, sustituyendo esto en la ecuación anterior:

$$\boxed{T = \frac{1}{2} I \omega^2}$$

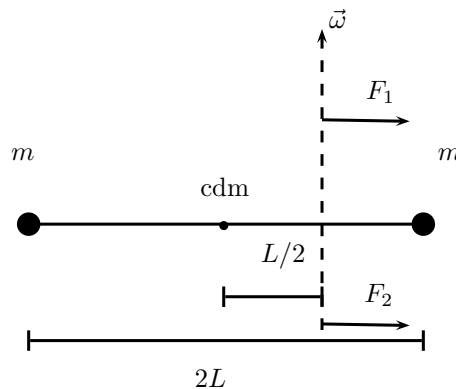
## 4.5 Fuerzas de Ligadura

Existen diversas situaciones en las que para mantener en el tiempo una rotación de un sólido rígido en torno a un eje fijo es necesario aplicar “fuerzas de ligadura”.

### 4.5.1 Caso I: Centro de masas no contenido en el eje de rotación

Si el eje de rotación no pasa por el centro de masas  $R_{\text{cdm}}$ , entonces éste está rotando, y por lo tanto su aceleración no es cero.

Ejemplo: Sólido rígido constituido por dos partículas de masa  $m$  situadas a distancia  $2L$ . El eje de rotación es perpendicular a la línea que las une, pero no pasa por el centro de masas, sino que queda a una distancia  $L/2$  del mismo.



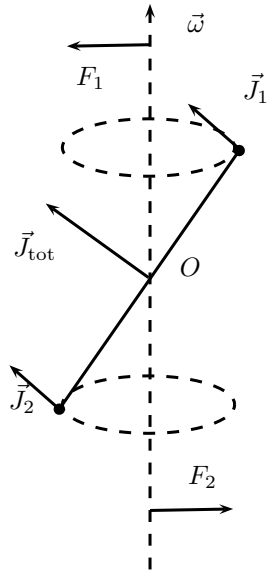
El centro de masas, por tanto, está describiendo un movimiento circular de radio  $L/2$ . El movimiento del cdm es el equivalente al de una partícula de masa  $M = 2m$  que describe esa circunferencia, y su aceleración (ver final del tema 1) es  $A = \omega^2 L/2$ . Por tanto, para mantener la rotación es necesario aplicar en el eje dos fuerzas de ligadura ( $F_1$  y  $F_2$ ) tales que  $F_1 + F_2 = 2m\omega^2 L/2 = m\omega^2 L$ , pero que al mismo tiempo no aporten momento.

En definitiva, cuando el eje de rotación no pasa por el centro de masas, es necesario que actúen fuerzas externas para compensar la aceleración del centro de masas y que el eje de rotación se mantenga fijo.

### 4.5.2 Caso II: El eje de rotación no es un eje principal de inercia

Si el eje de rotación pasa por el centro de masas pero no es un eje principal de inercia entonces suceden dos cosas: En primer lugar la aceleración del centro de masas es nula, puesto que el cdm está fijo, y por el otro lado no se conserva el momento angular. Para preservar el giro, han de actuar una serie de fuerzas externas que hagan que se cumpla la ecuación de conservación del momento angular.

Veamos un ejemplo utilizando el mismo sólido que en el caso I.



El centro de masas ( $O$ ) no sufre movimiento de traslación alguno, con lo que su aceleración es cero, y por tanto no es necesario actúen fuerzas externas desde este punto de vista:  $\vec{A}_{\text{cdm}} = 0 \rightarrow \sum \vec{F}_{\text{ext}} = 0$ .

Por otro lado el momento angular no se conserva (vemos que su dirección irá cambiando conforme vayan rotando las partículas de masa  $m$  que constituyen el sólido rígido). De hecho, para el observador situado en  $O$ , tenemos que  $\vec{J}_O$  describe un movimiento circular, y por tanto:

$$\frac{d\vec{J}_O}{dt} = \vec{\omega} \times \vec{J}_O \neq 0$$

Para que se mantenga la rotación del sólido rígido es necesario que actúe una fuerza externa total tal que se consiga una conservación de  $J$ . Pero si solo se introduce una fuerza externa, ya no se cumplirá la condición previamente impuesta de  $\sum \vec{F}_{\text{ext}} = 0$ . Es decir, se han de introducir dos fuerzas externas de ligadura,  $F_1$  y  $F_2$  actuando sobre el eje, tales que el momento de las mismas cumpla la ecuación de conservación del momento angular:

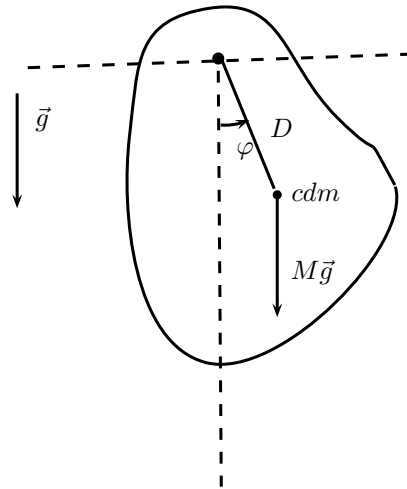
$$\vec{N}_{\text{ext}} = \vec{N}_{F_1} + \vec{N}_{F_2} = \frac{d\vec{J}_O}{dt},$$

pero al mismo tiempo, dichas fuerzas deben ser tales que  $F_1 + F_2 = 0$  para que la suma de fuerzas externas no ocasione un movimiento de traslación del cdm.

## 4.6 Ejemplos

### 4.6.1 El péndulo físico

Anteriormente se estudió el péndulo ideal. Se trata de una idealización porque, entre otras cosas, se consdiera que la masa que oscila es puntual. En esta ocasión vamos a sustituirla por un péndulo más realista, con masa  $M$  pero también con un volumen finito que, además, puede ser irregular. El péndulo físico es un sistema que tiene un grado de libertad, que le permite rotar en torno a un eje.



Supongamos que el sólido de la figura tiene momento de inercia  $I$  para el eje de rotación escogido. El punto fijo de rotación dista  $D$  del centro de masas ( $cdm$ ).

Por un lado tenemos la ecuación del movimiento:

$$I\alpha = N$$

¿Cuál es el momento  $\vec{N}$  de la fuerza? En primer lugar, vemos que sobre el sistema (péndulo) actúan dos fuerzas: el peso, (que actúa sobre el  $cdm$ ) y una fuerza de ligadura que se aplica en el punto de rotación, y que evita que el péndulo caiga. Si tomamos como origen de coordenadas dicho punto, la única fuerza que hace momento es el peso. El momento se define como el producto vectorial  $\vec{N} = \vec{r} \times \vec{F}$ . El vector  $\vec{r}$  es el que va desde el origen escogido (en este caso el eje de rotación) hasta el punto donde la fuerza se aplica ( $cdm$ ), es decir, es un vector de módulo  $D$  en nuestro diagrama. Entonces:

$$N = -MgD \sin \theta$$

donde el signo negativo indica que la fuerza es recuperadora, en sentido opuesto a las variaciones angulares.

Existiría otra fuerza, la fuerza de ligadura ejercida en el eje de rotación. Sin embargo el momento de esta fuerza es nulo, porque su distancia al origen es 0.

Por otro lado tenemos la ecuación del movimiento:

$$N = I\alpha = I \frac{d^2\theta}{dt^2}$$

De las dos últimas ecuaciones se deduce que:

$$I \frac{d^2\theta}{dt^2} = -MgD \sin \theta$$

Cuando el ángulo es pequeño, se puede aproximar por su seno:

$$\theta \ll 1 \implies \sin \theta \simeq \theta$$

Por tanto, la ecuación del péndulo físico para pequeños ángulos es:

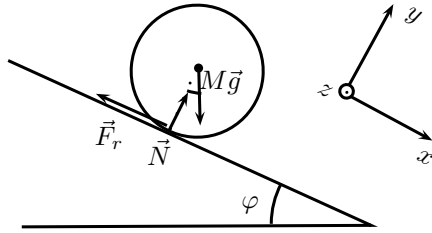
$$\frac{d^2\theta}{dt^2} = -\frac{MgD}{I} \theta$$

Es decir, para pequeños ángulos, el péndulo físico oscila armónicamente, con frecuencia  $\omega^2 = MgD/I$ , y un periodo  $T = 2\pi\sqrt{I/MgD}$ .

#### 4.6.2 Rodaduras sin deslizamiento

La ecuación del movimiento de sólidos rígidos también nos permite resolver otros problemas complejos en los que intervengan sólidos rígidos rodando. Un ejemplo es el de una esfera que, rodando, desciende por un plano inclinado. La esfera tiene masa  $M$  y radio  $R$ . Como está rodando (y no desliza) está actuando en el punto de contacto con el plano una fuerza de rozamiento, dirigida contra el sentido de avance. Por otro lado, en ese mismo punto tenemos la reacción normal del plano, y además está el peso que se aplica en el centro de masas de la esfera.

Con respecto a la fuerza de rozamiento, no es apropiado escribir una expresión del tipo  $F_r = \mu N$  puesto que esa es la máxima fuerza de rozamiento. Sin embargo, como la esfera está rodando, no podemos afirmar que la fuerza sea la máxima (si estuviese deslizando sí que podríamos decirlo)



Las fuerzas externas son, por tanto:

$$\vec{F}_{\text{ext}} = M\vec{g}, \vec{N}, \vec{F}_r$$

Con los ejes que hemos escogido, descomponemos las fuerzas:

$$M\vec{g} = \begin{cases} Mg \sin \varphi \vec{i} \\ -Mg \cos \varphi \vec{j} \end{cases}$$

$$\vec{N} = N\vec{i}$$

$$\vec{F}_r = -F_r\vec{i}$$

Tenemos por un lado un movimiento de traslación. La aceleración del centro de masas es  $\vec{A} = A\vec{i}$ . Planteamos dos ecuaciones:

$$\sum \vec{F}_{\text{ext}} = M\vec{A} \implies \begin{cases} Mg \sin \varphi - F_r = MA, \\ N - Mg \cos \varphi = 0 \end{cases} \quad (4.5)$$

Por el otro lado, con respecto al eje de rotación (centro de masas), sabemos que sólo la fuerza de rozamiento aporta momento.

$$\vec{N}^* = \vec{N}_{F_r} = RF_r(-\vec{k})$$

El momento de inercia de una esfera maciza rotando sobre un eje que pasa por su centro de masas es:  $I^* = (2/5)MR^2$ , y la ecuación del movimiento de

rotación de los sólidos rígidos nos dice que  $\vec{N}^* = I^* \vec{\alpha}$ , con lo que, utilizando la ecuación anterior:

$$\left. \begin{array}{l} \vec{N}^* = RF_r(-\vec{k}) \\ \vec{N}^* = I^* \vec{\alpha} \end{array} \right\} \Rightarrow F_r = \frac{2}{5}MR\alpha \quad (4.6)$$

puesto que  $\vec{\alpha} = \alpha(-\vec{k})$ .

Tenemos de momento tres incógnitas, la fuerza de rozamiento, la aceleración angular  $\vec{\alpha}$  y la aceleración del centro de masas. Pero sólo tenemos dos ecuaciones que nos sean útiles (porque la segunda ecuación de (4.5) no nos aporta información). Una última ecuación la planteamos teniendo en cuenta que la rodadura es sin deslizamiento, por tanto

$$A = \alpha R \quad (4.7)$$

Ahora ya tenemos tres ecuaciones (4.5), (4.6) y (4.7) y tres incógnitas.

Resolviendo el sistema se obtiene que  $A = (5/7)g \sin \varphi$ ,  $\alpha = (5/7)g \sin \varphi / R$  y  $F_r = (2/7)Mg \sin \varphi$ .

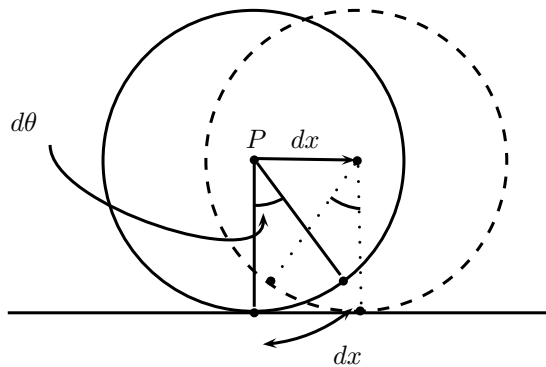
Hemos supuesto que hay rodadura sin deslizamiento, es decir, que la fuerza de rozamiento es menor que la fuerza de rozamiento máxima:

$$\frac{2}{7}Mg \sin \varphi \leq \mu N = \mu Mg \cos \varphi$$

Es decir, habrá rodadura siempre y cuando el coeficiente de rozamiento sea  $\mu \geq \frac{2}{7} \tan \varphi$ .

### Rodadura sin deslizamiento: relación de $A$ y $\alpha$

Supongamos que tenemos una esfera, disco o cilindro rodando sin deslizar por un plano, tal y como se muestra en la figura.



Si el sólido rígido rota un ángulo  $d\theta$ , vemos que el punto  $P$  avanza una distancia que es la misma que el arco que ha rodado. El arco es  $dX = r d\theta$ , donde  $r$  es el radio (importante! el ángulo en radianes). Entonces:

$$dX = r d\theta$$

Derivando con respecto al tiempo sacamos la velocidad del punto  $P$ .

$$\frac{dX}{dt} = r \frac{d\theta}{dt} \Rightarrow V = r\omega$$

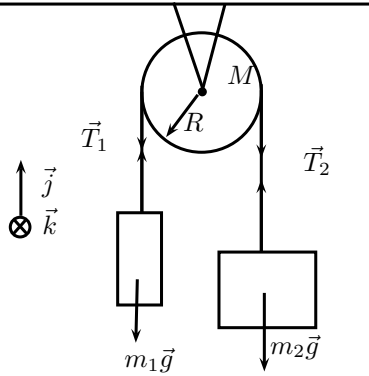


Si volvemos a derivar, tenemos la aceleración:

$$\frac{d^2 X}{dt^2} = r \frac{d^2 \theta}{dt^2} \Rightarrow A = r \alpha$$

### 4.6.3 La máquina de Atwood

La máquina de Atwood consta de dos bloques de masas  $m_1$  y  $m_2 < m_1$ , unidas por una cuerda a través de un disco de masa  $M$  y radio  $R$  que hace las veces de polea.



Suponemos que la cuerda, inextensible y sin masa apreciable, no desliza.

Antes de plantear ecuaciones, notar que, debido a la diferencia de masas, las aceleraciones de los bloques 1 y 2 son iguales y de sentido contrario.

En primer lugar, planteamos la 2ª ecuación de Newton para los bloques de masa  $m_1$  y  $m_2$ :

$$m_1 g - T_1 = m_1 a \quad (4.8)$$

$$T_2 - m_2 g = m_2 a \quad (4.9)$$

Por otro lado, la polea está rotando en torno a su eje, con  $\vec{\omega} \parallel \vec{k}$ . Sobre la polea actúan varias fuerzas: su propio peso, la fuerza de ligadura que la sostiene, y las tensiones  $T_1$  y  $T_2$ . Desde su centro de masas, sólo las dos últimas contribuyen a su momento  $\vec{N}^*$ .

$$N^* = T_1 R - T_2 R$$

Por otro lado, el momento de inercia de un disco de masa  $M$  y radio  $R$  es  $I^* = MR^2/2$ , y la ecuación del movimiento de los sólidos en rotación es:

$$N^* = I^* \alpha = \frac{1}{2} MR^2 \alpha$$

Juntando estas dos ecuaciones:

$$(T_1 - T_2)R = \frac{1}{2} MR^2 \alpha \quad (4.10)$$

De momento tenemos las incógnitas de las tensiones  $T_1$  y  $T_2$ , la aceleración  $a$  de los bloques y la aceleración angular  $\alpha$  de la polea. Necesitamos una ecuación más.

Supongamos ahora que estamos en un punto del borde del disco. Como la cuerda rueda sin deslizamiento, planteamos la ecuación de rodadura:

$$a = \alpha R \quad (4.11)$$

La aceleración en el borde del disco es el producto del radio por la aceleración angular.

Ahora ya tenemos 4 ecuaciones: las (4.8), (4.9), (4.10) y (4.11). Resolvemos: (4.8) + (4.9)  $\rightarrow$

$$(m_1 - m_2)g - (m_1 + m_2)a = T_1 - T_2$$

Con las ecuaciones (4.10) y (4.11) obtenemos la expresión:

$$(T_1 - T_2) = \frac{1}{2}Ma \implies$$

sustituyendo en la ecuación anterior:

$$(m_1 - m_2)g + (m_1 + m_2)a = \frac{1}{2}Ma \implies$$

$$a = g \frac{m_1 - m_2}{m_1 + m_2 + M/2}$$

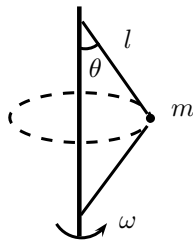
Es la aceleración con que la masa mayor cae y la masa menor sube. La polea rota con una aceleración angular:

$$\alpha = g \frac{m_1 - m_2}{R(m_1 + m_2 + M/2)}$$

Queda para el lector comprobar que las tensiones NO son iguales.

## 4.7 Ejercicios de Sólido Rígido

1. Una partícula de masa  $m$  está unida por dos hilos de igual longitud  $l$  a un eje fijo, que gira con velocidad angular  $\omega$  constante. Si el ángulo que forma el hilo con dicho eje es  $\theta$ , tal y como se indica en la figura, calcular:
  - a) La tensión en las cuerdas.
  - b) El momento angular de la partícula respecto al eje de giro.
  - c) Qué fuerza constante habría que aplicar, tangencialmente a la trayectoria que describe la partícula, para que ésta duplicara su velocidad en un tiempo  $t$ .



Resp: (a)  $T_{\text{arriba}} = \frac{m}{2} \left( \omega^2 l + \frac{g}{\cos \theta} \right), \quad T_{\text{abajo}} = \frac{m}{2} \left( \omega^2 l - \frac{g}{\cos \theta} \right),$

(b)  $J_O = m\omega l^2 \sin^2 \theta,$

(c)  $F = \frac{m\omega l \sin \theta}{t}.$

2. Una varilla de masa  $M$  y longitud  $L$  ( $I_{\text{CM}} = ML^2/12$ ) está en reposo, aunque puede girar libremente alrededor de uno de sus extremos. Si una masa  $m$  incide perpendicularmente a la varilla con velocidad  $v$ , a una distancia  $d$  del eje de giro, y como consecuencia de la colisión queda empujada en ella, calcular:

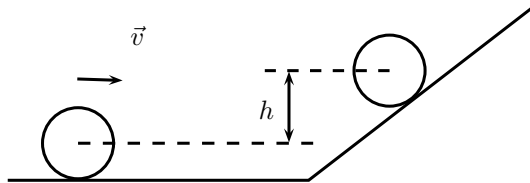
- El momento angular del sistema respecto al extremo fijo inmediatamente antes y después del choque.
- El momento lineal del sistema antes y después de la colisión.
- La energía cinética perdida en el choque.

Resp: (a)  $J_{\text{antes}} = J_{\text{despues}} = mdv$ ,

$$(b) p_{\text{antes}} = mv, \quad p_{\text{despues}} = \frac{3mdv(2md+LM)}{2(ML^2+md^2)},$$

$$(c) \Delta T = -\frac{1}{2} \left( \frac{ML^2}{ML^2+3md^2} \right) mv^2.$$

3. Un cilindro macizo y homogéneo de  $M = 100$  kg y 60 cm de radio rueda sin deslizar por una superficie horizontal con velocidad de traslación de 1 m/s.



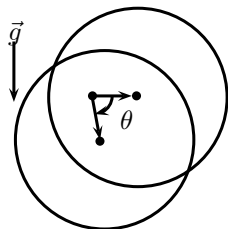
Suponiendo que el rozamiento es suficiente como para mantener la rodadura, calcular i) Su energía cinética de traslación. ii) Su energía cinética de rotación. iii) La altura máxima que podría alcanzar. iv) La altura máxima que podría alcanzar si en el plano inclinado, el rozamiento es nulo. Comparar con el anterior resultado.

Resp. (i)  $T_{\text{tr}} = 50$  J, (ii)  $T_{\text{rot}} = 25$  J, (iii)  $h_{\text{max}} = 0.076$  m, (iv)  $h_{\text{max}} = 0.051$  m.

4. La caja de un vagón tiene masa  $M$  y consta de cuatro ruedas (discos), cada una de ellas con masa  $m$  y radio  $r$ . Calcular la aceleración del vagón si actúa una fuerza  $F$  paralela al suelo (las ruedas ruedan sin deslizar). Momento de Inercia del disco de masa  $m$  y radio  $r$ :  $I = mr^2/2$ .

Resp.  $A = \frac{F}{6m+M}$ .

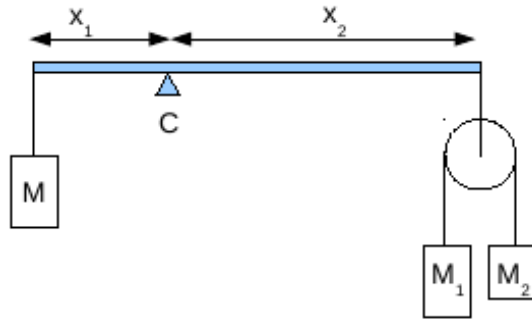
5. Un disco de masa  $M$  y radio  $R$  gira (dentro del plano que lo contiene) en torno a un punto O, que dista  $d$  ( $d < R$ ) del centro de masas.



En el momento en que se suelta, centro de masas y punto fijo están a la misma altura. Después, por efecto de la gravedad, comienza el movimiento. En una posición genérica del movimiento, dada por el ángulo  $\theta$  con la horizontal, obtener aceleración angular y velocidad angular.

$$\text{Resp. } \alpha(\theta) = \frac{gd \cos \theta}{R^2/2+d^2}, \quad \omega(\theta) = 2\sqrt{\frac{gd \cos \theta}{R^2/2+d^2}}$$

6. En el sistema de la figura,  $M_1 > M_2$ . La polea no tiene masa ni pérdidas por rozamiento y de los extremos de la varilla de la imagen, también sin masa, penden dos cuerdas inextensibles como se ve en el esquema.



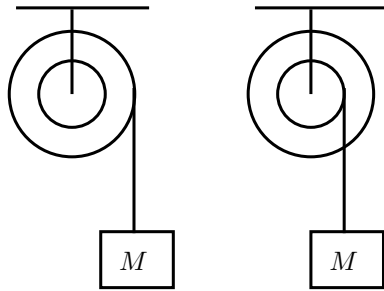
Calcular el valor de la masa  $M$  para que la varilla, de masa nula, se mantenga en equilibrio en posición horizontal en los siguientes supuestos.  
i) La polea está bloqueada para evitar que rote. ii) La polea puede girar libremente.

Calcular además la fuerza que se realiza en el punto  $C$  en cada uno de los casos.

Pista: Para el caso (i) ten en cuenta que la tensión en la cuerda del extremo derecho de la varilla es la suma de las tensiones de cada uno de los bloques  $M_1$  y  $M_2$ , que son distintas por estar la polea bloqueada. Para el caso (ii) ten en cuenta que estas dos tensiones son iguales por estar la polea sin masa girando libremente. Además, para ambos apartados, recuerda que la varilla está en equilibrio si tanto la suma de las fuerzas que sobre ella actúan como la suma de sus momentos es cero.

$$\text{Resp. (i) } M = (M_1 + M_2) \frac{x_2}{x_1}, \quad \text{(ii) } M = 4 \frac{M_1 M_2}{M_1 + M_2} \frac{x_2}{x_1}.$$

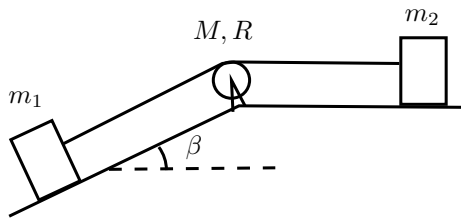
7. Un disco de momento de inercia  $I^* = (1/2)mR^2$  (donde  $m$  es su masa y  $R$  su radio) ejerce de polea. De ella pende un bloque de masa  $M$ . La cuerda carece de masa y es inextensible. Por las características de la polea, la cuerda se puede enganchar en una garganta exterior (a distancia  $R$  del eje) y en otra garganta interior, a distancia  $R/2$  del eje.



Calcular la aceleración con que, por efecto de la gravedad ( $g = 9.8 \text{ m/s}^2$ ) cae el bloque en cada uno de los casos.

Resp. (a)  $a = g \frac{M}{M+m/2}$ , (b)  $a = g \frac{M}{M+2m}$ .

8. El sistema de la figura está formado por dos masas  $m_1$  y  $m_2$  unidas por una cuerda inextensible mediante una polea de masa  $M$  y radio  $R$ . Entre  $m_1$  y el plano inclinado el coeficiente de rozamiento cinético es  $\mu$  y entre el plano horizontal y  $m_2$  no hay rozamiento. Inicialmente el sistema se encuentra en reposo y se suelta, moviéndose como se indica en la figura.



a) Para cada elemento del sistema, representar las fuerzas que actúan y expresar las ecuaciones del movimiento.

b) Calcular la aceleración de los bloques y las tensiones en la cuerda. Dato: El momento de inercia de la polea vale  $I = MR^2/2$ .

Resp.  $a = g \frac{m_1(\sin \beta - \mu \cos \beta)}{m_1 + m_2 + M/2}$

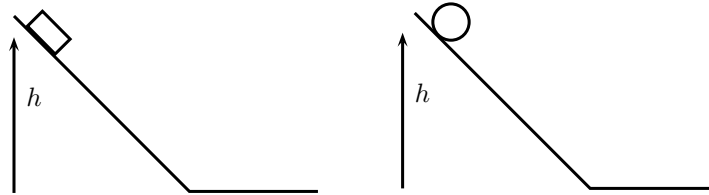
$T_1 = (\frac{1}{2}M + m_2)g \frac{m_1(\sin \beta - \mu \cos \beta)}{m_1 + m_2 + M/2}$ ,  $T_2 = m_2g \frac{m_1(\sin \beta - \mu \cos \beta)}{m_1 + m_2 + M/2}$ .

## 4.8 Cuestiones de Sólido Rígido

- Un disco con momento de inercia  $I_1$  gira alrededor de un eje vertical que pasa por su centro con una velocidad angular  $\omega_i$ . Mientras gira, cae sobre él un segundo disco de momento de inercia  $I_2$ , que NO está girando. Debido al rozamiento superficial entre ambos, el movimiento de rotación resulta ser solidario. ¿Cuál es la velocidad angular  $\omega_f$  resultante con la que gira el conjunto? ¿Cuál es la relación entre la energía cinética de rotación inicial y final?
- Una bailarina sobre hielo se encuentra rotando sobre su eje vertical (que es eje principal), con los brazos en cruz. Si, mientras continúa rotando, alinea sus brazos con el resto del cuerpo, ¿qué sucede con el momento angular de la bailarina?

- Aumenta

- Disminuye
  - Se conserva
3. Volviendo al caso anterior, cuando la bailarina alinea los brazos con el resto del cuerpo ¿qué sucede con su velocidad angular?
- No varía
  - Aumenta porque el momento de inercia ha aumentado.
  - Aumenta porque el momento de inercia ha disminuido.
  - Disminuye porque el momento de inercia ha aumentado.
  - Disminuye porque el momento de inercia ha disminuido.
4. Un anillo ( $I^* = MR^2$ ), un cilindro ( $I^* = (1/2)MR^2$ ) y una esfera ( $I^* = (2/5)MR^2$ ) de igual masa y radio, ruedan sin deslizar por el mismo plano inclinado. ¿En qué orden llegan al final del plano?
5. En lo alto de un plano inclinado se realizan dos experimentos: en primer lugar se sitúa un bloque y se deja deslizar. Después, en la misma posición, se ubica una esfera, con la misma masa y se deja caer.



- Si entre la esfera y el plano no existe fricción:
  - (a) La esfera rueda sin deslizar
  - (b) La esfera solo desliza.
  - (c) La esfera desliza y rueda.
  - (d) La esfera permanece inmóvil.
- Si entre bloque y plano no hay rozamiento y la esfera rueda sin deslizamiento:
  - (a) Los dos cuerpos tardan lo mismo en llegar a la base del plano.
  - (b) La esfera llega antes que el bloque.
  - (c) El bloque llega primero.
- Si la esfera rueda sin deslizamiento:
  - (a) tiene únicamente energía cinética de traslación
  - (b) tiene únicamente energía cinética de rotación.
  - (c) tiene energía cinética de rotación y también de traslación.
  - (d) la energía mecánica no se conserva.
- Si se duplica el radio de la esfera (manteniendo su masa)
  - (a) su momento de inercia se multiplica por dos
  - (b) el momento de inercia no varía.
  - (c) su momento de inercia sería el mismo que si se duplicase la masa.

- (d) su momento de inercia se multiplica por cuatro.
- Si la esfera rueda sin deslizamiento:
  - (a) La velocidad del centro de masas es el doble que la velocidad angular por el radio.
  - (b) en el mismo tiempo, la distancia recorrida por el centro de masas y el arco barrido por un punto periférico son iguales.
  - (c) las fuerzas externas no hacen momento.





## Capítulo 5

# Sólidos deformables y fluidos

### Sólidos Deformables

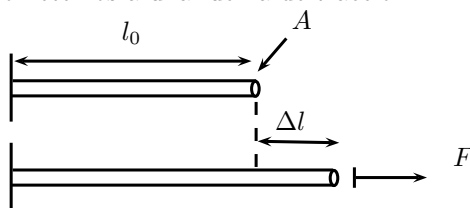
En los primeros capítulos del curso, los sistemas a estudiar se modelaban básicamente como partículas, con movimiento únicamente de traslación. Se trataba de un primer grado de aproximación a la realidad.

En el capítulo anterior se estudió el sólido rígido para introducir un nuevo grado de libertad en el movimiento, haciendo el estudio dinámico más realista.

Sin embargo, sabemos que en la naturaleza los sólidos nunca son perfectamente rígidos (aunque esta es una aproximación muy buena en numerosos casos). En efecto, es conocido el hecho de que los sólidos, sometidos a un esfuerzo o tensión suficiente, se deforman.

### 5.0.1 Deformación por tracción o compresión

Comenzaremos caracterizando la deformación que experimente una varilla cuando es deformada por tracción. Tomamos una varilla de longitud  $l_0$  y sección  $A$ , y la sometemos a una fuerza de tracción  $F$ .



### Pequeñas deformaciones

Se observa experimentalmente que, siempre y cuando  $F$  no sea muy grande, la elongación  $\Delta l$  es:

- Proporcional a  $F$
- Proporcional a  $l_0$
- Inversamente proporcional a  $A$

Estas tres reglas de proporcionalidad se cumplen en la siguiente función

$$F = YA \frac{\Delta l}{l_0}$$

donde  $Y$  es el llamado módulo de Young y es una propiedad de cada material. Obsérvese que  $Y$  se mide en unidades de presión ( $Pa$  en el SI). Obsérvese además que la ecuación es del mismo tipo que la Ley de Hooke. Mientras esta ecuación sea válida (deformaciones proporcionales a la fuerza), el sólido puede recuperar sus dimensiones originales en caso de que deje de ejercerse la fuerza  $F$ .

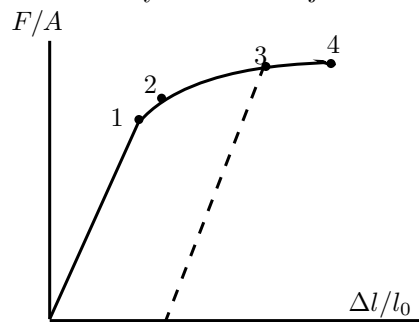
**Coefficiente de Poisson** Cuando una barra de un material, por ejemplo acero, se estira bajo el efecto de un esfuerzo externo, su sección disminuye (se estrecha). En los materiales homogéneos e isótropos, se observa que la deformación relativa en su anchura es proporcional a la deformación relativa en su longitud. El coeficiente de Poisson  $\sigma$  (adimensional) es precisamente ese factor de proporcionalidad, y depende de cada material.

Una barra de longitud natural  $l_0$  y anchura  $W$  se estira una distancia  $\Delta l$ . Entonces, la variación en su anchura es:

$$\frac{\Delta W}{W} = -\sigma \frac{\Delta l}{l_0}$$

### Deformaciones mayores

Cuando las deformaciones son, proporcionalmente, mayores que un determinado umbral (que en metales suele ser del 1% de la longitud de la varilla), se entra en un nuevo régimen de deformación. Ésta deja de ser proporcional a la fuerza y por tanto la ley de Hooke deja de cumplirse.

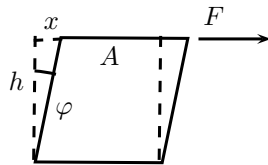


Cuando se supera el *límite proporcional* (punto 1 en la figura) se entra en la zona de deformación elástica llamada 'zona plástica'. El punto 2 es el llamado límite elástico, e indica el límite de deformación tal que el material puede recuperar su longitud cuando se deja de ejercer  $F$ . Si el material se estira aún más (por ejemplo hasta el punto 3) y dejamos de realizar fuerza, la varilla se contraerá siguiendo la ley de Hooke, pero quedará una deformación permanente. Deformaciones aún mayores darían lugar a la rotura del material.

Algunos materiales pueden experimentar deformaciones proporcionalmente muy grandes (hasta  $\Delta l/l_0 \sim 5$  para el caucho, por ejemplo) y recuperar siempre su tamaño inicial, aunque la ley de Hooke no se cumpla.

### 5.0.2 Deformación por esfuerzo de corte o cizalla

Un material sometido a un esfuerzo de corte experimenta una deformación. Cuando un objeto de sección  $A$  se ve sometido a una fuerza  $F$  decimos que esta sometido a un esfuerzo de corte  $F/A$ . La deformación de corte es tal y como se indica en la figura.



La deformación de corte o cizalladura es:

$$\frac{x}{h} = \tan \varphi$$

Experimentalmente se observa que, para  $F$  pequeña:

$$\frac{F}{A} = S \frac{x}{h}$$

donde  $S$  es el módulo de corte, y se mide en unidades de presión.

### 5.0.3 Deformación por compresión

En el seno de un fluido, un sólido se ve comprimido, debido a la presión ejercida, que es igual en todas las direcciones: Si la presión ( $P = F/A$ ) aumenta, el volumen del fluido disminuye. Se observa experimentalmente que la relación entre variación de presión y variación de volumen se rige por la siguiente ley de proporcionalidad:

$$\Delta P = -B \frac{\Delta V}{V}$$

donde  $B$  es el llamado módulo de compresibilidad. Al igual que los módulos de Young y de corte, se mide en unidades de presión.

## 5.1 Fluidos

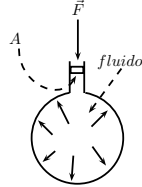
Los fluidos son materiales que no pueden soportar -en equilibrio- un esfuerzo de corte. Todo esfuerzo sobre su superficie es perpendicular a la misma, independientemente de su orientación. De ahí nace el concepto de presión como cociente entre la componente de una fuerza perpendicular a una superficie y el área:

$$P = \frac{F_{\perp}}{A}$$

La presión es isotrópica. En unidades del SI la medimos en Pascales:  $1 \text{ Pa} = 1 \text{ N/m}^2$ , aunque existen muchas otras unidades de presión empleadas habitualmente:

Unidad	Equivalente en Pa
1 bar	$10^5 \text{ Pa}$
1 atm	$1.013 \cdot 10^5 \text{ Pa}$
1 mm Hg (torr)	133 Pa
1 Kg cm <sup>-2</sup>	$9.8 \cdot 10^{-4} \text{ Pa}$

Si tenemos un fluido encerrado en un recipiente, y sobre él ejercemos una fuerza  $F$  (perpendicular) sobre un área  $A$ , la presión es  $P = F/A$ . El *Principio de Pascal* dice que, si no tenemos en cuenta el efecto de la gravedad, el fluido ejerce sobre el recipiente, en todas las direcciones, la misma presión  $P$ .



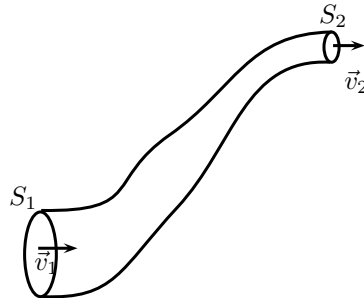
Dentro de los fluidos distinguimos dos grandes grupos, el de los líquidos y el de los gases. La diferencia entre unos y otros radica en dos aspectos:

- La compresibilidad: Los líquidos son muy poco compresibles comparados con los gases.
- Densidad y viscosidad: Los líquidos tienen densidad y viscosidad grandes si los comparamos con los gases.

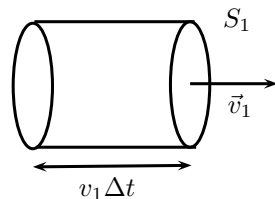
### 5.1.1 Ecuación de Continuidad

En física siempre es de gran utilidad conocer qué magnitudes se conservan durante un proceso para poder extraer información a partir de ahí. En fluidos es apropiado estudiar la conservación de la masa. En particular nos centraremos en el estudio de un fluido incompresible que se encuentra en régimen estacionario (la velocidad no cambia en el tiempo).

En el diagrama tenemos un fluido que entra con velocidad  $\vec{v}_1$  en un tubo cuya sección de entrada tiene una superficie  $S_1$ . A la salida, que tiene un área  $S_2$ , el fluido tiene una velocidad  $\vec{v}_2$ .



Cuando el sistema se encuentra en régimen estacionario, la masa de fluido que un intervalo de tiempo  $\Delta t$  atraviesa las secciones  $S_1$  y  $S_2$  (perpendicular a  $\vec{v}$ ) ha de ser la misma. Estudiemos en detalle la entrada:



Las partículas de fluido que se encuentran en el cilindro de longitud  $v_1 \Delta t$  y base  $S_1$  serán las que en  $\Delta t$  atraviesen la superficie 1. El volumen es:  $V =$

$S_1 \Delta t v_1$ . Si el fluido tiene densidad  $\rho$ , la masa que en el intervalo de tiempo  $\Delta t$  ha entrado es:

$$m = \rho S_1 v_1 \Delta t$$

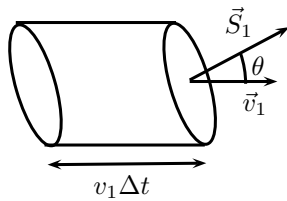
Análogamente, se puede determinar la masa que abandona el tubo por la superficie 2:

$$m = \rho S_2 v_2 \Delta t$$

Como sabemos que ambas masas han de ser iguales obtenemos la ecuación de Continuidad:

$$S_2 v_2 = S_1 v_1$$

Esta ecuación es válida cuando la densidad es constante y la velocidad es perpendicular a la sección. Si éstas forman un ángulo  $\theta$ , la ecuación de continuidad ha de corregirse:

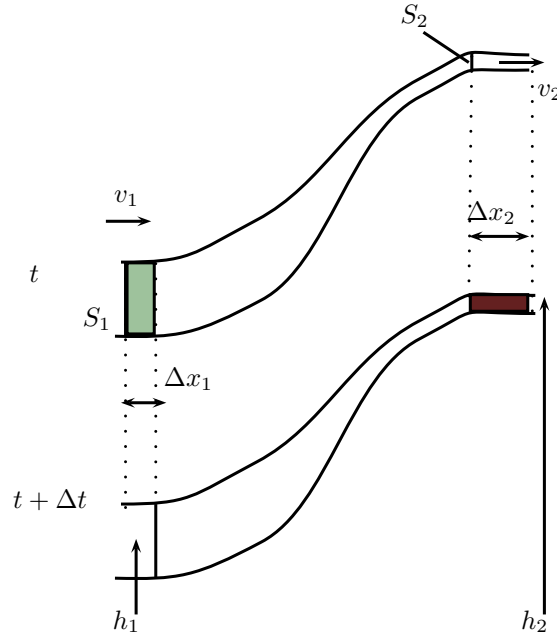


Ahora el volumen de entrada en el tiempo  $\Delta t$  es  $V = S_1 v_1 \Delta t \cos \theta = \vec{S}_1 \cdot \vec{v}_1 \Delta t$ , donde se ha definido el vector  $\vec{S}_1$  como un vector de módulo  $S_1$  y perpendicular a la superficie 1. Con los cambios introducidos, la ecuación de continuidad queda así:

$$\vec{v}_1 \cdot \vec{S}_1 = \vec{v}_2 \cdot \vec{S}_2$$

### 5.1.2 Ecuación de Bernoulli

Otra de las magnitudes que se conserva es la energía del fluido ideal. Por fluido ideal entendemos aquél que es incompresible y sin viscosidad, puesto que de esa manera las fuerzas internas del fluido (entendido como sistema de partículas) no realizarían trabajo  $W_{\text{interno}} = 0$ . Se trata de una simplificación puesto que los fluidos ideales no existen en la naturaleza, aunque funciona muy bien como aproximación.



En el diagrama tenemos un tubo con distintas secciones de entrada y salida,  $S_1$  y  $S_2$ , respectivamente. Análogamente, las velocidades de entrada y salida son  $v_1$  y  $v_2$ . Por último, se encuentran a distintas alturas: la entrada está a una altura  $h_1$ , y la salida a  $h_2$ .

Observamos una porción de fluido de masa  $\Delta m = \rho \Delta V$  que, entre los instantes de tiempo  $t$  y  $t + \Delta t$  ha penetrado una longitud  $\Delta x_1$  en la entrada. La cantidad de masa que ha entrado ha de ser la misma que la que ha salido: si a la entrada ocupa un volumen  $S_1 \Delta x_1$ , a la salida su volumen es  $S_2 \Delta x_2$ . Como el fluido es incompresible:  $\Delta V = S_1 \Delta x_1 = S_2 \Delta x_2$ .

Estudiaremos la variación de energía cinética del sistema entre los instantes de tiempo  $t$  y  $t + \Delta t$ . La variación de energía cinética se debe a la realización de trabajo por parte de las fuerzas presentes en el sistema. Por las características del fluido ideal solamente hay fuerzas externas que actúan sobre cada porción de fluido: la del peso y la debida a la presión ejercida. Entonces:

$$\Delta T = W_{\text{ext}} + \cancel{W_{\text{int}}}^0 = W_{\text{presion}} + W_{\text{peso}}$$

La del peso es una fuerza conservativa, y por tanto podemos escribir el trabajo como la menos variación de energía potencial gravitatoria,  $W_{\text{peso}} = -\Delta U_g$ :

$$W_{\text{presion}} = \Delta T + \Delta U_g \quad (5.1)$$

Por otro lado podemos escribir el trabajo debido a la presión como:

$$W_{\text{presion}} = P_1 S_1 \Delta x_1 - P_2 S_2 \Delta x_2 = (P_1 - P_2) \Delta V \quad (5.2)$$

La variación de energía cinética:

$$\Delta T = \frac{1}{2} \Delta m (v_2^2 - v_1^2) = \frac{1}{2} \rho \Delta V (v_2^2 - v_1^2) \quad (5.3)$$

Y finalmente, la variación de energía potencial es:

$$\Delta U_g = \Delta m g (h_2 - h_1) = \rho \Delta V g (h_2 - h_1) \quad (5.4)$$

Introduciendo las expresiones 5.2, 5.3 y 5.4 en la ecuación 5.1 obtenemos lo siguiente:

$$(P_1 - P_2) \Delta V = \frac{1}{2} \rho \Delta V (v_2^2 - v_1^2) + \rho \Delta V g (h_2 - h_1) \implies$$

$$P_1 + \rho g h_1 + \frac{1}{2} \rho v_1^2 = P_2 + \rho g h_2 + \frac{1}{2} \rho v_2^2$$

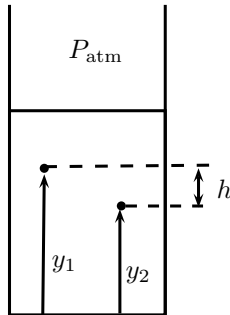
Esta última es la ecuación de Bernoulli, y se cumple para todos los puntos de un fluido ideal:

$$P + \rho g y + \frac{1}{2} \rho v^2 = cte$$

### 5.1.3 Aplicaciones de la Ecuación de Bernoulli

#### Variación de la presión con la profundidad

Tenemos un recipiente abierto a la atmósfera, y que contiene un fluido ideal en reposo. Escogemos dos puntos de profundidades  $y_1$  e  $y_2$  respectivamente para comprobar, utilizando la ecuación de Bernoulli, cómo cambia la presión con la profundidad.



Planteamos la ecuación de Bernoulli:

$$P_1 + \rho g y_1 + \frac{1}{2} \rho \overset{0}{v_1^2} = P_2 + \rho g y_2 + \frac{1}{2} \rho \overset{0}{v_2^2}$$

Obsérvese que la velocidad es cero. Como la ecuación se cumple para dos pares de puntos cualesquiera, pondremos el 1 en la superficie del fluido, con lo que su presión será conocida  $P_1 = P_{\text{atm}}$ . Entonces:

$$P_{\text{atm}} + \rho g y_1 = P_2 + \rho g y_2 \implies P_2 = P_{\text{atm}} + \rho g (y_1 - y_2)$$

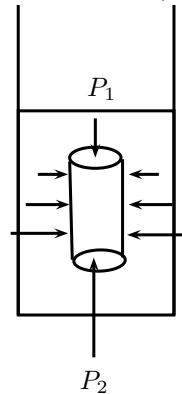
Finalmente, definimos la profundidad  $h = y_1 - y_2$

$$P_2 = P_{\text{atm}} + \rho g h$$

Es decir, supuesto  $\rho = \text{cte}$ , la presión es lineal con la profundidad. Esta es la ley de Presión Hidrostática.

### Principio de Arquímedes

Se sumerge en un fluido un sólido. Tomaremos, por simplicidad, un cilindro de base  $S$  y altura  $h$ . Las fuerzas laterales que actúan sobre el cilindro se compensan entre sí, de modo que únicamente existe sobre el cilindro una fuerza neta hacia arriba, debido a la diferencia de presiones en sus dos caras.



$$F = F_2 - F_1 = P_2 S - P_1 S = S(P_2 - P_1)$$

Ahora ya sabemos que la diferencia de presiones será  $P_2 - P_1 = \rho gh$ . Por otro lado, el volumen del cilindro es  $V = Sh$ . Por tanto:

$$F = S\rho gh = \rho gV = mg$$

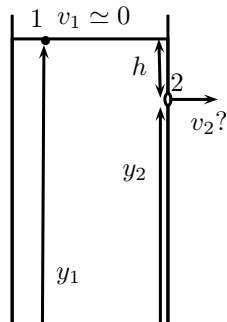
donde  $m$  es la masa del fluido que ha sido desalojado (porque es igual al volumen del cilindro multiplicado por la densidad del fluido). Entonces,  $mg$  es el peso del fluido desalojado.

Este es el principio de Arquímedes: Un cuerpo sumergido en un fluido experimenta una fuerza hacia arriba igual al peso del fluido desalojado.

### Teorema de Torricelli

En este apartado calcularemos la velocidad de salida en un orificio de un depósito.

Tenemos un depósito abierto a la atmósfera, de altura  $y_1$ , que contiene un líquido. A una altura sobre la base  $y_2$ , se practica un pequeño orificio, por el cual sale el fluido. El área del fluido es muy pequeña comparada con el área de la superficie abierta a la atmósfera.



Utilizando la ecuación de Bernoulli podemos deducir la velocidad de salida. Tomamos dos puntos, uno en la superficie (donde la velocidad es casi cero y la



presión es la atmosférica) y otro, justo en el orificio de salida, donde la presión también es la atmosférica:

$$\cancel{P_{\text{atm}}} + \rho g y_1 + \frac{1}{2} \rho v_1^2 = \cancel{P_{\text{atm}}} + \rho g y_2 + \frac{1}{2} \rho v_2^2$$

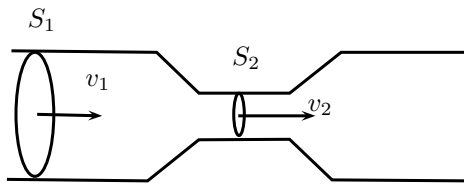
Definimos nuevamente la profundidad como diferencia de alturas:  $h = y_1 - y_2$  y obtenemos:

$$\rho g h = \frac{1}{2} \rho v_2^2 \implies v_2 = \sqrt{2gh}$$

Este es el llamado Teorema de Torricelli. Compruébese que coincide con la velocidad de caída de una partícula si se suelta, sin velocidad inicial, desde una altura  $h$ .

### Efecto Venturi

Ahora estudiaremos los cambios de presión y velocidad en un tubo horizontal que tiene un estrechamiento, como se indica en la figura. En la zona 1, tiene una sección  $S_1$ , donde el fluido circula con velocidad  $v_1$  y ejerce una presión  $P_1$ . Tras sufrir un estrechamiento, su sección es  $S_2$ . Veamos que se puede decir de sus cambios en la presión y velocidad (consideramos que la altura no ha cambiado:  $y_1 = y_2$ ).



Como siempre, partimos de la ecuación de Bernoulli:

$$P_1 + \rho g y + \frac{1}{2} \rho v_1^2 = P_2 + \rho g y + \frac{1}{2} \rho v_2^2 \implies P_1 + \frac{1}{2} \rho v_1^2 = P_2 + \frac{1}{2} \rho v_2^2 \implies$$

$$P_1 - P_2 = \frac{1}{2} (\rho v_2^2 - \rho v_1^2)$$

Ahora, echaremos mano de la ecuación de continuidad, que ya conocemos:

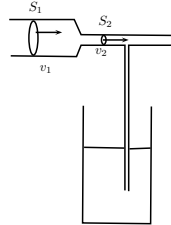
$$v_1 S_1 = v_2 S_2 \implies \text{Como sabemos que } S_2 < S_1 \implies v_2 > v_1$$

Ya podemos afirmar que la velocidad en el punto donde la sección es más estrecha es mayor. Pero además, esto implica que la presión  $P_1$  es mayor que  $P_2$  (por la ecuación anterior):

$$S_2 < S_1 \implies \begin{cases} v_2 > v_1 \\ P_1 > P_2 \end{cases}$$

Este es el llamado efecto Venturi, a mayor velocidad, menor presión. Una de sus aplicaciones es el pulverizador (para perfumes, etc.)

**Pulverizador** Un recipiente contiene un líquido. Sobre él, en horizontal, se dispone un tubo que tiene un estrechamiento. Precisamente la zona de estrechamiento está conectada con el líquido, como se indica en la figura:

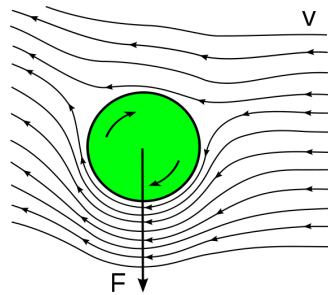


Debido al efecto Venturi, en la zona estrecha la velocidad es más alta y la presión más baja.

$$S_1 > S_2 \implies v_2 < v_1 \implies P_2 \downarrow$$

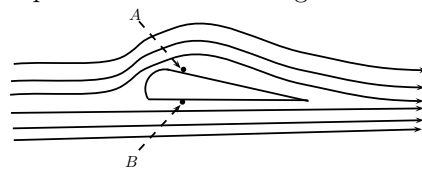
De esta forma se puede conseguir que, por diferencia de presiones, el líquido que está abajo ascienda y salga pulverizado.

**Tiros con efecto** ¿Cómo se consigue un disparo de un balón de fútbol con efecto? ¿Cómo consigue Nadal su top spin?



El balón, por *arrastre* hace que la velocidad del viento sea mayor abajo que arriba. Por el efecto Venturi, esto se traduce en una diferencia de presiones. Como consecuencia aparece una fuerza neta hacia abajo, proporcional a dicha diferencia de presiones.

**Sustentación de las alas de un avión** ¿Cómo vuelan los aviones? ¿Qué hace que las alas los mantengan en el aire?

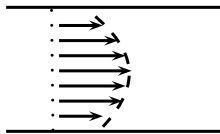


Observando el diagrama, vemos que en el punto A, la velocidad relativa aire-ala es mayor que en B, porque por arriba, las partículas de aire deben recorrer mayor distancia en el mismo lapso de tiempo que si pasan por debajo del ala. Por tanto, la presión en B es mayor que en A, debido al efecto Venturi. Si  $v_A > v_B \implies P_B > P_A$ , es decir aparece una fuerza de sustentación del ala, hacia arriba, que es proporcional a la diferencia de presiones.

### 5.1.4 Viscosidad

En los fluidos no ideales, se observa que existe una cierta fricción interna, entre distintas “porciones de fluido” que supone una oposición al deslizamiento relativo. Esta fricción interna es la viscosidad, y tiene como consecuencias, por ejemplo, la resistencia al avance de un sólido inmerso en un fluido, la pérdida de presión real en tuberías.

Además, la viscosidad hace que el campo de velocidades en un tubo cilíndrico tenga un perfil característico, con velocidad máxima en el eje y aproximadamente nula en las paredes.



### Flujo Laminar

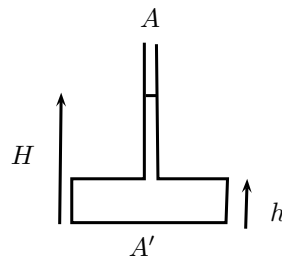
El modelo del flujo laminar supone el fluido compuesto de una serie de sucesivas capas o láminas, cada una de las cuales tiene una distinta velocidad. Por tanto hay un deslizamiento relativo entre láminas y una fuerza de fricción. Este modelo es válido para regímenes de bajas velocidades.

## 5.2 Ejercicios

1. Una cuerda de nailon, de las que utilizan los montañeros, tiene 50 m de longitud y 9 mm de diámetro, y se alarga 1.5 m bajo la acción del peso de un escalador de 80 kg. ¿Cuál es el módulo de Young de este material? Si el coeficiente de Poisson para el nailon es 0.2, calcula el cambio que experimenta el diámetro bajo la acción de este esfuerzo.
2. ¿Cuál es la carga máxima que puede soportar un alambre de aluminio de 0.1 cm de diámetro sin sobrepasar el límite de proporcionalidad de  $8 \cdot 10^7$  Pa? Si el alambre tiene inicialmente 5 m de longitud, ¿cuánto se alargará bajo la acción de esta carga? ¿Cuánto varía el diámetro bajo la acción de esta carga?

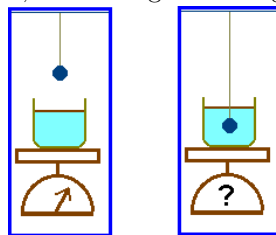
Datos:  $Y = 0.7 \cdot 10^{11}$  Pa,  $\sigma = 0.16$ .

3. Un tubo de sección  $A = 1 \text{ cm}^2$  está unido a la parte superior de un recipiente de altura  $h = 1 \text{ cm}$  y sección  $A' = 100 \text{ cm}^2$ . Se vierte agua dentro del sistema llenándolo hasta una altura  $H = 100 \text{ cm}$  por encima del fondo del depósito, como muestra la figura. a) Calcular la fuerza ejercida por el agua sobre el fondo del depósito. b) Calcular el peso del agua contenida dentro del sistema. c) Explicar por qué no coinciden los



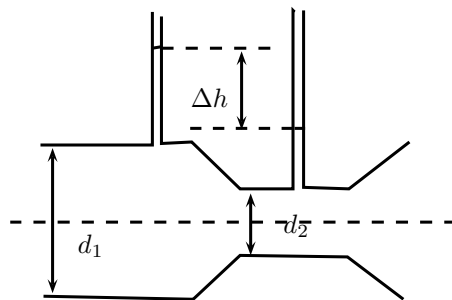
resultados de a y de b.

4. Un vaso de masa  $m = 0.2$  kg, que contiene una masa de agua  $M = 2$  kg, descansa sobre una balanza. Un bloque de masa  $M' = 2$  kg de aluminio (densidad específica de 2,7), que está suspendido de un dinamómetro, se sumerge en el agua. Determinar las fuerzas de ambas



balanzas.

5. Desde un punto situado a una altura  $H = 10$  m sobre la superficie de un estanque, lleno de agua hasta una profundidad  $h = 5$  m, se deja caer una esferita de radio  $r = 2$  mm. a) Si la esferita es de hierro (densidad específica 7,5), ¿cuánto tarda en llegar al fondo del estanque? ¿Con qué energía cinética lo hace? b) Si es de madera (densidad específica 0,3), ¿a qué profundidad llega? ¿Con qué velocidad emerge?
6. Ejercicio: Se introduce un tubo de Venturi para medir la velocidad de una corriente de agua. Tanto en la entrada del tubo como en el estrechamiento hay dos pequeños tubos verticales, abiertos por arriba, en los que se observa una diferencia de alturas. Calcular la velocidad del fluido en metros por segundo. Datos:  $\Delta h = 4$  m  $d_1 = 40$  cm (sección circular)  $d_2 = 10$  cm (sección circular)



## Capítulo 6

# Termodinámica

### 6.1 Objetivos

En este capítulo estudiaremos las nociones fundamentales de termodinámica, una vasta rama de la física. Los objetivos son, por un lado, proporcionar al estudiante conocimientos físicos en esta materia y, al mismo tiempo, sentar las bases sobre las que se trabajará más adelante en el estudio de máquinas térmicas y motores.

Los objetivos de este tema son:

- Conocer los conceptos de equilibrio térmico y temperatura.
- Entender la física de los procesos que involucran a gases ideales.
- Saber aplicar el primer principio de la termodinámica para resolver problemas, así como dominar los conceptos de trabajo y calor.
- Dominar los procesos termodinámicos fundamentales.
- Adquirir nociones básicas del funcionamiento de máquinas térmicas.

### 6.2 Introducción

El término *termodinámica* procede de las voces griegas “termo” (calor) y “dynamo” (fuerza) y, literalmente hace referencia a los procesos mecánicos inducidos por el calor, aunque el campo de la termodinámica es bastante más amplio. Así, sirve para estudiar el funcionamiento y rendimiento mecánico de máquinas, pero también de sistemas químicos, biológicos, geológicos.

La termodinámica es una ciencia experimental en la que se estudian *sistemas* macroscópicos. Un sistema puede ser cualquier porción del universo, esté o no aislada del entorno. Para estudiar y caracterizar un sistema termodinámico se echa mano de una serie de magnitudes que se evalúan sobre sistemas macroscópicos. De esta manera se dice que las *variables termodinámicas* caracterizan el estado de un sistema. Dicho de otro modo, las variables termodinámicas son *funciones de estado* y que están en equilibrio termodinámico.

Las variables termodinámicas solo pueden definirse cuando el sistema se encuentra en *equilibrio termodinámico*. Esto comporta tres equilibrios simultáneos: equilibrio térmico, mecánico y químico.

Los sistemas termodinámicos pueden experimentar cambios (por ejemplo debido a un aporte de calor, o a la realización de un trabajo...). A estos cambios los denominaremos procesos termodinámicos, y pueden ser de muy diversa naturaleza, pero están todos regidos por los *principios de la termodinámica*, algunos de los cuales veremos a lo largo de este capítulo.

## 6.3 Equilibrio térmico y temperatura

El primer concepto que nos evoca el término termodinámica es el de temperatura. La temperatura es la magnitud física que relacionamos con los conceptos comunes de “caliente” o “frío”.

Decimos que dos sistemas están en equilibrio térmico si se encuentran a la misma temperatura.

**Principio Cero de la Termodinámica** Dos sistemas en equilibrio térmico con un tercero están en equilibrio térmico entre sí.

Así se puede definir una escala de temperaturas, utilizando un termómetro, es decir, un sistema que posea alguna propiedad que dependa de la temperatura, y que a la vez pueda ser medible. El ejemplo más común de termómetro es el de mercurio. Su dilatación con la temperatura nos permite definir una escala: La longitud de la columna de mercurio varía con la temperatura.

Existen varias escalas, que pueden ser definidas tomando dos puntos fijos a los que se asigna una temperatura:

- Escala Celsius: Se toma el punto (o temperatura) de congelación del agua como  $0^\circ \text{C}$ , y el punto de ebullición del agua como  $100^\circ \text{C}$ . Si disponemos de una columna de mercurio, marcamos la altura que ésta tiene a los  $0^\circ$  y  $100^\circ \text{C}$  y el espacio entre las dos marcas se divide en 100 intervalos iguales. De esta manera se define la escala. Es la más empleada en situaciones cotidianas.
- Escala Fahrenheit: Los puntos de referencia son distintos. El de fusión del hielo es  $32^\circ \text{F}$  y el de ebullición del agua es  $212^\circ \text{F}$ . Si la temperatura en escala Fahrenheit la escribimos como  $T_F$  y la temperatura en escala Celsius como  $T_C$ , ambas se relacionan así:

$$T_C = \frac{5}{9}(T_F - 32)$$

Es empleada fundamentalmente en países anglosajones.

- Escala Kelvin: También denominada escala absoluta. Es la empleada en el sistema internacional. Lord Kelvin estableció que la temperatura límite o cero absoluto es  $-273.15^\circ \text{C}$ . A partir de ahí se define la temperatura en Kelvin  $T_K$ :

$$T_K = -273.15 + T_C$$

## 6.4 Leyes de los gases ideales

Las leyes de los denominados gases ideales responden a una serie de observaciones empíricas históricas:

### 6.4.1 Ley de Boyle/Mariotte

A temperatura constante, y para gases a baja densidad, se encuentra que el producto entre la presión  $P$  y el volumen  $V$  es:

$$PV = cte$$

Este comportamiento fue observado por Boyle (1662) y por Mariotte (1676) en estudios independientes.

### 6.4.2 Ley de Gay-Lussac/Charles

A presión constante, y, siempre en condiciones de baja densidad, se encuentra que el cociente entre el volumen ocupado por un gas  $V$  y su temperatura  $T$  también es constante:

$$\frac{V}{T} = cte$$

Se suele atribuir este descubrimiento a Gay-Lussac (1802) aunque ya lo había estudiado Charles (1787).

### 6.4.3 Avogadro y el mol

Una vez aceptada la hipótesis atómica, se introduce el concepto de mol. Un mol de cualquier sustancia contiene el mismo número de átomos (o moléculas). Este número es el conocido como número de Avogadro:

$$N_A = 6.022 \cdot 10^{23} \text{ partículas/mol}$$

Un mol de cualquier sustancia contiene siempre  $N_A$  átomos (o moléculas) y su masa viene caracterizada por el número másico del núcleo del elemento o compuesto en cuestión.

### 6.4.4 Ley de Avogadro

Avogadro encontró que a presión y temperatura constantes, el cociente entre el volumen ocupado  $V$  y el número de moles  $n$  es también constante:

$$\frac{V}{n} = cte$$

### 6.4.5 Ecuación de Estado

Las anteriores leyes se resumen en la siguiente ecuación de estado propuesta por Clapeyron en 1834:

$$PV = nRT$$

donde  $P$  es la presión,  $V$  el volumen,  $n$  el número de moles y  $T$  la temperatura. La constante de proporcionalidad  $R$  es la constante universal de los gases

$$R = 8,314 \text{ J/mol K}$$

$$R = 0.082 \text{ atm}\cdot\text{l/mol}\cdot\text{K}$$

### 6.4.6 Ley de Dalton

Es habitual encontrarse en situaciones donde en un recipiente existe no un gas puro sino una mezcla de varios conviviendo simultáneamente. Por ejemplo, si se encierra en un cilindro aire procedente de la atmósfera (a la altura del nivel del mar) tendríamos una mezcla de nitrógeno y oxígeno fundamentalmente, además de pequeñas proporciones de otros gases como el dióxido de carbono, etc. Entonces, suponiendo que se dan las condiciones de gas ideal, ¿cómo utilizar la ecuación de los gases ideales? En primer lugar definimos el concepto de presión parcial como aquella que ejercería cada uno de los gases de la mezcla si éste estuviese solo ocupando el volumen total y a la misma temperatura.

Si tenemos un recipiente de volumen  $V$  a temperatura  $T$  con  $NG$  gases, la presión parcial del  $i$ -ésimo de ellos es  $P_i$ . Si hay  $n_i$  moles del gas  $i$ -ésimo, entonces

$$P_i V = n_i R T$$

La presión total  $P_{\text{tot}}$  es la suma de las presiones parciales,

$$P_{\text{tot}} = \sum_{i=1}^{NG} P_i = \sum_{i=1}^{NG} n_i \frac{RT}{V}$$

La ley que establece que la presión de una mezcla de gases es la suma de las presiones parciales de los componentes de la mezcla se denomina ley de Dalton. Es válida para mezclas de gases a la misma temperatura y que no reaccionan químicamente entre sí.

## 6.5 Teoría cinética

Consideremos ahora a un gas, que ocupa un volumen  $V$ , que consta de  $N$  moléculas. Vamos a realizar varias hipótesis:

1. Las moléculas son puntuales, y tienen una velocidad  $\vec{v} = (v_x, v_y, v_z)$ .
2. No existe interacción a distancia entre las partículas.
3. Colisionan entre sí elásticamente.
4. No existen direcciones privilegiadas:  $\langle v_x^2 \rangle = \langle v_y^2 \rangle = \langle v_z^2 \rangle = (1/3)\langle v^2 \rangle$ .

### 6.5.1 Energía cinética

En función de la temperatura la velocidad de las partículas tendrá una distribución u otra. Boltzmann estudió estas distribuciones para demostrar que estadísticamente la velocidad cuadrática media  $\langle v^2 \rangle$  se relaciona con la temperatura:



$$\langle v^2 \rangle = \frac{3k_B T}{m_{\text{mol}}}$$

donde  $T$  es la temperatura,  $m_{\text{mol}}$  la masa de las moléculas y  $k_B$  es la constante de Boltzmann y vale  $k_B = 1,381 \cdot 10^{-23} \text{ J/K}$ .

Entonces, si tenemos  $n$  moles de gas, y por lo tanto  $nN_A$  partículas, la energía cinética es:

$$E_C = nN_A \frac{1}{2} m_{\text{mol}} \langle v^2 \rangle = nN_A \frac{1}{2} m_{\text{mol}} \frac{3k_B T}{m_{\text{mol}}} = nN_A \frac{3}{2} k_B T$$

Si escribimos  $N_A \cdot k_B = R$  tenemos que

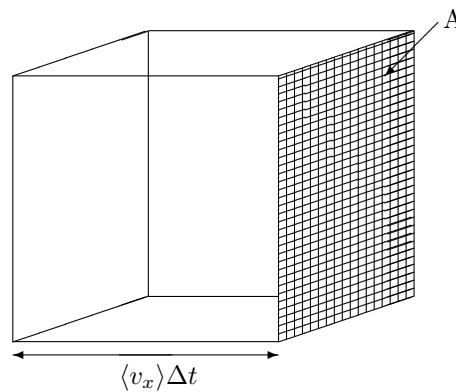
$$E_C = n \cdot 3 \frac{1}{2} RT$$

En su movimiento, las partículas tienen 3 grados de libertad. Cada grado de libertad aporta la misma proporción de energía cinética (porque no hay direcciones privilegiadas). Por tanto, cada grado de libertad contribuye en un factor  $(1/2)k_B T$ .

### 6.5.2 Presión

Por otro lado, veamos cómo es la presión en los gases ideales. La presión se define como fuerza dividida por superficie.

Tomemos un pequeño lapso de tiempo  $\Delta t$ . A partir de aquí podemos definir un elemento de volumen como el observado en la figura: un paralelepípedo de sección  $A$  y con las aristas perpendiculares a dicha sección miden  $v_x \Delta t$ , que es la distancia que una partícula del gas con velocidad  $v_x$  puede recorrer en ese intervalo de tiempo.



¿Cuál es la presión que el gas ejerce sobre una de las caras de ese cubo? Tomemos por ejemplo el área marcada ( $A$ ) en la figura. La presión será la componente de la fuerza en la dirección perpendicular a esa superficie (dirección  $x$ ) dividida precisamente por la superficie:

$$P = \frac{F_x}{A} = \frac{1}{A} \frac{dp_x}{dt} \simeq \frac{1}{A} \frac{\Delta p_x}{\Delta t}$$

donde hemos tenido en cuenta que la fuerza es la derivada con el tiempo del momento lineal, para después aproximar la derivada por la variación con el tiempo, suponiendo que  $\Delta t$  es pequeño. ¿Cómo varía el momento lineal? Si suponemos que cada partícula, de masa  $m$ , tiene una velocidad  $v_x$  y choca con otra de misma velocidad y sentido contrario, tras la colisión elástica su velocidad pasará a ser  $-v_x$ . Es decir, su velocidad ha variado en  $2v_x$ . Y por tanto su momento ha variado  $\Delta p_x = 2v_x m$ .

Si denominamos  $N'$  al número de partículas que en el intervalo de tiempo  $\Delta t$  chocan en  $A$ , entonces, el cambio de momento lineal de todas las partículas es

$$\Delta p_x = N' 2v_x m$$

y por tanto la presión es:

$$P \simeq \frac{1}{A} \frac{\Delta p_x}{\Delta t} = \frac{1}{A} \frac{2mv_x}{\Delta t} N'$$

$N$  es el número de partículas hay en el sistema de volumen  $V$ . El elemento de volumen que estamos estudiando tiene un volumen  $V' = v_x \Delta t \cdot A$ . El número de partículas que hay en nuestro elemento de volumen se obtiene sencillamente mediante una regla de tres. Pero solo la mitad de éstas partículas tendrán velocidad en la dirección  $x > 0$ , y por tanto sólo la mitad de esas partículas llegarán a la superficie  $A$  (las demás se van en sentido contrario, alejándose). Ese es el número  $N'$  que buscamos:

$$N' = \frac{N}{V} A v_x \Delta t \frac{1}{2}$$

Entonces sustituimos este valor en la fórmula de la presión:

$$P = \frac{1}{A} \frac{2mv_x}{\Delta t} \frac{N}{V} A v_x \Delta t \frac{1}{2} = \frac{N}{V} m v_x^2$$

Como estamos estudiando un número muy elevado de partículas, es apropiado trabajar con cantidades promediadas: En lugar de  $v_x^2$  trabajaremos con  $\langle v_x^2 \rangle$ .

Según la hipótesis de isotropía (ausencia de direcciones privilegiadas)  $\langle v_x^2 \rangle = (1/3) \langle v^2 \rangle$ . Y, según hemos visto en el estudio de la energía cinética de los gases, el promedio de la velocidad cuadrática es

$$\langle v^2 \rangle = \frac{3k_B T}{m}$$

con lo cual, la presión la podemos reescribir como sigue:

$$P = \frac{N}{V} m \frac{1}{3} \frac{3k_B T}{m} = \frac{N}{V} k_B T$$

Recordar que el número total de partículas es igual al número de Avogadro  $N_A$  multiplicado por el número de moles  $n$ , es decir,

$$P = \frac{N_A n}{V} k_B T$$

que es la misma ecuación que la de los gases ideales si definimos  $R = N_A k_B \Rightarrow$

$$PV = nN_A \cdot k_B \cdot T = n \cdot R \cdot T$$

Es decir, mediante el análisis estadístico, la teoría cinética (que usa las hipótesis detalladas al inicio de este punto) nos permite desarrollar una ecuación equivalente a la de los gases ideales.

### 6.5.3 Energía Interna

En el modelo que obtenemos mediante el estudio cinético de los gases, se está suponiendo que la energía que tiene nuestro sistema es la energía cinética de las partículas que lo componen. La velocidad de las partículas depende solamente de la temperatura. Por tanto, la energía interna se puede escribir como función de  $T$ .

## 6.6 Energía Interna, Calor y Trabajo: Primer Principio de la Termodinámica

Antes hemos visto que la energía de un gas ideal está asociada a su temperatura. Se trata de la energía interna y la denotamos con la letra  $U$  mayúscula.

$$U = \frac{3}{2}nRT$$

Si el sistema está aislado, su energía interna permanecerá constante. Pero si no lo está pueden producirse cambios en la misma.

### 6.6.1 Calor

Entre dos sistemas termodinámicos a distinta temperatura y conectados se produce una transferencia de energía. En concreto hay una transferencia de energía procedente del sistema que se encuentra a mayor temperatura hacia el de temperatura más baja. La transferencia existe hasta que ambos sistemas se encuentran en equilibrio termodinámico entre sí. Denominamos calor  $Q$  al flujo de energía como consecuencia de una diferencia de temperaturas.

Al tratarse de una magnitud de energía se mide en Julios. Otra unidad empleada es la caloría:

$$1 \text{ cal.} = 4.184 \text{ J}$$

La caloría es la cantidad de calor que es necesario aportar a un gramo de agua para incrementar su temperatura en un grado Celsius o Kelvin.

### 6.6.2 Cambios de temperatura

De manera similar a la definición de caloría, se puede definir la capacidad calorífica  $C$  de cualquier sistema como la cantidad de calor que es necesario aportar para incrementar su temperatura en un grado. Del mismo modo, la cantidad de calor para provocar un incremento de la temperatura del sistema en  $\Delta T$  sería:

$$Q = C\Delta T$$

en unidades del SI  $C$  se mide en  $J/K$ . En ocasiones se emplean cantidades por unidad de masa o por mol. En ese caso se habla de capacidad calorífica específica y se utiliza una letra minúscula  $c$ .

Cabe destacar que el calor  $Q$  es una magnitud escalar que lleva un signo asociado a la ganancia o pérdida de energía interna. El sistema cuya temperatura disminuye está cediendo calor, y por lo tanto  $Q < 0$ , mientras que el sistema a menor temperatura está recibiendo calor, es decir,  $Q > 0$ .

La expresión anterior para el calor está tomada considerando que  $C$  (o  $c$ ) no cambia con la temperatura, es constante. En muchos materiales esto se cumple para amplios rangos de temperaturas, pero no es una ley general. Si  $C$  (o  $c$ ) cambia con  $T$ , entonces lo adecuado es escribir el flujo de calor para un cambio infinitesimal de temperatura  $dT$ : es decir, el sistema pasa de una temperatura  $T$  a  $T + dT$ . El calor recibido es:

$$dQ = C dT = mcdT$$

donde  $m$  es la masa.

### 6.6.3 Cambios de Fase

Los cambios de fase son procesos termodinámicos en los que no hay cambios de temperatura pero sí un aporte (o pérdida) de energía en forma de calor. Un bloque de hielo a  $0^\circ \text{C}$  en una habitación a  $20^\circ \text{C}$  está recibiendo un aporte de calor que está haciendo incrementar su energía interna. Si el aporte energía se mantiene se producirá una transición de fase: el hielo se funde. Otros ejemplos son la solidificación, la vaporización, la condensación... . Durante las transiciones de fase la temperatura del sistema no varía porque toda la energía recibida por el sistema es empleada en, por ejemplo, romper los enlaces del estado sólido del hielo. El calor que es necesario para provocar el cambio de fase de fusión de un bloque de masa  $m$  es:

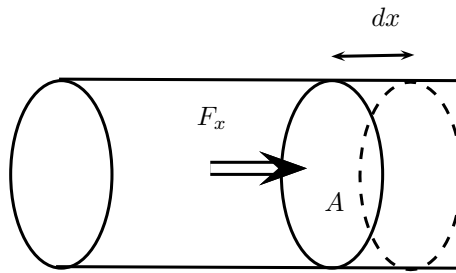
$$Q_f = mL_f$$

donde  $L_f$  es el denominado *calor latente de fusión*. El calor latente por mol se escribe  $l_f$ , y entonces, para fundir  $n$  moles hace falta  $Q_f = nl_f$ . Análogamente sucede con los calores latentes de vaporización, condensación... .

### 6.6.4 Trabajo

Los sistemas termodinámicos también pueden cambiar su energía interna realizando (o absorbiendo) trabajo. Supongamos que tenemos un sistema termodinámico encerrado en un cilindro con un pistón de área  $A$ .

Si el gas realiza una fuerza sobre el exterior que provoca un desplazamiento  $dx$  del pistón, entonces está realizando trabajo.



Por la definición de trabajo

$$W = \int \vec{F} \cdot d\vec{r} = \int F_x dx = \int P A dx = \int P dV$$

El trabajo es la integral de la presión en volumen. El elemento diferencial de trabajo es:

$$dW = P dV$$

Cuando el sistema realiza un trabajo hacia el exterior, el criterio que empleamos es el de  $W > 0$ . Si, en cambio, el sistema recibe trabajo desde el entorno, entonces decimos que éste es negativo  $W < 0$ .

**Nota:** Existe otro criterio de signos, según el cual el trabajo efectuado sobre el sistema es positivo y negativo el trabajo que el sistema realiza sobre el exterior. En ese caso el elemento diferencial de trabajo es  $dW = -P dV$ . Sin embargo nosotros emplearemos el otro criterio de signos, enunciado anteriormente.

### 6.6.5 Primer Principio de la Termodinámica

La variación de la energía interna de un sistema ( $\Delta U$ ) es igual al calor  $Q$  transferido mas el trabajo  $W$  realizado por (o sobre) el sistema, es decir:

$$\Delta U = Q - W$$

En termodinámica se estudian los procesos llamados “cuasiestáticos”: procesos en los cuales el sistema evoluciona atravesando siempre estados de equilibrio. Así, todos los puntos del sistema tienen la misma presión, temperatura... .

Así, por ejemplo a la hora de calcular el trabajo en un proceso de expansión, el elemento diferencial de trabajo lo calculamos considerando que a cada pequeña variación de volumen  $dV$ , el sistema alcanza el equilibrio, y después experimenta la siguiente pequeña variación  $dV$ , etc... hasta alcanzar el volumen final.

En procesos cuasiestáticos, suficientemente lentos de forma que nunca se abandona el equilibrio termodinámico, resulta conveniente la formulación diferencial:

$$dU = dQ - dW$$

### 6.6.6 Experimento de Joule

En 1844 Joule propuso un experimento esquematizado en la figura: Dentro de un recipiente que no permite el flujo de calor (un calorímetro) se ubican dos

recipientes  $A$  y  $B$  conectados mediante una válvula  $R$ , además de un termómetro para medir cambios de temperatura. Si  $A$  contiene un gas ideal y  $B$  está vacío, entonces al abrir la válvula  $R$  el gas ideal se expandirá para ocupar todo el volumen.

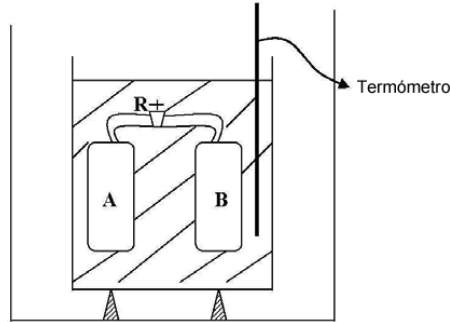


Figure 6.1: Esquema del experimento realizado por Joule en 1844

El sistema está aislado adiabáticamente, es decir, no permite el flujo de calor. Por otra parte, el sistema no está realizando ningún trabajo hacia el exterior ni tampoco lo está recibiendo. Por tanto  $Q = W = 0$ . Entonces, según el primer principio  $\Delta U = 0$ .

Joule encontró que en este proceso en el que cambian la presión y el volumen del gas ideal, su temperatura permanece constante. Por lo tanto dedujo que *la energía interna de un gas ideal solo depende la temperatura*, tal y como habíamos predicho anteriormente.

## 6.7 Procesos Termodinámicos

Es costumbre representar tanto los estados termodinámicos como los procesos experimentados por el sistema según diagramas  $PV$  (Presión-Volumen). Estos esquemas facilitan el análisis de algunos procesos fundamentales que enumeramos a continuación:

1. *Isobaros*: Presión constante.
2. *Isócoros*: Volumen constante.
3. *Isotermos*: Temperatura constante.
4. *Adiabáticos*: Sin flujo de calor,  $Q = 0$ :

A continuación comentamos brevemente algunas características de estos procesos:

### 6.7.1 Procesos Isócoros

Los procesos isócoros o isocoros son aquellos en los que el volumen permanece constante.

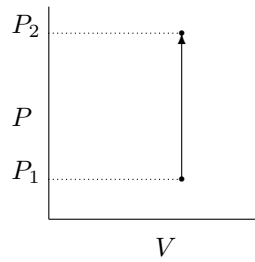


Figure 6.2: Diagrama P-V: Ejemplo de proceso isocoro

En los procesos isocoros, al no haber variación de volumen, el trabajo es nulo. Por tanto, toda variación de la energía interna del sistema será consecuencia del flujo de calor

$$W = 0 \implies \Delta U = Q$$

La *capacidad calorífica* de una sustancia, en general, se define como la variación de calor bajo variaciones de temperatura

$$C = \frac{dQ}{dT}$$

y puede depender tanto de la naturaleza del sistema como de las condiciones  $P$ ,  $T$ ,  $V$ ).

Cuando trabajamos a volumen constante se define  $C_v$ , la *capacidad calorífica a volumen constante*.

Para los gases ideales la energía interna solo depende de la temperatura. En estos casos se encuentra que el diferencial de energía interna es directamente proporcional al diferencial de temperatura:

$$dU = dQ = C_v dT$$

donde  $C_v$  es la denominada *capacidad calorífica a volumen constante*. A veces es más cómodo utilizar la capacidad específica  $c_v = C_v/n$ . Depende de cada sustancia y, en principio, puede variar también con la temperatura y la presión. No obstante, en multitud de procesos es aproximadamente constante, con lo que se puede integrar de manera sencilla la expresión anterior:

$$\Delta U = Q = C_v \Delta T = n c_v \Delta T$$

Por otra parte, si trabajamos con un gas ideal a temperatura inicial  $T_1$ , entonces la variación de temperatura cuando se pasa de una presión  $P_1$  a una presión  $P_2$  es:

$$\Delta T = T_2 - T_1 = \frac{P_2 V}{nR} - \frac{P_1 V}{nR} = (P_2 - P_1) \frac{V}{nR}$$

## 6.7.2 Procesos Isobaros

Al ser procesos en los que la presión permanece constante, el trabajo total se calcula de forma inmediata. En un proceso isobaro en el que el volumen inicial sea  $V_1$  y el final  $V_2$ , a presión  $P$ , el trabajo es:

$$W = \int_{V_1}^{V_2} P dV = P \int_{V_1}^{V_2} dV = P(V_2 - V_1) = P\Delta V$$

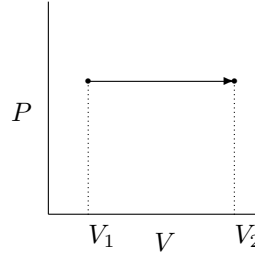


Figure 6.3: Diagrama P-V: Ejemplo de proceso isobaro

Si el proceso isobaro está protagonizado por un gas ideal, entonces también podemos tener en cuenta la ecuación de los gases ideales para calcular cual va a ser la variación de temperatura del sistema:

$$PV = nRT \implies T = \frac{PV}{nR}$$

Si el sistema está cerrado (no entra ni sale materia y  $n$  es constante), y la temperatura inicial es  $T_1$ , entonces la variación de temperatura es:

$$\Delta T = T_2 - T_1 = \frac{PV_2}{nR} - \frac{PV_1}{nR} = (V_2 - V_1) \frac{P}{nR}$$

Cuando se trabaja a presión constante, se define la *capacidad calorífica a presión constante* o  $C_p$ . También es habitual trabajar con la *capacidad calorífica específica a presión constante*,  $c_p$  minúscula que es la anterior dividida por el número de moles:  $C_p = nc_p$ .

Entonces los incrementos diferenciales de calor son:

$$dQ = C_p dT = nc_p dT$$

si consideramos que la capacidad calorífica a presión constante no varía con la temperatura, entonces:

$$Q = C_p \Delta T = nc_p \Delta T$$

### Relación entre $C_v$ y $C_p$ para gases ideales

En una transformación a volumen constante:

$$dU = dQ = nc_v dT$$

En una transformación a presión constante:

$$dU = dQ - dW = nc_p dT - PdV$$

La variación de energía interna no depende del tipo de transformación. La energía interna es propiedad del sistema (y no del proceso seguido), por lo tanto



la variación de energía interna solo depende del estado inicial y final. Entonces, se pueden igualar las dos ecuaciones anteriores:

$$nc_v dT = nc_p dT - PdV$$

En un gas ideal, por la ecuación de estado, sabemos que a presión constante

$$PV = nRT \implies PdV = nRdT$$

sustituimos en la expresión previa:

$$nc_v dT = nc_p dT - nRdT \implies nc_v = nc_p - nR$$

Es decir, en los gases ideales se cumple que:

$$nc_v = nc_p - nR \implies C_v = C_p - nR$$

Además, en gases monoatómicos y diatómicos se pueden calcular los valores teóricos de las constantes.

- Gases monoatómicos:  $C_v = \frac{3}{2}nR$ ,  $C_p = \frac{5}{2}nR$ .
- Gases diatómicos:  $C_v = \frac{5}{2}nR$ ,  $C_p = \frac{7}{2}nR$ .

Por otra parte se define el coeficiente adiabático  $\gamma = \frac{C_p}{C_v}$ .

### 6.7.3 Procesos Isotermos

En los procesos isotermos, la temperatura es constante. Que la temperatura sea constante no implica la ausencia de transferencia de calor.

Si el gas es ideal, entonces  $PV = \text{constante}$ , por la ecuación de los gases ideales.

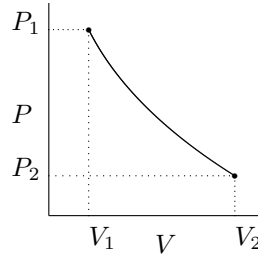


Figure 6.4: Diagrama P-V: Ejemplo de proceso isotermo

La energía interna de los gases ideales depende solo de su temperatura. Por tanto, al no haber variación térmica  $\implies \Delta U = 0$ . Por tanto,

$$Q = W$$

Como bien es sabido,  $PV = k$  (cte), es decir,

$$\left. \begin{array}{l} PV = nRT \implies P = \frac{nRT}{V} \\ W = \int_{V_1}^{V_2} PdV \end{array} \right\} \implies W = \int_{V_1}^{V_2} \frac{nRT}{V} dV = nRT \int_{V_1}^{V_2} \frac{dV}{V} = nRT [\ln V]_{V_1}^{V_2}$$

$$W = nRT(\ln V_2 - \ln V_1) = nRT \ln \frac{V_2}{V_1}$$

### 6.7.4 Procesos Adiabáticos

En los procesos adiabáticos no existe transferencia de calor. Por tanto toda variación de energía interna será consecuencia de la realización de un trabajo.

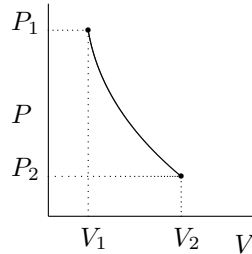


Figure 6.5: Diagrama P-V: Ejemplo de proceso adiabático

Análogamente al caso anterior: la no transferencia de calor no implica conservación de la temperatura.

Sabemos que  $dQ = 0$  y que  $Q = 0$ .

$$dU = -pdV$$

Si el proceso adiabático lo experimenta un gas ideal, como vimos anteriormente, siempre podemos escribir la variación de energía interna en función de  $c_v$ . Por otra parte, de la ecuación de los gases ideales, podemos despejar la presión  $P$ .

$$\left. \begin{array}{l} dU = -PdV \\ dU = nc_v dT \\ PV = nRT \Rightarrow P = \frac{nRT}{V} \end{array} \right\} \Rightarrow nc_v dT = -nRT \frac{dV}{V} \Rightarrow \frac{dT}{T} = -\frac{R}{c_v} \frac{dV}{V}$$

Esta expresión se puede integrar. El resultado nos da sendos logaritmos a cada lado del igual:

$$\ln T = -\frac{R}{c_v} \ln V + cte \Rightarrow$$

$$\ln T + \ln V^{\frac{R}{c_v}} = cte \Rightarrow$$

$$TV^{\frac{R}{c_v}} = cte$$

Además, por la ecuación de los gases,  $T = \frac{PV}{nR}$ , y sustituyendo en la ecuación anterior:

$$PV^{\frac{R}{c_v} + 1} = cte$$

Como se vio anteriormente,  $c_p = c_v + R \rightarrow$

$$\frac{R}{c_v} + 1 = \frac{c_p - c_v}{c_v} + 1 = \frac{c_p}{c_v} = \gamma$$

donde  $\gamma$  es el coeficiente adiabático. Por tanto, podemos escribir que en los procesos adiabáticos con gases ideales se cumple que:

$$PV^\gamma = cte \quad (\text{y, además}) \quad TV^{\gamma-1} = cte$$

La primera de estas expresiones nos servirá para calcular el trabajo realizado por un gas ideal en procesos adiabáticos. Si el volumen que ocupa inicialmente el sistema es  $V_1$  y al final  $V_2$ :

$$W = \int_{V_1}^{V_2} P dV = \int_{V_1}^{V_2} \frac{cte}{V^\gamma} dV = \frac{cte}{-\gamma + 1} (V_2^{-\gamma+1} - V_1^{-\gamma+1})$$

Llegados a este punto, recordemos que, si la presión y temperatura iniciales son  $P_1$  y  $T_1$  respectivamente, y las finales son  $P_2$  y  $T_2$ , entonces:

$$\begin{aligned} P_1 V_1^\gamma &= P_2 V_2^\gamma = cte \\ P_1 V_1^\gamma \cdot V_1^{-\gamma+1} &= cte \cdot V_1^{-\gamma+1} \\ P_1 V_1 &= cte \cdot V_1^{-\gamma+1} \\ P_1 V_1 &= nRT_1 \implies nRT_1 = cte \cdot V_1^{-\gamma+1} \end{aligned}$$

Y análogamente con  $P_2 V_2$ . Entonces el trabajo queda:

$$W = \frac{cte}{-\gamma + 1} (V_2^{-\gamma+1} - V_1^{-\gamma+1}) = \frac{1}{-\gamma + 1} (P_2 V_2 - P_1 V_1) = \frac{nR}{-\gamma + 1} (T_2 - T_1)$$

Finalmente, por la definición de  $\gamma$  y la relación entre las capacidades caloríficas específicas, obtenemos:

$$W = -nc_v(T_2 - T_1)$$

## 6.8 Máquinas Térmicas y Segundo Principio de la Termodinámica

En termodinámica se pueden dar dos tipos de procesos si nos atenemos a su reversibilidad: Los procesos irreversibles y los reversibles. Los primeros son procesos en los que, una vez alcanzado el estado final, nunca se podrá regresar (de manera natural) al estado inicial. Por contra, en los reversibles, el estado inicial se puede alcanzar nuevamente. En los procesos irreversibles se observa que *ha aumentado el desorden*. La magnitud termodinámica que sirve de medida cuantitativa del desorden de un sistema es la *entropía* ( $S$ ), de la que nos ocuparemos más adelante.

### 6.8.1 Procesos espontáneos

Hasta ahora no nos hemos ocupado de si un posible proceso termodinámico es espontáneo (es decir, se produce de manera natural) o no. Nuestra experiencia nos sirve muchas veces para considerar si un proceso se puede dar o no de manera espontánea. Por ejemplo sabemos que una rueda girando, puede dejar de hacerlo por efecto del rozamiento tras un tiempo, aumentando así su temperatura (energía cinética  $\rightarrow$  Calor), pero el proceso opuesto no sucederá: Nunca se enfriará para producir energía cinética, empezando a girar espontáneamente desde el reposo. El proceso anterior era irreversible.

Análogamente sucede con la expansión libre de un gas (ver experimento de Joule). Si un gas está encerrado en una cápsula, comunicada con una válvula cerrada con otro compartimento vacío, y la válvula se abre para permitir el paso

del gas, entonces éste se expandirá hasta ocupar todo el volumen disponible, y lo hará de forma espontánea. Además es un proceso irreversible: El proceso opuesto nunca sucederá de manera espontánea.

A la hora de construir máquinas térmicas, que es lo que a un ingeniero le interesa de la termodinámica, han de tenerse en cuenta dos cosas:

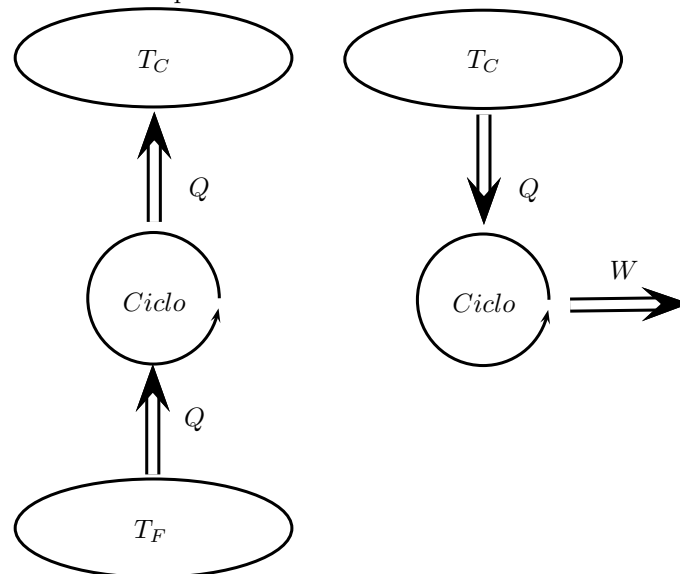
- De forma espontánea nunca puede existir un proceso que consista solo en flujo de calor desde un foco frío a uno caliente.
- Tampoco sucederá un proceso que consista solo en conversión de calor en trabajo.

### 6.8.2 Máquinas Térmicas

Una máquina térmica es un dispositivo que funciona cíclicamente, con el propósito de convertir la máxima cantidad posible de calor en trabajo. En el desarrollo y estudio de máquinas térmicas se observó que no todos los procesos compatibles con el Primer Principio de la termodinámica son realizables, lo cual dio origen al Segundo Principio, que en definitiva es lo que limita el rendimiento de una máquina.

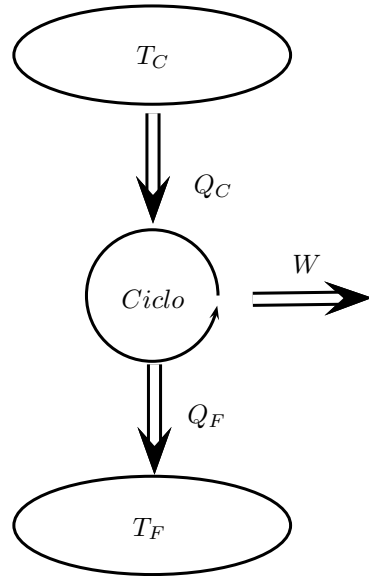
El Segundo Principio de la Termodinámica, tal y como lo enunció Lord Kelvin: *Es imposible que una máquina térmica funcione cíclicamente sin producir otro efecto que extraer calor de un solo foco realizando una cantidad de trabajo equivalente.*

A continuación se muestran dos esquemas de máquinas térmicas cuyo funcionamiento es imposible.



Como consecuencia del enunciado de Kelvin, sabemos que un ciclo sí que puede absorber calor de un foco (caliente) para realizar un trabajo. Pero no toda la energía absorbida se convertirá en trabajo. Las máquinas térmicas

ceden parte del calor absorbido a un foco a baja temperatura, y el resto es lo que se convierte en trabajo. Esquemáticamente sería así:



### 6.8.3 Rendimiento en máquinas térmicas

El rendimiento  $\varepsilon$  de una máquina térmica a la que aportamos energía en forma de calor  $Q_C$ , procedente de un foco caliente, para, cediendo calor  $Q_F$  a un foco frío, obtener un trabajo  $W_{\text{neto}}$  aprovechable, se define:

$$\varepsilon = \frac{W_{\text{neto}}}{Q_C}$$

Es decir, la energía que obtenemos dividida por la que invertimos.

En una máquina térmica que está funcionando cíclicamente, tras completar un ciclo se regresa a la situación inicial (de  $P$ ,  $V$ ,  $T$ , y también de energía interna  $U$ ), con lo que  $\Delta U_{\text{ciclo}} = 0$ . Por el primer principio:

$$\Delta U = 0 = Q - W \implies Q = W$$

Observar que el balance de calor es el recibido (positivo) mas el cedido por el sistema (negativo):

$$W = Q = Q_C + Q_F = |Q_C| - |Q_F|$$

Entonces, el rendimiento queda:

$$\varepsilon = \frac{W}{Q_C} = 1 - \frac{|Q_F|}{|Q_C|}$$

### 6.8.4 El ciclo de Carnot

El de Carnot es un ciclo reversible que realiza un gas ideal. Para regresar al estado inicial el gas atraviesa dos procesos isotermos y dos adiabáticos. El proceso se puede representar en un diagrama p-V como el de la figura.

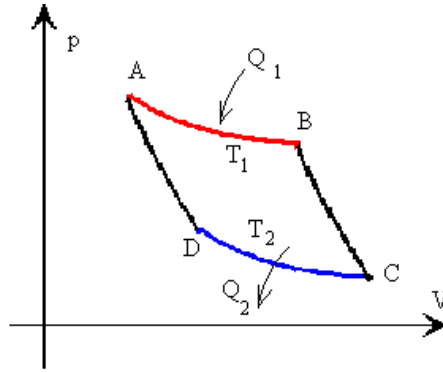


Figure 6.6: Esquema del ciclo de Carnot

El objetivo del ciclo de Carnot es la realización de trabajo hacia el exterior, mediante el aporte de energía a un ciclo. Parte de la energía que se aporta al ciclo en forma de calor absorbido procedente de un foco caliente, se transforma en trabajo que es aprovechable, mientras que el resto se convierte en calor que se cede a otro foco, éste de baja temperatura.

**Teorema de Carnot:** Ninguna máquina térmica que funcione cíclicamente entre dos focos térmicos puede tener un rendimiento mayor que la máquina de Carnot. La máquina de Carnot sigue un ciclo, llamado ciclo de Carnot, que consta de procesos de expansión y posterior compresión siguiendo los siguientes pasos:

1. Expansión isoterma y absorción de calor de un foco caliente.
2. Expansión adiabática hasta alcanzar una temperatura inferior.
3. Compresión isoterma y cesión de calor a un foco frío.
4. Compresión adiabática para recuperar el estado inicial.

Ahora que ya conocemos cómo es el trabajo realizado (o recibido) y el calor absorbido (o cedido) por un gas ideal en procesos isotermos y adiabáticos, podemos estudiar uno a uno todos los pasos que se llevan a cabo en un ciclo de Carnot. Denominamos  $T_C$  a la temperatura del foco caliente y  $T_F$  a la del foco frío.

**Paso 1:** Recordemos que en procesos isotermos, a temperatura  $T_C$ , y pasando de un volumen inicial  $V_A$  a uno final  $V_B$ :

$$Q_1 = W_1 = nRT_C \ln \frac{V_B}{V_A}$$

Por tanto, en primero proceso (entre los puntos A y B del diagrama p-V), el sistema absorbe calor ( $Q > 0$ ) procedente del foco caliente y realiza trabajo ( $W = Q$ ,  $W > 0$ ) porque es una expansión, el volumen aumenta durante el proceso ( $V_B > V_A$ ).

**Paso 2:** El siguiente paso es la expansión adiabática, con un enfriamiento al pasar de  $T_C$  a  $T_F < T_C$ . En procesos adiabáticos,  $Q = 0$ , mientras que el trabajo es:

$$W_2 = -nc_v(T_F - T_C)$$

El trabajo es positivo, realizado por el sistema. Una expresión que después nos será útil, a la hora de calcular el rendimiento del ciclo, es la siguiente: En procesos adiabáticos,  $TV^{\gamma-1} = cte$ . Entonces, durante este proceso adiabático, en el que se pasa de  $T_C$  a  $T_F$  en cuanto a temperaturas, y de  $V_B$  a  $V_D$  en volúmenes, se tiene que:

$$T_C V_B^{\gamma-1} = T_F V_C^{\gamma-1}$$

**Paso 3:** El ciclo continua con una compresión isoterma, proceso que tiene lugar a baja temperatura  $T_F$ , pasando de un volumen inicial  $V_C$  a uno final  $V_D$ . Entonces, el trabajo y el calor son negativos:

$$Q_3 = W_3 = nRT_F \ln \frac{V_D}{V_C}$$

porque  $V_C > V_D$  y por tanto el logaritmo del cociente es menor que cero.

El calor es negativo, el sistema está caliente y cede calor a un foco frío. El trabajo es negativo, el sistema recibe trabajo.

**Paso 4:** Para terminar el ciclo se realiza una compresión adiabática con calentamiento, pasando de una temperatura  $T_F$  a  $T_C > T_F$ . Terminado este proceso el ciclo queda completado, regresa al punto A del diagrama p-V. Al ser un proceso adiabático, no hay transferencia de calor. El trabajo es:

$$W_4 = -nc_v(T_C - T_F)$$

Es una cantidad negativa, con lo que desde el entorno se está realizando un trabajo sobre el sistema. De manera análoga a la anterior adiabática, tenemos la relación entre volúmenes y temperaturas:

$$T_C V_A^{\gamma-1} = T_F V_D^{\gamma-1}$$

**Rendimiento del Ciclo de Carnot** El rendimiento del ciclo es el trabajo total dividido por el calor que el sistema ha absorbido. El trabajo total es:

$$W_T = W_1 + W_2 + W_3 + W_4$$

Obsérvese que el trabajo en las dos fases adiabáticas es igual pero de signo opuesto, con lo que  $W_2 + W_4 = 0 \implies W_T = W_1 + W_3$ .

Por otra parte el calor que el sistema absorbe es  $Q_1$ , que ya calculamos en el paso primero.

Pero además hemos visto que se puede calcular el rendimiento utilizando otra expresión:

$$\varepsilon = 1 - \frac{|Q_F|}{|Q_C|}$$

es decir, la unidad menos el cociente entre los valores absolutos del calor cedido al foco frío y el calor absorbido del foco caliente. En nuestro ciclo, el calor cedido al foco frío es  $Q_F = Q_3$ , mientras que el absorbido es  $Q_C = Q_1$ .

$$\left. \begin{aligned} |Q_F| = |Q_3| &= nRT_F \left| \ln \frac{V_D}{V_C} \right| = nRT_F \ln \frac{V_C}{V_D} \\ |Q_C| = Q_1 &= nRT_C \ln \frac{V_B}{V_A} \end{aligned} \right\} \Rightarrow$$

$$\varepsilon = 1 - \frac{T_F \ln \frac{V_C}{V_D}}{T_C \ln \frac{V_B}{V_A}}$$

Ahora bien, como se vió en el estudio de procesos adiabáticos para gases ideales,  $TV^{\gamma-1}$ , con lo que se dedujeron dos expresiones para los procesos 2 y 4:

$$\left. \begin{aligned} T_C V_B^{\gamma-1} &= T_F V_C^{\gamma-1} \\ T_C V_A^{\gamma-1} &= T_F V_D^{\gamma-1} \end{aligned} \right\} \Rightarrow \left( \frac{V_B}{V_A} \right)^{\gamma-1} = \left( \frac{V_C}{V_D} \right)^{\gamma-1} \Rightarrow \frac{V_B}{V_A} = \frac{V_C}{V_D}$$

Es decir, el rendimiento del ciclo de Carnot es:

$$\varepsilon = 1 - \frac{T_F}{T_C} \quad T \text{ en K}$$

Con lo cual, a mayor relación de temperaturas de los focos  $T_C/T_F$ , mayor será el rendimiento teórico de un ciclo de Carnot, pero siempre sin llegar al límite ideal de la unidad (el rendimiento nunca podrá ser uno, siempre es menor:  $\varepsilon < 1$ ).

## 6.9 Ejercicios

1. Un bloque de hielo de 1,5 Kg se encuentra a  $T = -20^\circ \text{C}$ . Encontrar la cantidad de calor que ha de serle suministrada para que se convierta por completo en vapor de agua.

Datos:

- Capacidad calorífica específica del hielo:  $c_h = 2,05 \text{ KJ}/(\text{Kg}\cdot\text{K})$
- Calor latente de fusión del hielo:  $L_f = 333,5 \text{ KJ} / \text{Kg}$
- Capacidad calorífica del agua:  $c_a = 4,18 \text{ KJ}/(\text{Kg}\cdot\text{K})$
- Calor latente de vaporización del agua:  $L_v = 2257 \text{ KJ/Kg}$

2. En un calorímetro de aluminio de 200 g se introducen 500 g de agua a  $20^\circ\text{C}$ . A continuación se introducen 100 g de hielo a  $-20^\circ\text{C}$ . Suponiendo que el sistema no tiene pérdidas, determinar la temperatura final del sistema una vez alcanzado el equilibrio térmico.

Datos:



- Capacidad calorífica del aluminio:  $c_{Al} = 0,214 \text{ cal}/(\text{g } ^\circ\text{C})$
  - Capacidad calorífica del agua:  $c_a = 1 \text{ cal}/(\text{g } ^\circ\text{C})$
  - Calor latente de fusión del hielo:  $L_f = 80 \text{ cal/g}$
  - Capacidad calorífica específica del hielo:  $c_h = 2,05 \text{ KJ}/(\text{Kg}\cdot\text{K})$
3. Un gas ideal experimenta un calentamiento isobaro, pasando de  $18^\circ\text{C}$  a  $58^\circ\text{C}$ . Si el volumen inicial era de 1 litro, ¿cuál es el volumen final?
  4. Un recipiente cerrado contiene un gas ideal. Inicialmente se encuentra a una temperatura de  $20^\circ\text{C}$  y a una presión de 4 atm. Si se calienta hasta los  $140^\circ\text{C}$ , ¿cuál es la temperatura final?
  5. Dos recipientes rígidos están conectados mediante una válvula cerrada. El primero contiene 10 litros de oxígeno que ejercen una presión de 3 atmósferas. El segundo encierra 6 moles de nitrógeno, con una presión de 10 atmósferas. Se abre la válvula que comunica ambos depósitos, con lo que ambos gases se mezclan espontáneamente. Si la temperatura se mantiene constante durante todo el proceso, a  $273 \text{ K}$ , ¿cuál será la presión final de la mezcla? ¿Cuáles serán las presiones parciales de oxígeno y nitrógeno?
  6. El motor de Stirling puede extraer energía de un foco a alta temperatura para, cediendo calor a un foco frío, realizar un trabajo. Funciona según un ciclo termodinámico que consta de las siguientes fases:
    - 1.- Compresión isoterma, desde volumen  $V_A$  hasta volumen  $V_B$ , en contacto con un foco frío a temperatura  $T_F$ .
    - 2.- Calentamiento isocoro, hasta temperatura  $T_C$ .
    - 3.- Expansión isoterma, hasta volumen  $V_A$ , en contacto con el foco caliente a temperatura  $T_C$ .
    - 4.- Enfriamiento isocoro, bajando la temperatura hasta  $T_F$ .
 Estudiar su rendimiento.

## 6.10 Cuestiones

1. Explicar por qué en procesos con gases ideales donde el volumen no permanece constante se puede escribir la siguiente expresión para la variación de la energía interna:

$$\Delta U = n \cdot c_v(T_f - T_i)$$

donde  $n$  es el número de moles,  $c_v$  es la capacidad calorífica específica a volumen constante, y  $T_i$  y  $T_f$  son las temperaturas inicial y final del proceso, respectivamente.

2. Explicar el experimento de Joule y sus implicaciones.
3. Explicar la relación entre las capacidades caloríficas a presión constante ( $c_p$ ) y a volumen constante ( $c_v$ ) para un gas ideal.

4. Una máquina térmica opera cíclicamente entre dos focos térmicos, a temperaturas  $T_C = 500\text{K}$  para el foco caliente y  $T_F = 300\text{K}$  en el caso del foco frío. Según el fabricante, la máquina suministra 500 KJ de trabajo por cada 1000 KJ de energía en forma de calor absorbida. Discutir la afirmación del fabricante.
5. Explicar:
  - Trabajo de un gas en un proceso termodinámico.
  - Concepto de calor. Transformaciones en las que hay transferencia de calor.
  - Energía interna. Primer principio de la termodinámica.
  - Limitación del primer principio de la termodinámica a la hora de diseñar motores térmicos.